

М-168а

АЗЭРБАЙЧАН ССР ЕЛМЛЭР АКАДЕМИЈАСЫ
АКАДЕМИЯ НАУК АЗЕРБАЙДЖАНСКОЙ ССР

МЭРҮҮЗЭЛЭР
ДОКЛАДЫ

ТОМ XIX ЧИЛД

3

АЗЭРБАЙЧАН ССР ЕЛМЛЭР АКАДЕМИЈАСЫ ИШРИЯЛТАЫ
ИЗДАТЕЛЬСТВО АКАДЕМИИ НАУК АЗЕРБАЙДЖАНСКОЙ ССР

Баку — 1963 — Баку

АЗЭРБАЙЧАН ССР ЕЛМЛЭР АКАДЕМИЈАСЫ
АКАДЕМИЯ НАУК АЗЕРБАЙДЖАНСКОЙ ССР

МЭ'РУЗЭЛЭР ДОКЛАДЫ

ТОМ XIX ЧИЛД

№ 3

АЗЭРБАЙЧАН ССР ЕЛМЛЭР АКАДЕМИЈАСЫ НЭШРИЈАТЫ
ИЗДАТЕЛЬСТВО АКАДЕМИИ НАУК АЗЕРБАЙДЖАНСКОЙ ССР
БАКЫ—1963—БАКУ

МАТЕМАТИКА

Г. А. АЛИЕВ

**МОДЕЛИРОВАНИЕ ОДНОЙ СИСТЕМЫ МАССОВОГО
ОБСЛУЖИВАНИЯ**

(Представлено академиком АН Азгрбайджанской ССР З. И. Халиловым)

Рассмотрим следующую систему массового обслуживания. Имеется n -параллельно расположенных приборов и перед каждым из них бункер неограниченной емкости, откуда по мере необходимости в приборе поступают требования типа А (т. т. А). В результате обслуживания одного т. т. А получается случайное число требований типа В (т. т. В) с известной функцией распределения $F(k)$, которые затем попадают в один общий бункер ограниченной емкости и оттуда в определенном порядке обслуживаются m -последовательно расположенными приборами.

Каждый из n приборов характеризуется еще следующими параметрами: вероятностью поломки прибора и временем починки, числом т. т. А, после обслуживания которых необходима смена инструмента, и временем смены инструмента. Время обслуживания каждым из n -приборов т. т. А равняется $a+r$, где a — некоторая константа, а r —случайная величина с известной функцией распределения $F(r)$. Время транспортировки т. т. В от n -приборов до первого из m -приборов фиксировано и различно. У каждого из m -приборов имеется бункер определенной емкости. Т. т. В, обслуженное на i -приоре, транспортируется до $i+1$ -прибора и в случае возникновения очереди поступает в бункер, где ожидает очереди обслуживания. Каждый прибор может одновременно обслуживать только одно требование, причем т. т. обслуживаются только n -приборами, а т. т. В только m -приборами. Если в бункере имеются требования, то промежуток времени между окончанием обслуживания k -требования и началом обслуживания этим же прибором $k+1$ -требования равен нулю. Если бункер у некоторого прибора оказывается переполненным, то предыдущий прибор останавливается и возобновляет свою работу, когда из этого бункера обслужится одно требование. Аналогично, если переполненным оказался бункер у первого из m -приборов, то все n -приборов прекращают работу до тех пор, пока в этом бункере не освободится место, хотя бы для одного требования.

После обслуживания на всех m -приборах т. т. В попадают на прибор-контрольник, который проверяет качество обслуживания. На этом процесс обслуживания заканчивается и требования, обслуженные без брака, попадают на склад обслуженных требований.

нч1568
Центральная научная
БИБЛИОТЕКА
Академии наук Киргизской ССР

РЕДАКЦИОННАЯ КОЛЛЕГИЯ: З. И. Халилов (главный редактор), Ш. А. Азизбеков, В. Р. Волобуев, Д. М. Гусейнов, И. А. Гусейнов, М. А. Дадашзаде, (зам. главного редактора), М. А. Далин, М. Ф. Нагиев (зам. главного редактора), С. М. Кулиев, Ч. М. Джуварлы, М. А. Топчибашев, Г. Г. Зейналов (ответственный секретарь).

Адрес: Баку, Коммунистическая, 10. Редакция «Докладов Академии наук Азербайджанской ССР».

Для описанной системы массового обслуживания можно построить математическую модель и методом статистических испытаний сделать [2] расчет ее параметров, например, производительность всей системы, емкость бункеров и др. [1, 4, 5].

Предлагается следующий путь построения математической модели такой системы обслуживания. Каждый из m -приборов можно характеризовать некоторым вектором $\alpha = (\alpha_1, \alpha_2, \dots, \alpha_3)$ особенностей (S — для каждого прибора свое), где например, α_1 — прибор может выйти из строя, α_2 — после обслуживания определенного числа т. т. В необходиима смена инструмента, α_3 — требование обслуживается с браком и т. д. В каждом из перечисленных случаев требуется соответственно случайное время на починку, на смену инструмента, на наладку и т. д. Мы будем считать известными функции распределения этих случайных величин.

Заметим, что α_1 равно 1 или 0 в зависимости от того, обладает прибор i -особенностью или нет. Действительно, не на всех приборах происходит проверка требования на брак или смену инструмента. Однако, можно считать, что брак возможен и происходит смена инструмента, приняв при этом, что вероятность появления брака равна нулю, а смена инструмента происходит после обслуживания довольно большого числа требований. Это обстоятельство позволяет при моделировании системы составлять операторную схему не для каждого прибора в отдельности, а для одного „обобщенного“, т. е. такого, в работе которого имеют место особенности всех m -приборов системы. Тогда составленная операторная схема может служить для любого прибора, работа которого характеризуется либо всеми особенностями „обобщенного“, либо только некоторыми из них.

Таким образом, математическая модель рассмотренной системы будет складываться из операторной схемы работы n -приборов и операторной схемы работы „обобщенного“ прибора.

Приведем операторную схему для описанной выше системы обслуживания. Для простоты операторной схемы положим $n=2$.

$$\begin{array}{c}
\begin{array}{ccccccc}
& & 6 & & 37 & & 1 & & 0 \\
& \downarrow & & & \downarrow & & \uparrow & & \uparrow \\
A_1(r, K^*) A_2(r, \tau) A_3(N^* + 1) F_4(v) A_5(K^* - 1) P_6(K^* > 0) P_7(r \leq q_1) \\
& & 7 & & 12 & & 10 & & \\
& \downarrow & \uparrow & & & & \downarrow & & \\
A_8(r, t_1) A_9(k+1) P_{10}(k \geq k^0) A_{11}(r, \tau_2, 0 \rightarrow k) A_{12}(T_v^n) F_{13}(v) F_{14}(1); O_{15}(v) \\
& & 18 & & 16 & & 34 & & \\
& \uparrow & & \downarrow & \uparrow & & & & \\
P_{16}(T_0^n \geq T_v^n, \sigma=0) A_{17}(\sigma+1) P_{18}(T_v^n \geq T^r) P_{19}(m=0) A_{20}(\Sigma(T_v^n - T^r), T^n \rightarrow T^r) \\
& & 19 & & 24 & & 22 & & 27 \\
& \downarrow & \uparrow & & \downarrow & & \uparrow & & \\
A_{21}(m+1, z=1) P_{22}(r \leq q_2) A_{23}(r, \tau_1') A_{24}(k'+1) P_{25}(k' + k^{10}) A_{26}(r, \tau_2', 0 \rightarrow k') \\
& & 25 & & 30 & & 28 & & \\
& \downarrow & & \uparrow & & & & & \\
A_{27}(t_2) P_{28}(r \leq q_3) A_{29}(r, \tau_3) A_{30}(T^r) A_{31}(m+1, <m>+1) A_{32}(M+1) \\
& & 18 & & 37 & & 37 & & 34 35 4 \\
& \downarrow & \uparrow & & \downarrow & & \uparrow & & \downarrow \uparrow \\
E_{33}(18); P_{34}(z=0, 0 \rightarrow x) P_{35}(m \leq m^0) A_{36}(m+1) P_{37}(\sigma=0) E_{38}(5).
\end{array}
\end{array}$$

Описание операторной схемы. По случайному числу r из $F(K^*)=v$ определяется случайное число т. т. В, полученное от одной реализации т. т. А (оператора A_1). Время обслуживания т. т. А находится из $F(\tau)=v$ (оператор A_2). Определяется общее число N^* т. т. В, поступивших в систему (оператор A_3). Назначение оператора $F_4(v)$,

($v=0,1$) мы разъясним ниже. С оператора A_5 начинается обслуживание т. т. В на приборе, поэтому из K^* вычитывается единица и оператор P_6 проверяет все ли т. т. В обслужены после одной реализации т. т. А. Если условие, проверяемое оператором P_6 , оказывается выполненным, то мы идем дальше на обслуживание, а в противном случае (когда $K^* \leq 0$) идем за очередным т. т. А к оператору A_1 .

Если условие $r \leq q_1$ (q_1 — заданная вероятность поломки прибора), выполнено, то произошла поломка прибора и по случайному числу r определяется время t_1 починки прибора (операторы P_7 и A_8). Далее, как и в случае отсутствия поломки (когда $r > q_1$), подсчитывается число k т. т. В, обслуженных после смены инструмента и если это число достигло предельного — k^0 , то по случайному числу r определяется время t_2 смены инструмента, и счетчик числа т. т. В, обслуженных после смены инструмента очищается (операторы A_9, A_{10}, A_{11}). Далее, как и в случае отсутствия смены инструмента (когда $k < k^0$) оператором A_{12} определяется время T_v^n подхода т. т. В к первому из m -приборов, которое складывается из времени T^r окончания обслуживания ее на предыдущем приборе и времени t_1 — транспортировки к этому прибору.

С помощью оператора $F_{13}(v)$ мы подготавливаем операторную схему к моделированию процесса обслуживания на следующем n -приборе. Вновь обращаемся к оператору A_1 и, повторяя в точности все то, что говорилось для предыдущего обслуживания, мы снова подойдем к оператору A_{12} , где теперь получим время T_1^n подхода к первому из m -приборов от второго прибора. Заметим, что операторы $F_{13}(v)$ и $F_{14}(1)$ работают только два раза и после того как будет получено T_1^n , мы минуя $F_{13}(v)$ и $F_{14}(1)$, сразу переходим к O_{15} — оператору восстановления по параметру v . После того как получены T_0^n и T_1^n и найдено среди них минимальное (оператор P_{16}) мы переходим к оператору P_{18} , где проверяется готовность „обобщенного“ прибора начать обслуживание поступившего т. т. В. Заметим, если минимальным оказалось T_0^n , то этот факт фиксируется в операторе P_{16} признаком $\sigma=0$, если же минимальным было T_1^n , то это фиксируется признаком $\sigma=1$ (оператор A_{17}). Время T^r готовности прибора в самом начале процесса равно нулю, вообще складывается из времени готовности прибора обслужить предыдущее требование, времени починки прибора в случае его поломки, времени смены инструмента в случае необходимости и времени наладки прибора в случае обнаружения брака. Если условие $T_v^n > T^r$ выполняется, то это означает, что прибор готов обслужить требование и мы переходим к оператору P_{18} , где проверяется состояние бункера в момент T^r . Если бункер оказался пустым (тогда $m=0$), то оператор A_{20} подсчитывает время простоя прибора — $\Sigma(T_v^n - T^r)$ и время T_v^n посыпается на место времени T^r . Оператором A_{21} текущая емкость бункера увеличивается на единицу и тут же вырабатывается признак $x=1$. Далее операторами $P_{22}-E_{33}$, поступившее требование обслуживается (об этом см. ниже).

Предположим теперь, что условие, проверяемое оператором P_{18} не выполнено для T_v^n , тогда мы переходим к оператору P_{34} , где проверяется условие $x=0$. Если $x=0$, то переходим к следующему оператору, в котором текущая емкость бункера сравнивается с предельной. Если условие $m \leq m^0$ выполнено, т. е. бункер полностью не заполнен, то оператор A_{36} прибавляет к текущей емкости бункера единицу. Если оказалось, что $x=1$, то управление передается опера-

тору P_{37} , где проверяется условие $\sigma=0$. Если это условие выполнено, то с помощью E_{38} мы идем за новым требованием к оператору A_5 , а в противном случае к оператору $F_4(v)$. Теперь назначение оператора $F_4(v)$ становится понятным, он как и оператор $F_{13}(v)$ настраивает логическую схему к моделированию процесса обслуживания на втором приборе.

Работа операторов $P_{22}, A_{23}, A_{24}, P_{25}, A_{26}$ аналогична работе операторов $P_7, A_8, A_9, P_{10}, A_{11}$, поэтому на них останавливаться не будем. Оператором A_{27} определяется время t_2 обслуживания требования. Если условие $r \leq q_3$ (q_3 —заданная вероятность брака) выполнено, то требование обслуживалось с браком и по случайному числу r определяется время τ_3 наладки прибора (операторы P_{28}, A_{29}). Далее, как и в случае отсутствия брака определяется время T^r готовности прибора обслужить следующее требование (оператор A_{30}).

Так как требование обслужено, то от текущей емкости бункера вычитывается единица (оператор A_{31}), здесь же фиксируется сколько раз в бункере было бы то или иное количество требований [1]. Наконец, оператор A_{32} подсчитывает общее число M обслуженных требований. На этом описание операторной схемы заканчивается.

Следует заметить, что рассмотренная нами система, одна из типичных и является обобщением многих конкретных схем, встречающихся в машиностроении. Указанный в статье путь решения пригоден и для случая, когда имеет смысл обслуживать не одно в отдельности требование, а целую группу требований. Это принципиально не изменит структуры операторной схемы, реализация которой на ЭВМ в каждом конкретном случае не представляет большого труда.

В заключение автор приносит глубокую благодарность руководителю семинара по производственной кибернетике в МГУ чл.-корр. АН СССР, проф. Л. А. Люстернику, давшему ряд полезных советов при написании этой статьи.

ЛИТЕРАТУРА

1. Алиев Г. А., Клинов Г. П. Методика построения математической модели задачи теории массового обслуживания. Труды ВЦ АН Азерб. ССР, т. 2, 1962.
2. Бусленко Н. П., Шрейдер Ю. А. Метод статистических испытаний. Физматиздат. 1961.
3. Гиеденко Б. В. Лекции по теории массового обслуживания. Изд. КВИРТУ, Киев. 1960.
4. Клинов Г. П. Моделирование на ЭЦМ некоторого класса систем массового обслуживания. Журнал вычислительной математики и математической физики", 1961, т. 1, № 5.
5. Клинов Г. П., Алиев Г. А. Решение на вычислительных машинах одной задачи теории массового обслуживания методом Монте-Карло. Журнал вычислительной математики и математической физики", 1961, т. 1, № 5.
6. Хинчин А. Я. Математические методы теории массового обслуживания. Труды Математического ин-та им. В. И. Стеклова, т. XII, IX, 1956.

Вычислительный центр

Поступило 20 VII. 1962

Г. А. Алиев

Бир күтләви хидмәт системинин моделләшdirilmäsi

ХÜLASÄ

Мәгәләдә тәчрүбәдә ишләдилән бир чохфазалы хидмәт системи тәдгиг олунур. Бахылан просесин ријази моделинин гурулмасы үсүлүк көстәрилир вә ону реализа едән алгорифм әсасында оператор схеми гурулур.

Т. А. ХАЛИЛОВ

РАСЧЕТ НА УСТОЙЧИВОСТЬ ОДНОЙ СЛЕДЯЩЕЙ ГИРОСКОПИЧЕСКОЙ СИСТЕМЫ С ПЕРЕМЕННЫМИ ПАРАМЕТРАМИ

(Представлено академиком АН Азербайджанской ССР Ч. М. Джусварлы)

Постановка задачи

Дано характеристическое уравнение замкнутой цепи исследуемой следящей системы:

$$[p^6 + fp^4 + (1 + \alpha^2)p^3 + f\beta^2p^2 + \alpha^2p + \alpha^2\mu\Phi(p)]\psi = 0 \quad (1)$$

Это уравнение получено из исходной системы уравнений:

$$\begin{aligned} B \frac{d^2\theta}{dt^2} - H \frac{d\phi}{dt} &= 0 \\ \Psi \frac{d^2\psi}{dt^2} + H \frac{d\beta}{dt} &= N(\theta - \psi) \\ \Theta \frac{d^2\theta}{dt^2} &= N(\psi - \theta) - F \frac{d\theta}{dt} - K\Phi(p)\beta, \end{aligned} \quad (2)$$

где величины B, Ψ и Θ —соответственно моменты инерции колеблющихся масс,

H —кинетический момент гироскопа,

N —момент на валу двигателя,

F —коэффициент, характеризующий электромеханическое трение, преодолеваемое качающимся ротором двигателя,

K —коэффициент пропорциональности,

$\Phi(p)$ —передаточная функция электронного регулятора,

β, θ, ψ —переменные величины.

Коэффициенты уравнения (1) выражаются через коэффициенты уравнений системы (2).

В случае, когда $\Phi(p)=1+p^2\tau^2$, имеем следующее уравнение:

$$p^6 + fp^4 + (1 + \alpha^2)p^3 + (\alpha^2\mu\tau^2 + f\beta^2)p^2 + \alpha^2p + \alpha^2\mu = 0 \quad (3)$$

Коэффициенты α , β и τ являются фиксированными величинами и равны соответственно:

$$\begin{aligned}\alpha &= 4, \\ \beta &= 3, \\ \tau &= 3\end{aligned}$$

Коэффициенты f и μ являются переменными.

Необходимо найти такие значения (f и μ)*, при которых рассматриваемая система была бы устойчивой.

Подставим в уравнение (3) числовые значения коэффициентов α , β и τ .

В результате получим следующее уравнение для анализа:

$$p^5 + fp^4 + 17p^3 + (144\mu + 9f)p^2 + 16p + 16\mu = 0 \quad (4)$$

Метод решения задачи

Достоинство метода затухания [1, 2], с помощью которого решалась данная задача, ограничено возможностью варьирования двумя переменными коэффициентами одновременно.

В связи с этим коэффициенту при p^2 , являющемуся суммой двух переменных, придавалось постоянное значение.

Затем согласно принципу, изложенному в статье „Метод затухания и его применение для синтеза систем автоматического регулирования“, строится область устойчивости в плоскости двух переменных параметров. Однако внутри данной области не все корни соответствуют устойчивой системе, так как имеется дополнительное условие, определяющее выбор переменных коэффициентов, а именно:

$$144\mu + 9f = \text{const}$$

Внутри построенной области устойчивости проводим линии, уравнение которых

$$\mu = \frac{c}{144} - \frac{9}{144}f \quad (5)$$

Таким образом, устойчивое решение обеспечивают лишь те значения f и μ , которые соответствуют расположению „управляющих“ комплексно-сопряженных корней на прямой (б), проведенной внутри области устойчивости.

Решение задачи

Допустим, что сумма переменных коэффициентов, входящих в выражение коэффициента при p^2 —величина постоянная.

В этом случае согласно заданным нижним пределам переменных коэффициентов имеем

$$a_2 = 144 \cdot 0,2 + 9 \cdot 0,1 = 29,7 \quad (6)$$

Увеличим значения f и μ в 10 раз, тогда получим

$$a_2 = 297.$$

В 1-ом случае максимальные значения переменных μ и f определяются из уравнения

$$144\mu + 9f = 29,7 \quad (7)$$

* В качестве нижних допустимых значений f и μ приняты величины $f=0,1$ и $\mu=0,2$.

откуда

$$\left. \begin{aligned}\mu &= 0,2 - 0,6f \\ f &= 3 - 10\mu\end{aligned}\right\} \quad (8)$$

Во II-ом случае из уравнения

$$144\mu + 9f = 297 \quad (9)$$

получаем

$$\left. \begin{aligned}\mu &= 2 - 0,06f \\ f &= 30 - 14\mu\end{aligned}\right\} \quad (10)$$

Отсюда ясно, что с увеличением коэффициента a_2 расширяется диапазон исследуемых значений переменных коэффициентов f и μ .

При решении данной задачи величине a_2 придавались два значения

$$1) a_2 = 297,$$

$$2) a_2 = 2970.$$

Представим переменные коэффициенты в виде функций от числовых значений остальных коэффициентов, относительного коэффициента демпфирования, которому в данной задаче придается значение $\xi = 0,01$, и текущего значения недемпфированной частоты ω_n :

$$\begin{aligned}a_0 &= a_5 \omega_n^5 \frac{(5\xi - 20\xi^3 + 16\xi^5)(4\xi - 8\xi^3) + (1 - 12\xi^2 + 16\xi^4)(1 - 8\xi^2 + 8\xi^4)}{4\xi - 8\xi^3} + \\ &+ a_3 \omega_n^3 \frac{(-1 + 4\xi^2)(1 - 8\xi^2 + 8\xi^4) - (3\xi - 4\xi^3)(4\xi - 8\xi^3)}{4\xi - 8\xi^3} + \\ &+ a_2 \omega_n^2 \frac{-2\xi(1 - 8\xi^2 + 8\xi^4)(2\xi^2 - 1)(4\xi - 8\xi^3)}{4\xi - 8\xi^3} + \\ &+ a_1 \omega_n \frac{1 - 8\xi^2 + 8\xi^4}{4\xi - 8\xi^3};\end{aligned} \quad (11)$$

$$a_4 = \frac{1}{\omega_n^4(4\xi - 8\xi^3)} (-a_5 - \omega_n^5(1 - 12\xi^2 + 16\xi^4) - a_3 \omega_n^3(-1 + 4\xi^2) - a_2 \omega_n^2(-2\xi) - a_1 \omega_n) \quad (12)$$

Придав ξ значение 0,01, получаем

$$\begin{aligned}a_0 &= 25a_5 \omega_n^5 - 25a_3 \omega_n^3 + 0,5a_2 \omega_n^2 - 25a_1 \omega_n; \\ a_4 &= -25a_5 \omega_n + 25a_3 \omega_n^{-1} + 0,5a_2 \omega_n^{-2} - 25a_1 \omega_n^{-3};\end{aligned}$$

В плоскости a_4 a_0 вычерчиваем области устойчивости, ограниченные участками кривых, расположенных в 1-ом квадранте, для случаев:

$$\begin{aligned}1) a_0 &= 25\omega_n^5 - 425\omega_n^3 + 148,5\omega_n^2 - 400\omega_n^{-3} \\ a_4 &= -25\omega_n + 425\omega_n^{-1} + 148,5\omega_n^{-2} - 400\omega_n^{-5}\end{aligned} \quad (13)$$

$$\begin{aligned}2) a_0 &= 25\omega_n^5 - 425\omega_n^3 + 1485\omega_n^{-2} + 400\omega_n^{-5} \\ a_4 &= -25\omega_n^6 + 425\omega_n^{-1} + 1485\omega_n^{-2} - 400\omega_n^{-5}\end{aligned} \quad (14)$$

Внутри I-ой области проводим прямую

$$f = 32 - 14\mu$$

Внутри II-ой — $\mu = 20,5 - 0,06f$

Искомые значения f и μ —определяются по точкам прямых, расположенных в соответствующих областях (см. рис. 1, 2).

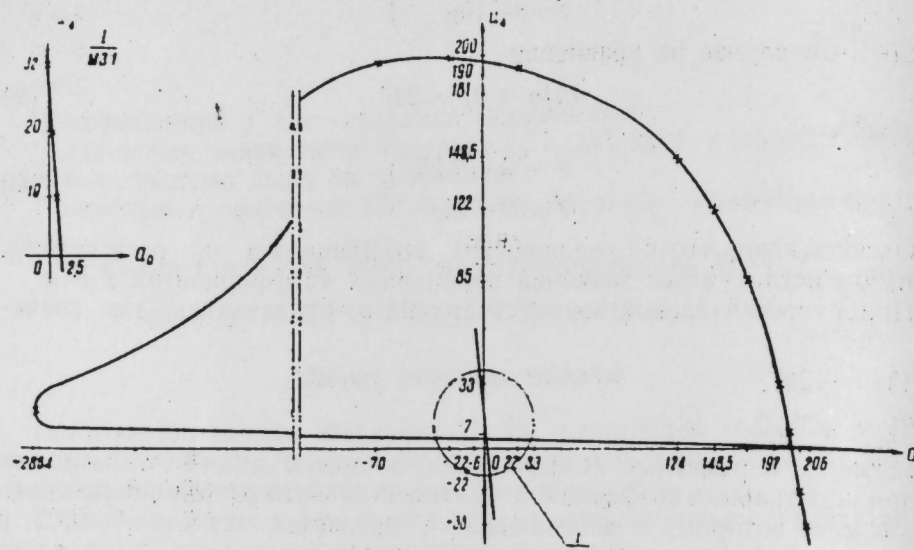


Рис. 1

Для сравнения с другими известными методами автором статьи попытка проиллюстрировать на конкретном примере преимущество метода „затухания“, возможности которого не ограничиваются степенью характеристического уравнения колебательной системы.

ЛИТЕРАТУРА

- Халилов Т. А. Метод затухания и его применение для синтеза систем автоматического регулирования. ДАН Азерб. ССР, 1962, № 12, 2. D. Mitrovic Analycis and synthesis of Feedback Control Systems doctor thesis, Belgrad, Univers, 1957.

Институт энергетики

Поступило 8 I 1963

Т. А. Халилов

Бир изләјичи дәјишән параметрлар һидроскопик системин дајаныглыға һесабланмасы

ХУЛАСӘ

Мәгаләдә әјани сурәтдә „сөнмә“ методунун реал системә тәтбиғи көстәрилмишdir.

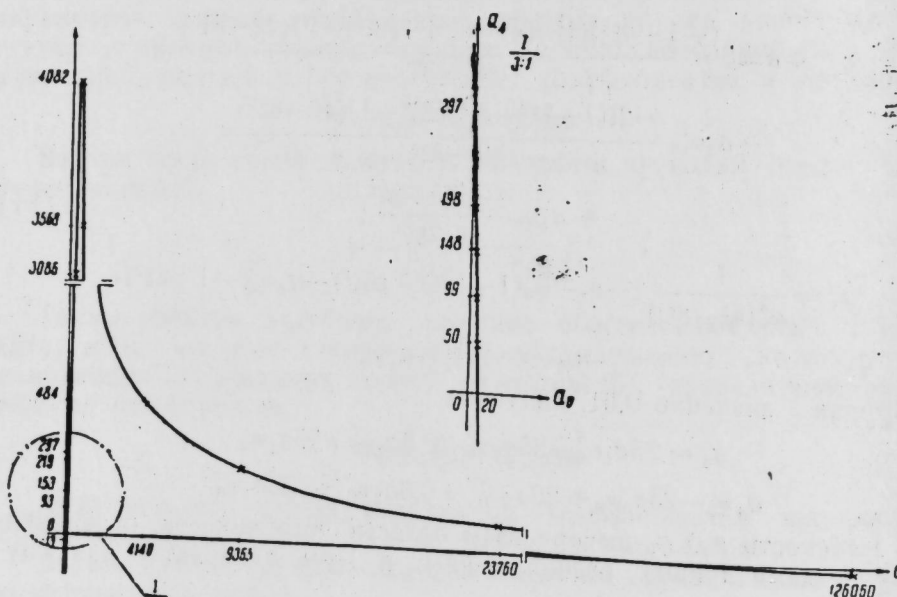


Рис. 2

Выводы

Метод „затухания“ применен для синтеза систем автоматического регулирования с заранее заданными показателями переходного процесса. В данном случае была поставлена более общая задача об отыскании величин переменных параметров, обеспечивающих устойчивое решение задачи.

ГАЗЫМА

С. М. ГУЛИЈЕВ, Э. М. ӘБДҮЛЗАДӘ, Э. А. ИБРАИМОВ

**ДЭРИНЛИЙН ГАЗЫМАНЫН МЕХАНИКИ СҮР'ЭТИНЭ
ТЭ'СИРИ ҺАГГҮҮНДА**

Мэ'лумдур ки, сүхурларын јатма дэринлиji артдыгча онларын сыхлығы, мөһкемлиji дэ артыр, јэ'ни газылмаја мүгавимэти јүксәлир.

Апарылмыш тэчрубы тэдгигатлар нэтичэсийдэ аждылашдырылмышдыр ки, мүэjjэн дэринликтэн сонра газыма көстәричиләриндән механики сүр'этин вэ газыма кёдишинин азалмасы тэдричэн арадан галхыр вэ бу көстәричиләр сабитләшир. Бэ'зи тэдгигатчыларын фикринчэ газыманын механики сүр'этинин азалмасы һидростатик тээзигин артмасы илә әлагәдардыр вэ һәр сүхурун хүсусиjjэтиндән асылы олараг мүэjjэн максимум тээзигдән сонра онун газылма сүр'ети сабитләшир. Бунуила јанашы, мүэjjэн едилмишдир ки, һидростатик тээзиг артдыгда յумшаг сүхурларын газылма сүр'ети бәрк сүхурлара иисбәтән даһа интенсив азалыр.

Һидростатик тээзиг һеч дэ бүтүн сүхурларын газылма мүгавимэтийнэ тэ'сир көстәрмир. Кечиричилүк габилиjjәти олан бир сыра сүхурлар (мәсәлән, гумдашы) һидростатик тээзигин тэ'сириндән о гәдэр дэ сыхылмаја м'руз галмадығындан, јүксәк тээзиг алтында белә, ади шәрантдә олдуғу кими газылыр [1, 4, 5, 6].

"Ширваниефт" саһесиндә ejini режимдә газылмыш гүјуларын материалы әсасында газыма дэринлиji (L) вэ набелә газыма турбини әсас иш көстәричиси олан M/n иисбәтинин газыманын механики сүр'этинэ (v_{mech}) тэ'сири 1-чи шәкилдә көстәрилмишдир.

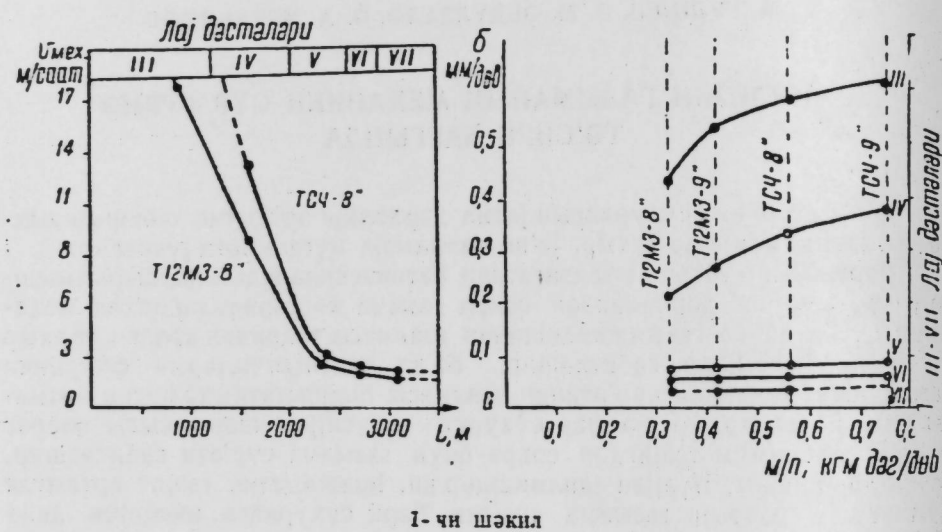
1-чи шәкилдән көрүндүjү кими, мұхтәлиф M/n иисбәти олан газыма турбинләринин тәтбиг олунмасына баҳмајараг, дэринлиlik артдыгча газыманын механики сүр'ети азалыр вэ ашагы гатларда демәк олар ки, там сабитләшир. Лакин механики сүр'этин белә интенсив енмәси дэринликтэн асылы олараг, газыма турбинләри иш габилиjjётинин дэ зәинфләмәси тэ'сириндәнди. Чүники дэринлиlik артдыгча маје дөвраны системиндә Яараанан һидравлик иткиләрин дэ артмасы јујучу маје сәрфинин азалдылмасыны тәләб едир. Бу һәм гүјудибинин дағылмыш сүхур һиссәчикләриндән тәмиәләнмәснинә, һәм дэ газыма турбини иш габилиjjётинин зәинфләшмәснинә сәбәб олур.

Һидростатик тээзиг (r) вэ сүхурун дэринликтэн асылы олараг, хүсусиjjётләри дәјишимәснин гүјудибинин шарошкалы балталарла дағылымасы просессииә тэ'сирини өjrәимәк үчүн гүјудиби шәранти 2-чи шәкилдәкі кими моделләшдирилмишдир.

Экәр һидростатик тәэсигин тә'сириндән յаранан гүввәни (Q) сүхүру әвәз едән еластик յајын үзәриндә јерләшмиш бир чисим илә әвәз етәк, статик һал үчүн:

$$\delta_0 = \frac{Q}{c} = \frac{pF\sigma}{c} = \frac{0,1\gamma LF\sigma}{c} \quad (1)$$

аларыг. Бурада δ_0 —һидростатик тәэсиг тә'сириндән յаранан статик деформасија, см-лә; $F\sigma$ —деформасија саһәси, см²-лә; γ —јујунту мајесинин хүсуси чәкиси, г/см³-лә; L —маје сүткүнүн һүндүрлүгү, м-лә; c —мүтәнасиблик әмсалы, кг/см-дир.



1-чи шәкил

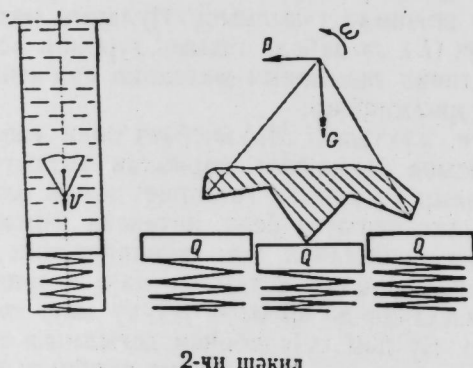
Экәр һидростатик тәэсигин тә'сириндән δ_0 гәдәр сыйылмыш бу юя һәр һансы G гүввәси илә зәрбә ендирсәк, онда һәмин гүввәни тә'сири мүддәтиндән асылы олараг, юя әлавә олараг δ гәдәр динамики сыйылачагдыр. Системин јердә

ишишмәси заманы онун кинетик енержисинин дәжишмәси ($T_2 - T_1$) системә тәтбиғ олунмуш гүввәләрин (\bar{P}_i) көрдүйү ишин топлусуна $\left(\sum_{i=1}^n A(\bar{P}_i) \right)$ бәрабәр олдуғундан:

$$T_2 - T_1 = \sum_{i=1}^n A(\bar{P}_i)$$

Бурада T_1 —системин зәрбә анындакы кинетик енержи:

$$T_1 = \frac{G^2}{G+Q} \cdot \frac{v_0^2}{2g};$$



2-чи шәкил

јаза биләрик [3].

$T_2 - G$ гүввәсинин системдән көтүрүлдүйү андакы кинетик енержи:

$$T_2 = \frac{G+Q}{2g} v^2;$$

v_0 —зәрбә сүр'ети;

v —чары деформасија сүр'етидир: $v = \frac{d\delta}{dt}$.

$$\sum_{i=1}^n A(P_i) = (G+Q)\delta - \frac{c}{2} [(\delta_0 + \delta)^2 - \delta_0^2] = G\delta - \frac{c}{2}\delta^2$$

олдуғуну гежд едәрек.

(2), (3) вә (4) ифадәләриндән:

$$\frac{G+Q}{2g} v^2 - \frac{G^2}{G+Q} \frac{v_0^2}{2g} = G\delta - \frac{c}{2}\delta^2$$

алыныр. Бурадан да:

$$\frac{d\delta}{dt} = \sqrt{\frac{2g}{G+Q}} \sqrt{G\delta - \frac{c}{2}\delta^2 + \frac{G^2v_0^2}{2g(G+Q)}} \quad (5)$$

олур.

Статик мұвазинәт һалыны координат башланғычы гәбул едиб, (5) ифадәсіндән динамики деформасија илә G гүввәсинин тә'сири мүддәти арасындакы асылылығы тә'јин етмәк олар:

$$\int_{\delta_0}^{\delta} \frac{d\delta}{\sqrt{G\delta - \frac{c}{2}\delta^2 + \frac{G^2v_0^2}{2g(G+Q)}}} = \sqrt{\frac{2g}{G+Q}} \int_0^t dt \quad (6)$$

(6) ифадәсінин сол тәрәфини ашағыдақы шәкілә салаг:

$$\int_0^{\delta} \frac{d\delta}{\sqrt{a_1\delta - a_2\delta^2 + a_3}} = \frac{-1}{\sqrt{a_2}} \int \frac{dx}{\sqrt{B^2 - x^2}}.$$

$$\text{Бурада: } a_1 = G; \quad a_2 = \frac{c}{2}; \quad a_3 = \frac{G^2v_0^2}{2g(G+Q)};$$

$$B = \sqrt{\left(\frac{a_1}{2\sqrt{a_2}}\right)^2 + a_3}; \quad x = \frac{a_1}{2\sqrt{a_2}} - \sqrt{a_2}\delta;$$

Интегралласаг

$$-\frac{1}{\sqrt{a_2}} \int \frac{dx}{\sqrt{B^2 - x^2}} = -\frac{1}{\sqrt{a_2}} \arcsin \frac{x}{B} + C',$$

вә бә'зи садәләшмәләрдән соңра нәтижәдә:

$$\delta = \frac{G}{c} \left\{ 1 - \sqrt{1 + \frac{cv_0^2}{g(G+Q)}} \sin \left[\arcsin \frac{1}{\sqrt{1 + \frac{cv_0^2}{g(G+Q)}}} - \right. \right.$$

$$\left. \left. - t \sqrt{\frac{cg}{G+Q}} \right] \right\} \quad (7)$$

(3) алышар.

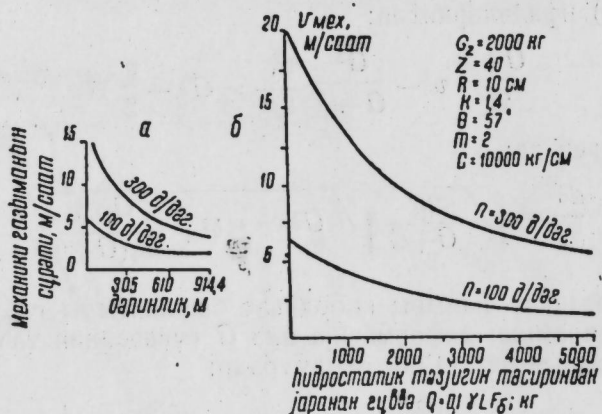
(7) ифадесиндәки тригонометрик функциялары
 $\sin(\alpha - \beta) = \sin\alpha \cos\beta - \cos\alpha \sin\beta$

$$\begin{aligned} \sin(\arcsin x) &= x \\ \cos(\arcsin x) &= \sqrt{1-x^2} \end{aligned}$$

олдуғуны нәзәрә алар ачсаг:

$$\delta = \frac{G}{c} \left[1 - \cos t \sqrt{\frac{gc}{G+Q}} + v_0 \sqrt{\frac{c}{g(G+Q)}} \sin t \sqrt{\frac{gc}{G+Q}} \right] \quad (8)$$

аларыг.



3-чы шәкил

Әкәр шарошканың дишләри арасындакы мәсафә онун сұхурабатта мәртебелілікке дәрінлийнен өзін-өзін түрлі орналасып, (8) ифадеси ашағыдағы садә шәкилде жазыла биләр:

$$\delta = \frac{Gv_0}{Vcg(G+Q)} \sin t \sqrt{\frac{cg}{G+Q}} \quad (9)$$

Алынмыш (9) вә еләчә дә (8) ифаделәрини шарошканы балталар тәтбиг етмәк үчүн G әвәзине зәрбә анында дишә дүшән гүввәни (G_z), v_0 әвәзине һәмин гүввәни сұхура тә'сир сүр'етини, t әвәзине исә дишиң сұхура тәмас мүддәтини жазмаг лазымдыр.

$$\left. \begin{aligned} v_0 &\approx \frac{\pi^2}{15z} nKR \sin \theta \\ t &= \frac{60}{ZKn} \end{aligned} \right\} \quad (10)$$

олмасыны нәзәрә алар ачага [2], шарошканы балталар үчүн ваһид зәрбәдәки деформасия гијметини тапмаг олар:

$$\delta = \frac{\pi^2 n K R G_z \sin \theta}{15 Z V c g (G_z + Q)} \sin \frac{60}{ZKn} \sqrt{\frac{cg}{G_z + Q}} ; \quad (11)$$

бурада: n —балтаның дәғигедә дөврләр сајы;

θ —шарошканы оху илә балтаны оху арасындакы бучаг:

Z, R, K —шарошканың дишләри сајы, радиусу вә өтүрмә әдәдидир

Балтаның ө гәдәр ирәниләмәси үчүн m гәдәр дөвр етмәсі лазым кәләрсә, онда (1) вә (11) ифадәләриндән газыманын механики сүр'ети тә'жин едиңдә биләр.

$$v = \frac{0,6\pi^2 n^2 K R G_z \sin \theta}{15 Z m \sqrt{cg(G_z + 0,1\gamma L F_t)}} \sin \frac{60}{ZKn} \sqrt{\frac{cg}{G_z + 0,1\gamma L F_t}} ; \text{ м/саат.} \quad (12)$$

Бурада m В. С. Фјодорова әсасән 2 ÷ 5 арасында ғәбул едилир [6].

Һидростатик тәзілгін газыманын механики сүр'етине олан тә'сир иштегендегі шәкилде көстәрилмишdir. Шәклин a һиссәси Америка тәдгигатчылары Д. С. Роули, Р. Ч. Хоу вә Ф. Х. Дили тәрәфиндән гапалы системдә $4^{3/4}$ " диаметрли үшшарошканы балталарла жүксек тәзілгін алтында апарылыш тәчрүбә нәтижесинде [5], ө һиссәси исә (12) ифадесине әсасән гүрүлмушдур. Һәр ики графикдән көрүндүй жиһиз, һидростатик тәзілгін артмасынын илк аларында газыманын механики сүр'ети интенсив азалып, соңра исә демәк олар ки, сабитләширил.

В. С. Фјодоров [6] килләрин механики хас-сәләрини тәдгиг едәрек көстәрмишdir ки, жұхарыдақы сұхурларын ағырлығынын узун илләр бою тә'сир иштегендегі ашалыдақы лај гаттарынын сыйлығы вә мөнкемлији жатма дәрінлийнен асылы олар ачага, тәхминен

$$\sigma_L = \sigma_0 + k_L L \quad (13)$$

гануны илә артыр; бурада σ_L , σ_0 сұхурун истәннилән дәрінликтә вә адидан шәрайтдәки она батырылма мүгавимәти, k —мүтәнасиблик әмсалыдыры.

Әкәр сұхурун сәртлийни (c) онун батырылма мүгавимәти вә һәр ғансы β әмсалы илә әлагәләндирсек:

$$c = \beta \sigma_L = \beta (\sigma_0 + k_L L) \quad (14)$$

вә $\frac{\pi^2}{Vg} = \frac{1}{\pi}$ олдуғуны нәзәрә алсаг, балтаны ишләдији дәрінликтән асылы олар ачага, газыманын механики сүр'етини тә'жин едәрик:

$$v_L = \frac{0,6n^2 KR k G_z \sin \theta}{15 Z m \sqrt{\beta(\sigma_0 + k_L L)(k G_z + k_p L)}} \sin \frac{60}{ZKn} \sqrt{\frac{g \beta(\sigma_0 + k_L L)}{k G_z + k_p L}} , \quad (15)$$

бурада G_z —балтаға верилән оху бою жүк,

k —хәмийн жүкүн дишә өтүрүлмәсінін нәзәрә алған әмсал;

k_p —һидростатик тәзілгі әмсалы;

β —сұхурун механики хас-сәләринең, шарошканың әндереси өлчүләріндән вә жејилмә дәрәчесинде асылы олар әмсалдыры.

Мүхтәлиф дөврләр сајында $v(L)$ асылылығы 4-чы шәкилдә көстәрилмишdir. 4-чы шәкилдән көрүндүй жиһиз, дәрінлик артдыгча һид-

ростатик тээзигин артмасындан вэ сүхурун ютма шэрентиндэй асылы олараг, газыманын механики сүр'эти сэлис бир эёри илэ ашагы дүшүр вэ тэдричэн сабитлэшир.

(15) инфадесиний тэхлили көстэрир ки, газыманын механики сүр'этиний дэринглийн артдыгча азалмасы темпи сүхурун вэ юуунту мајесиний хүсүсийжтэйндей, балтаний конструксијасы вэ газыма режимийндей асылындыр.

Нефт и Газ йатагларынын ишлээмсэй
Институту

Альянмыншыр 28. II 1002

ЭДЭБИЙЛТ

1. Гарнье А. Ж. и Ван-Линген И. Х. Факторы, влияющие на механическую скорость проходки с увеличением глубины. Госиздат, 1960. 2. Кулев С. М. Абдулзаде А. М., Ибрагимов А. А. Изд. АН Азерб. ССР, серия геол.-географии и нефти, 1963, № 1. З. Лойцинский Л. Г., Лурье А. И. Курс теоретической механики. ГИТТЛ, 1955. 4. Островский А. П. Новые процессы бурения глубоких скважин. Гостонтехиздат, 1960. 5. Роули Д. С., Хоуп Р. Дж., Дили Ф. Х. Лабораторные исследования долот промышленных размеров. Госиздат, 1962. 6. Федоров В. С. Проектирование режимов бурения. Гостонтехиздат, 1958.

С. М. Кулев, А. М. Абдулзаде, А. А. Ибрагимов

О влиянии глубины на механическую скорость проходки

РЕЗЮМЕ

В статье устанавливаются основные закономерности влияния гидростатического давления и степени природного уплотнения породы на механическую скорость проходки с увеличением глубины. Полученные закономерности графически иллюстрированы на рис. 1, 3 и 4. Для сопоставления полученных зависимостей с экспериментальными данными американских исследователей [6], на рис. 3а даны соответствующие графики.

Устанавливается, что характер и темп снижения механической скорости проходки с увеличением глубины в основном зависят от характера буримости пород, свойств промывочной жидкости, конструкции долота и режима бурения.

АЗЭРБАЙЧАН ССР ЕЛМЛӨР АКАДЕМИЯСЫНЫН МӨРҮЗӘЛӘРИ
ДОКЛАДЫ АКАДЕМИИ НАУК АЗЕРБАЙДЖАНСКОЙ ССР

ТОМ XIX

№ 3.

1963

РАЗРАБОТКА НЕФТЯНЫХ И ГАЗОВЫХ МЕСТОРОЖДЕНИЙ

М. Т. АББАСОВ, О. А. МАМЕДОВ

О РАСЧЕТАХ ФИЛЬТРАЦИИ ГАЗИРОВАННОЙ НЕФТИ

(Представлено академиком АН Азербайджанской ССР С. М. Кулевым)

В работах [1, 2] указывалось, что при относительно малых значениях отношения радиусов контура питания (R_k) и газонефтяного контакта (R), а также при одномерном движении газированной нефти условие равенства средней по пласту (ρ_{ep}) и контурной (ρ_k) нефтенасыщенности в определенных случаях не соблюдается. С уменьшением $\frac{R_k}{R_p} = R_1$ разница в значениях ρ_k и ρ_{ep} возрастает, причем с увеличением α и $\frac{P_r}{P_k}$ эта разница в первом случае увеличивается, а во втором — уменьшается. Здесь P_k , P_r — давления соответственно на контуре питания и газонефтяном контакте; $\alpha = \frac{P_r}{P_k}$; χ — объемный коэффициент растворимости газа; ρ_n , ρ_g — вязкости соответственно газа и нефти. В этих же работах была установлена возможность определения ρ_{ep} по средневзвешенному значению функции Христиановича, а также указаны возможные пределы, при которых в расчетах второй фазы режима растворенного газа соблюдается условие $\rho_k = \rho_{ep}$.

Несоблюдение этого условия, в основном, приводит к погрешностям в определении времени (соответствующего заданному значению дебита q_1 или давления P_r) и среднего пластового давления $= P_{ep}$.

Ниже уточняются указанные выше гидродинамические расчетные формулы для второй фазы режима растворенного газа при $\rho_k \neq \rho_{ep}$.

Обычно, время определяется из балансового уравнения для нефти

$$t = \Omega_n \int_{\rho_{ep}}^{\rho_0} \frac{d\rho_{ep}}{q_n}, \quad (1)$$

где Ω_n — объем порового пространства пласта, насыщенного нефтью; ρ_0 — средняя нефтенасыщенность пласта к началу второй фазы.

При заданном $q_1 = \text{const}$ уравнение (1) примет вид

$$t = \frac{\Omega_n}{q_n} (\rho_0 - \rho_{ep}). \quad (2)$$

Далее, как и обычно, задаваясь рядом последовательных значений ρ_k , по известной методике определяются соответствующие им P_k , P_r , \bar{H}_k и \bar{H}_r [4, 6 и др.]. После чего по известным \bar{H}_k и \bar{H}_r определяются средневзвешенные значения \bar{H} и соответствующие им ρ_{cp} и P_{cp} [1, 2].

Воспользуемся работой [4] и выпишем выражения для \bar{H}_{cp} соответственно для одномерного и плоско-радиального движения:

$$\bar{H}_{cp} = \frac{1}{3}(2\bar{H}_k + \bar{H}_r), \quad (3)$$

$$\bar{H}_{cp} = \bar{H}_k - \frac{\bar{H}_k - \bar{H}_r}{1 - \frac{1}{R_1^2} - 2\ln R_1} \left[\frac{2\ln R_1}{R_1^2 - 1} - \frac{R_1^2 + 1}{2R_1^2} \right] \quad (4)$$

При заданном $P_r = \text{Const}$ расчёты по определению времени проводятся по формуле (1) численным способом. В этом случае также, задаваясь рядом последовательных значений ρ_k , по известной методике определяются соответствующие им P_k , q_{ii} , \bar{H}_k и \bar{H}_r , \bar{H}_{cp} , ρ_{cp} и P_{cp} [1, 2, 4, 6].

Иногда же оказывается необходимым связь между ρ_k и ρ_{cp} , выразить в явном виде. Для этого, следуя [3, 5, 7] выразим $\bar{H} = \bar{H} \left(\frac{1}{\psi(\rho) + \alpha} \right)$ в виде нескольких прямых (число прямолинейных участков зависит от степени необходимой точности)*. Тогда можно записать

$$\bar{H} = A_j \left[\frac{1}{\psi(\rho) + \alpha} \right] + B_j, \quad (5)$$

где $\psi(\rho)$ —отношение фазовых проницаемостей газа и нефти (известная из экспериментов функция);

$A_j B_j$ —постоянные коэффициенты, величина которых зависит от α и нефтенасыщенности;

j —число прямолинейных участков.

При известном значении α из (5) можно получить

$$\psi(\rho) = \frac{A_j}{\bar{H} - B_j} - \alpha = M(\rho). \quad (6)$$

Согласно [6] для несцементированных песков

$$\psi(\rho) = \frac{1,16(\rho - 1)^2}{1,06\rho^3 - 0,06}. \quad (7)$$

Совместное рассмотрение (6) и (7) приводит к следующему кубическому уравнению относительно ρ .

$$M\rho^3 - 1,1094\rho^2 + 2,188\rho - 0,0566M - 1,094 = 0. \quad (8)$$

Дискриминант этого уравнения в пределах практически возможных значений нефтенасыщенности знакопеременный. Однако, уравнение (8) имеет одно решение в пределах $1 \geq \rho \geq 0,873$, что соответствует наиболее искривленному участку кривой зависимости $\psi(\rho)$.

* Можно воспользоваться и другими (известными) видами аппроксимации этой зависимости.

$$\rho = \frac{2}{M} \sqrt{0,133 - 0,7293M} \operatorname{ch} \frac{1}{3} \operatorname{Arch} \frac{1,31 - 10,773M + 27M^2 \times}{27 \sqrt{0,133 - 0,7293M}} \frac{\times (0,0283M + 0,547)}{+ 1,094} + \frac{1,094}{3M} \quad (9)$$

Остальную часть зависимости $\psi(\rho)$ с высокой степенью точности можно аппроксимировать (одной или несколькими прямыми линиями). Тогда при $\rho < 0,873$

$$\psi(\rho) = a_i \rho + b_i, \quad (10)$$

где i —число прямых.

Из (10) и (6) получим

$$\rho = \frac{M_i - b_i}{a_i} \quad (11)$$

Согласно [1, 2] уравнения (5), (9) и (11) можно считать зависимостями между средневзвешенными по пласту значениями указанных величин.

Путем простых рассуждений из (3) и (4) получается

$$\bar{H}_{cp} = \bar{H}_{cp}(\bar{H}_k, \bar{H}_r) = \bar{H}_{cp}(\rho_k, \rho_r) = \bar{H}_{cp}(\rho_k). \quad (12)$$

Следовательно и $M = M(\rho_k)$.

Таким образом, при помощи уравнений (9) и (11) находится связь между ρ_{cp} и ρ_k . Для того, чтобы получить аналитическую зависимость между ρ_{cp} и ρ_k можно использовать выражение (5).

Для сокращения объема статьи ниже приводится расчетная формула лишь для одного случая, когда значения \bar{H}_k и \bar{H}_r находятся на одном из прямолинейных участков зависимости (5) при одномерной фильтрации газированной нефти. В этом случае в уравнениях (9) и (11) значение M будет определяться следующей формулой:

$$M = \frac{3[\psi(\rho_k) + \alpha]}{2 + \frac{P_r}{P_k}} - \alpha. \quad (13)$$

Тогда, при необходимости, при заданном P_r уравнение (1) можно представить в следующем виде:

$$t = \frac{\Omega_n v_n l}{2bkh} \int_{\rho_k}^{\rho_o} \frac{f(\rho_k) d\rho_k}{P_k [\psi(\rho_k) + \alpha] [\bar{H}(\rho_k) - \bar{H}(\rho_r)]}, \quad (14)$$

где

$$f_1(\rho_k) = \left\{ -\frac{2}{M} \left(\frac{1}{M} \sqrt{0_2} + \frac{0,7293}{2\sqrt{0_2}} \right) \operatorname{ch} \frac{1}{3} \operatorname{Arch} 0_1 + \right. \\ \left. + \frac{\operatorname{sh} \frac{1}{3} \operatorname{Arch} 0_1}{40,50_2 \sqrt{0_1^2 - 1}} 0_3 - \frac{0,3646}{M^2} \right\} 0_4; \text{ при } 1 \geq \rho_{cp} \geq 0,873$$

$$0_1 = \frac{1,31 - 10,773M + 27M^2(0,0283M + 0,547)}{27(\sqrt{0_2})^3}; 0_2 = 0,133 - 0,7293M;$$

$$0_3 = [-10,773 + 54M(0,0283M + 0,547) + 0,7641M^2 + 29,52450_1\sqrt{0_2}];$$

$$0_4 = 3 \frac{2,188(\rho_k - 1) - 3,282 \rho_k^2(\rho_k - 1)^2}{(\rho_k^3 - 0,0566)^2 \left(2 + \frac{P_r}{P_k}\right)} + \frac{3P_r[\psi(\rho_k) + \alpha]^2}{P_k^6 \left(2 + \frac{P_r}{P_k}\right)^2},$$

$$f(\rho_k) = \frac{0_4}{a_1} \text{ при } \rho_{cp} < 0,873.$$

Таким же образом легко получаются расчетные формулы для других случаев одномерной и плоско-радиальной фильтрации.

ЛИТЕРАТУРА

1. Абасов М. Т., Кулесов А. М., Асланов Р. Т., АНХ, 2, 1962.
2. Абасов М. Т., Кулесов А. М., Мамедов О. А., Юсифов Ю., Изд. АН Азерб. ССР, 1963, № 1.
3. Амелин ИД. Труды ВНИИ, вып. XII, 1958.
4. Глоговский М. М. Труды ВНИИ, вып. XIX-1959.
5. Глоговский М. М., Розенберг М. Д. Труды ВНИИ, вып. II, 1952.
6. Царевич К. А. Труды ВНИИ, вып. VI, 1954.
7. Чарий И. А. Подземная гидромеханика, Гостехиздат, 1948.
8. Щелкачев В. Н., Лапук Б. Б. Подземная гидравлика, Гостехиздат, 1949.

Институт разработки

Поступило 25. XII 1962

М. Т. Абасов, О. Э. Мамедов

Газлы нефт һәрәкәтинин һидродинамик һесабатына даир

ХУЛАСӘ

[1, 2] ишләриндә көстәрилди кими, гидаланма контуру радиусуну (R_k) газ-нефт контакты радиусуна (R_r) ишбәти кичик олдугда вә набелә газлы нефтни бир олчулу һәрәкәтнә, лајп көрә орта (ρ_{cp}) вә контур (ρ_k) нефтләдојма экසәр һалларда бәрабәр олмур.

$\frac{R_k}{R_r} = R_1$ азалдыгча ρ_k вә ρ_{cp} арасында фәрг чохплыр, $\alpha = \frac{\rho_r}{\rho_k}$ артдыгча бу фәрг биринчи һалда артыр, икinci һалда исә азалыр. ρ_k вә ρ_r — улгун сурәтдә гидаланма вә газ-нефт контурунун нефтилә дојмасыдыр, $\alpha = \frac{\rho_r}{\rho_k} \chi$. χ олдугда χ — газны һәлл олма әмсалы; $\rho_r - \rho_k$ исә газны вә нефтни өзлүлүгүдүр.

[1, 2] ишләриндә орта нефтләдојманин орталашмый Христианиович функсијасы илә тә'жини вә һәллолмуш газ режимиинин икinci фазасында $\rho_k = \rho_{cp}$. шәртийни көтүрүлмәси сәріәдләри тәдгиг едилмишdir. Бу шәртин көзләнилмәсси әсасеи заманын вә орта лај тәэжигинин тә'жиинидә сәһиә кәтириб чыхарыр.

Бу мәғаләдә исә һәллолмуш газ режиминдә икinci фазада һидродинамик һесабат дүстүрләри ρ_k / ρ шәрти илә дәғигләшdirilir.

АЗЭРБАЙЧАН ССР ЕЛМЛӘР АКАДЕМИЈАСЫНЫН МӘРҮЗӘЛӘРИ

ДОКЛАДЫ АКАДЕМИИ НАУК АЗЕРБАЙДЖАНСКОЙ ССР

ТОМ XIX

№ 3.

1963

ФИЗИЧЕСКАЯ ХИМИЯ

К. А. ШАРИФОВ

ВЗАИМОСВЯЗЬ МЕЖДУ ШИРИНОЙ ЗАПРЕЩЕННОЙ ЗОНЫ ПОЛУПРОВОДНИКОВ И ТЕПЛОТОЙ ИХ АТОМИЗАЦИИ ВЕЩЕСТВА СОСТАВА АВ

(Представлено академиком АН Азербайджанской ССР М. Ф. Нагиевым)

В работе В. Ф. Ормонта [4] сказано, что ширина запрещенной зоны полупроводника ΔE должна непосредственно зависеть от прочности химических связей и поэтому в одном и том же ряду соединений, например, $A''B''$ можно было бы ожидать простой зависимости между ΔE и энергией атомизации — Ω , т. е.

$$\Delta E = q\Omega.$$

Но далее он, развивая свою мысль отмечает, что ΔE является не только структурочувствительным, а также и связочувствительным параметром. Поэтому с ростом суммарного атомного номера компонентов вещества, q должен падать вследствие усиления металлической составляющей связи.

Нам кажется, что в ряду соединений, принадлежащих к одному и тому же структурному и химическому типу q не должен изменяться с ростом суммарного атомного номера компонентов, по крайней мере, для веществ состава AB (для которых имеются более надежные экспериментальные данные), ибо усиление металлической составляющей связи отражается в величине энергии атомизации.

Проиллюстрируем сказанное на примере соединений состава $A''B''$ и $A'''B'''$.

Из рис. 1 видно, что прямолинейный характер зависимости между ΔE и Ω не оставляет сомнений.

В таком случае отсюда можно извлечь следующее.

1. По известным значениям ΔE (2,16; 3,0 и 2,23 эв) можно предсказать стандартную энталпию образования — ΔH_{298}° соединений $AlAs$, AlP и CaP , равными, соответственно, 37,4; 41,8 и 32,8 ккал/моль (для них нет литературных данных).

2. Для $HgTe$ более верной надо считать ΔE равную 0,02 эв, приведенную в [1, 6, 9], но не 0,2 эв, которая дана в [5].

3. Для соединений $A'''B'''$ можно построить две близколежащие прямые — сплошную и пунктирную линии (рис. 1).

Если считать, что сплошная линия соответствует действительности, то литературные данные [8] по ΔH_{298}^0 для HgS, HgSe и HgTe (13,9; 5,1 и 3 ккал/моль) нужно считать заниженными и поэтому следует дать

предпочтение [3] (14,0; 8,0 и 7,0 ккал/моль). Это предположение будет проверено нами экспериментально.

4. Зачастую структура вещества не влияет на ширину запрещенной зоны, что видно на примере соединений AgCl, AgBr и AgJ (причина этого пока нам не ясна). Здесь первые два вещества имеют структуру NaCl, а последнее — ZnS. Тем не менее, они ложатся на одну прямую, что видно из рис. 2. Точно также соединения $A^{III}B^V$, имеющие структуру сфалерита находятся на одной прямой вместе с BN, который имеет структуру графита (рис. 1). Но следует отметить, что ΔE для указанного вещества принята равной

0,5 эв, согласно [9] (Гудмен [6] приводит приближенное значение 7 эв). Если эта величина надежная и структура в данном случае действительно не влияет (вернее слабо влияет) на ширину запрещенной зоны, то теплоту атомизации В и N₂ надо принять равными 97,2 [10] и 113,0 [2], а величины 85,57 для N₂ [5] и 141,0 ккал/г. атом для бора [2] считать ошибочными.

5. Вычислив по литературным данным величины Ω^* для CuJ, CuBr и CuCl и зная ΔE первых двух, можно предсказать ширину запрещенной зоны третьего вещества — CuCl: $\Delta E = 3,0$ эв (рис. 2).

Итак, мы предполагаем, что следующая формула будет верна:

$$\Delta E = q\Omega + p \dots \dots \quad (1)$$

где q и p для веществ состава AB, принадлежащих к одному и тому же структурному и химическому типу являются постоянными.

* $\Omega_{AB} = \Delta H_{298}^0 + S_A + S_B$; где S_A и S_B — теплоты атомизации компонентов вещества.

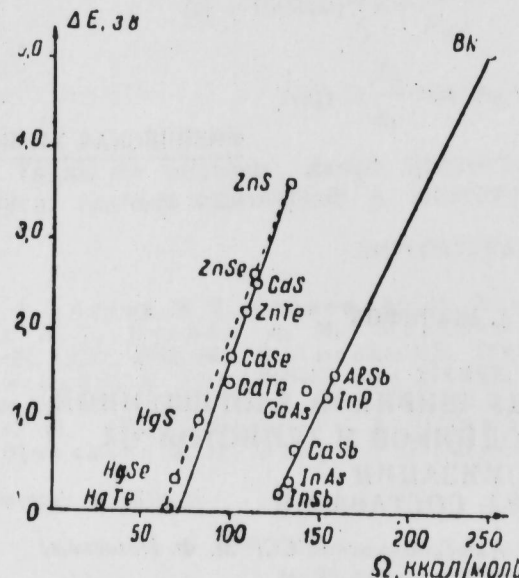


Рис. 1

Зависимость ширины запрещенной зоны полупроводников $A^{III}B^V$ и $A^{II}B^{VI}$ от их энергии атомизации

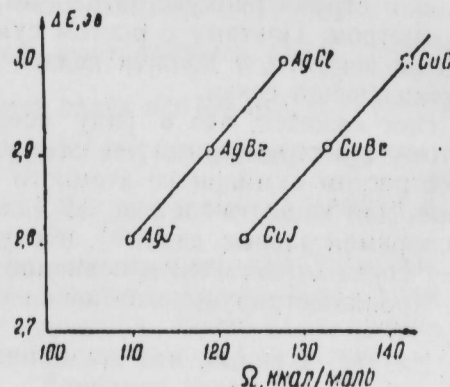


Рис. 2

Зависимость ширины запрещенной зоны ΔE полупроводников $A^{III}B^V$ от их энергии атомизации Ω

Вследствие того, что энергия связи может быть заменена теплотой атомизации [2], эта формула находится в соответствии с формулой Манка [9]:

$$\Delta E = a(E_s - b), \quad (2)$$

где E_s — энергия одинарной связи, a и b — постоянные для каждого ряда $A^{IV}A^{IV}$, $A^{III}B^V$ и $A^{II}B^{VI}$. Но к выводу формулы (2) мы имеем серьезное возражение, о чем будет разговор в другой публикации. Сейчас достаточно будет отметить, что эта формула с точки зрения практики представляет ограниченный интерес, так как число известных энергий связи невелико, а расчет их через электроотрицательности, который применим и Манка при выводе своей формулы, во многих случаях не может дать удовлетворительного результата [7]. Но и для обратного расчета — энергии связи по известной ширине запрещенной зоны — эта формула вряд ли может быть пригодной.

ЛИТЕРАТУРА

- Б. Ю. б. Фотопроводимость твердых тел. И. Л., 1962.
- Голутвин Ю. Теплоты образования и типы химической связи в неорганических кристаллах. Изд-во АН СССР, 1962.
- Кубашевский О., Эванс Э. Термохимия в металлургии. И. Л., 1954.
- Ормонт Б. Ф. ДАН СССР, 1959, 124, 129.
- Полупроводники. Перевод под ред. Б. Ф. Ормонта И. Л., 1962, стр. 66.
- Полупроводниковые вещества. Вопросы химической связи. Сб. статей. И. Л., 1962, стр. 169.
- Сыркян Я. К. Успехи химии, 31, 4, 397, 1962.
- Кубашевский О., Evans E. Metallurgische Thermoschemie, Veb. Verlag Technik, Berlin, 1959.
- Манка Р. Phys. and Chem. Sol., 20, 3/4, 268, 1961.
- Selected Values of Chemical Thermodynamic Properties Circ. 500. Washington, 1952.

Поступило 15 II. 1963

Институт физики

К. Э. Шарифов

Жарымкечиричиләрни гадаган олунмуш золагышын ени илә онларын атомлашма енержисинин асылылығы

ХУЛАСД

Мәғоләдә Жарымкечиричиләрни гадаган олунмуш золагышын ени — ΔE илә онларын атомлашма енержиси — Ω арасындакы асылылыг верилмишидир:

$$\Delta E = q\Omega + p$$

Белә зәни олунур ки, AB тәркиби олай ејни структурлу вә ејни кимјәви типли бирләшмәләр үчүн q вә p сабитдир.

ХИМИЯ

Г. Б. ШАХТАХТИНСКИЙ, Г. А. АСЛНОВ, Г. А. ШАКАРОВ

**АРСЕНАТНЫЙ МЕТОД ЙОДОМЕТРИЧЕСКОГО ОПРЕДЕЛЕНИЯ
ГАЛЛИЯ**

(Представлено академиком АН Азербайджанской ССР З. И. Халиловым)

По арсенатному методу йодометрического определения галлия данных в литературе не имеется. Нами предложен точный и быстро выполняемый метод йодометрического определения алюминия через основную мышьяковокислую соль [2], по аналогии может быть разработано определение галлия. В принципе этот метод состоит в осаждении галлия в виде соответствующего арсената с дальнейшим растворением осадка в сильной кислоте и йодометрическим титрованием освободившейся мышьяковой кислоты по ранее разработанному нами методу [1]. Настоящая работа предпринята с целью исследования условий йодометрического метода определения галлия через его арсенат. Исследовались условия количественного осаждения, фильтрования, промывания, растворения осадка арсената галлия и проведения титрования. Также рассматривались вопросы присутствия некоторых катионов, обычно имеющихся в очень больших количествах наряду с малым содержанием галлия в его природных соединениях. В данной статье мы ограничиваемся определением галлия в его чистых слоях. Первая серия опытов была посвящена определению влияния рН среды при осаждении ионов галлия арсенат-ионами. Эти опыты проводились следующим образом. Раствор соли галлия (1 мл которого содержал 0,00277888 г галлия) разбавлялся дистиллированной водой до определенного объема и прибавлялось две—три капли метилоранжа. В качестве осадителя применялся полумолярный раствор арсената натрия, разбавленный дистиллированной водой до объема раствора соли галлия. Оба раствора нагревались до кипения, а затем раствор осадителя приливался к исследуемому при нагревании и помешивании стеклянной палочкой и производилось осаждение раствором аммиака до получения слаборозовой окраски раствора. Затем прибавлялись различные количества однонормального раствора соляной кислоты. Полученные осадки фильтровались, промывались, растворялись в сильной кислоте при одинаковых условиях, и производилось йодометрическое титрование освободившейся мышьяковой кислоты. В опытах, как указывалось выше, оба смешанных нагретых раствора подкислялись соляной кислотой до слабо-розовой окраски, затем прибавлялся

раствор 1 н. соляной кислоты в различных количествах, после чего около 3—5 мин. продолжалось нагревание при размешивании.

Эти опыты показали, что при содержании в растворе соляной кислоты в количествах, соответствующих 0,02 н. Результаты в достаточ-

но точной степени отвечают соотношению $\frac{Ga}{A_5O_4} = \frac{7}{6}$. При меньших кислотностях результаты получались пониженными вследствие частичного растворения осадка в избытке аммиака, ибо в аммиачном растворе (при сильном запахе аммиака) осадок вовсе не образуется. При кислотности выше 0,03 н. результаты также понижаются, т. е. наблюдается частичное растворение осадка в кислоте. Таким образом, оптимальная кислотность среды, при которой образуется осадок вышеуказанного состава, равна 0,02 н.

В последующих исследованиях переходим к изучению условий промывания осадка. Эти условия нами были заимствованы из методики определения алюминия (промывание производилось двухпроцентным раствором хлористого аммония). Промывание холодной водой не дает хороших результатов, так как процесс фильтрования слишком затягивается даже при применении отсасывания. Поэтому приходится перейти к промыванию горячей водой. При различном числе промываний водой результаты определений непрерывно понижаются, что показывает на гидролитическое расщепление осадка с образованием мышьяковой кислоты, которая постепенно отмывается. Однако при промывании раствором хлористого аммония это явление не наблюдается. Было установлено, что пятикратное промывание является недостаточным, ибо результаты получаются несколько повышенными, а при семикратном и большем числе промываний результаты титрования дают большую сходность как с теоретически рассчитанным расходом тиосульфата натрия, так и друг с другом. Таким образом, следует остановиться на промывании раствором хлористого аммония. Для установления оптимальной концентрации этого раствора были поставлены соответствующие опыты, которые показали, что наиболее подходящей концентрацией хлористого аммония следует считать 2%-ный раствор. Затем было установлено, что арсенатный метод йодометрического определения галлия в присутствии аммония, натрия, калия и магния дает весьма точные результаты. В присутствии таких катионов, как кальций, стронций и другие, определение галлия должно производиться после предварительного отделения этих катионов.

На основании проведенных исследований нами рекомендуется следующая пропись арсенатного метода йодометрического определения галлия. К 20—25 мл кислого раствора, содержащего ионы галлия, прибавляют две—три капли индикатора метилоранжа и нагревают до кипения. В отдельном стакане берут 6—10 мл 0,5 молярного раствора арсената натрия, разбавляют дистиллированной водой до 25 мл и также нагревают до кипения. Этот горячий раствор осадителя приливают к горячему раствору, содержащему ионы галлия, в один прием. Смесь размешивают стеклянной палочкой и при этом, если цвет раствора не окрасится в желтый цвет, прибавляют по каплям 1 н. раствор соляной кислоты до появления слабо-розовой окраски, затем прибавляют 1 мл (около 20 капель) той же кислоты и продолжают нагревание в течение 3—5 мин. при температуре кипения. Полученный осадок в горячем виде фильтруют через пористый стеклянный фильтр № 3, применяя при этом отсасывание. Осадок промывают горячим 2%-ным раствором хлористого аммония семь—восемь раз. После про-

мывания осадок растворяют в 25—30 мл серной кислоты (2:5) в пять—шесть приемов. При этом каждой порцией кислоты споласкивают стакан, в котором производилось осаждение и обливают фильтр. При прибавлении первой порции кислоты стараются полностью растворить осадок. Последующими порциями фактически промывают фильтр. По окончании растворения приступают к титрованию. К раствору, находящемуся в колбе Бунзена, прибавляют 20—25 мл бензола, 3 мл 2 н. раствора йода калия, усиленно взбалтывают в течение 20—30 сек. разбавляют 25 мл дистиллированной воды и титруют раствором тиосульфата натрия соответствующей концентрации. При этом в конце титрования, когда слой бензола окрашен в слаборозовый цвет, после каждой капли прибавленного раствора тиосульфата натрия производят взбалтывание в течение нескольких секунд 1 мл 0,1 н. раствора тиосульфата натрия соответствует 0,004 067 г галлия. Приводим результаты определений различных количеств галлия по указанной прописи (см. таблица). Данные таблицы доказывают, что арсенатный метод йодометрического определения галлия даст весьма точные результаты в широких пределах изменения концентрации галлия в исследуемом объеме раствора.

Таблица

№ опытов	Исследуемый раствор, мл		Расход 0,1 н. раствора тиосульфата натрия, мл		
	раствор соли галлия	прибавленная вода	практически	теоретически	расхождение
1	1	24	0,692	0,686	+0,006
2	1	24	0,682	0,686	-0,004
3	1	24	0,682	0,686	-0,004
4	2	23	1,344	1,372	-0,028
5	2	23	1,374	1,372	+0,002
6	2	23	1,366	1,372	-0,008
7	5	20	3,459	3,429	+0,030
8	5	20	3,439	9,429	+0,010
9	5	20	3,437	9,429	+0,008
Десятикратно разбавленный раствор			Расход 0,01 н. раствора тиосульфата натрия, мл		
10	5	20	3,459	3,429	+0,030
11	5	20	3,439	3,429	+0,010
12	5	20	3,449	3,429	+0,020
13	2	23	1,374	1,372	+0,002
14	2	23	1,382	1,372	+0,010
15	2	23	1,332	1,372	-0,040
16	1	24	0,582	0,686	-0,104
17	1	24	0,382	0,686	-0,204

Выводы

Дан метод арсенатно-йодометрического определения галлия через основную мышьяковокислую соль состава $Ga_7(OH)_3(A_5O_4)_6$, который отличается большой точностью и быстрой выполнения (определение выполняется в течение 20—30 мин.).

ЛИТЕРАТУРА

1. Шахтахтинский Г. Б. Изв. АН Азерб. ССР*, 1946, № 2. 2. Шахтахтинский Г. Б., Мамедов И. А. Тр. АЗИИ, XIX. 1957.

Институт химии

Получено 21. XII 1962

Б. Б. Шахтахтинский, Һ. Ә. Асланов, Һ. Ә. Шәкәров

Арсенат методу илә галлиумун јодометрик тә'јини

ХҮЛӘСӘ

Мүәллифләр галлиумун һәчми үсулла тә'јиннә мәхсус метод тәклиф едиirlәр. Мөвчуд әдәбијатда галлиумун арсенат методу илә јодометрик тә'јини юхдур.

Бу методла галлиумун тә'јини ашағыда көстәрилән гајда илә ичра олуңур.

Галлиум иону олан 20—25 мл турш мәһлүлә 2—3 дамчы метилораниж әлавә едиilir вә гајнама дәрәчәсииә гәдәр гыздырылыр.

Башга стәкана 6—10 мл 0,5 молјар натриум-арсенат мәһлүлә төкулүр, 25 мл-ә гәдәр дистиллә едиilmiш су илә дурулашдырылыр вә бу да гајнама дәрәчәсииә гәдәр гыздырылыр. Бу гајнап чөкдүрүчү мәһлүл бир дәфә дә галлиум иону олан гајнап мәһлүлә әлавә едиilir. Гарышыг шүшә чубугла гарышдырылыр, әкәр мәһлүл сары рәнкә бојанмазса, һәмин рәнк алышана кими дамчы-дамчы аммонjak мәһлүлә әлавә едиilәрәк гарышдырылыр. Бундан соира гајнап мәһлүлә зәниф гырмызы рәнк алышана кими 1 н дуз түршесүндән дамчы-дамчы текәрәк гарышдырылыр, соира 1 мл (20 дамчыја җаҳын) һәмин түршудан әлавә едиб гыздырма гајнама дәрәчәсииәдәк 3—5 дәгигә давам етдиiliрилir.

Алышан чөкүнту гајнап һалда З №-ли мәсамәли шүшә филтрән филтрләнир. Сүзүлмүш чөкүнту 2%-ли аммоинум-хлорид мәһлүлә илә 7—8 дәфә јујулур. 25—30 мл (2:5 иисбәтиндә олан) сульфат түршесүндән һиссә-һиссә (5—6 һиссә) чөкдүрмә аниарылан стәкана төкулүр вә стәкан җахаландыгдан соира онуңла чөкүнту һәлл едиilir. Сә'ј едиilir ки, туршуны биринчи һиссәси илә чөкүнту тамамилә һәлл едиilсин, галан һиссәләр исә филтрии јујулмасына ишиләнилсин. Мәһлүлүн үзәринә 20—25 мл бензол, 3 мл 2 н калиум-јодид мәһлүлә әлавә едиilәрәк, 20—30 санијә шиддәтли چолхаландыгдан соира 25 мл дистиллә едиilmiш су илә дурулашдырылыр вә мұвағиғ концентрасијалы натриум-тиосулфат мәһлүлүн илә титрләнир.

0,1 н натриум-тиосулфат мәһлүлүнүн бир милли-литринә 0,004067 г галлиум мұвағиғ кәлир.

Бу методун мөвчуд методлара иисбәтән мүсбәт чәһәти ишин садә вә тез ичра олуңмасы илә җаңашы, галлиум ионунын кениш концентрасија дәјишиклиji интервалында дәгиг иәтичә вермәсидир.

АЗӘРБАЙЧАН ССР ЕЛМЛӘР АКАДЕМИЈАСЫНЫН МӘРҮЗӘЛӘРИ

ДОКЛАДЫ АКАДЕМИИ НАУК АЗЕРБАЙДЖАНСКОЙ ССР

ТОМ XIX

№ 3.

1963

ГЕОЛОГИЯ НЕФТИ

З. Я. КРАВЧИНСКИЙ

К СОПОСТАВЛЕНИЮ ГАЗОНОСНОСТИ И УГЛЕВОДОРДНОГО СОСТАВА ГАЗА ПРОДУКТИВНОЙ ТОЛЩИ-КРАСНОЦВЕТА СТРУКТУР АПШЕРОНСКОГО АРХИПЕЛАГА И ЧЕЛЕКЕНА*

(Представлено академиком АН Азербайджанской ССР М. В. Абрамовичем)

Апшеронский порог, протягивающийся от Нефтяных Камней к Челекену и представленный рядом нигребенных по плиоцену структур [2], характеризуется, как предполагается, благоприятными геологическими и литофациальными особенностями [4, 5, 7], а потому, по-видимому, будет располагать крупными залежами газа. На возможность последнего указывают грязевые вулканы и многочисленные поверхности газопоявления.

Многообещающим методом изучения газоносности этого района является метод сопоставления газоносности уже разрабатываемых месторождений этой полосы, а именно структур Апшеронского архипелага (о. Жилои, Грязевая Сопка, Нефтяные Камни) и Челекенской для выявления общих черт и различий и распространения их на структуры Апшеронского порога.

Геологическое строение и литофациальная характеристика разреза сопоставляемых структур освещены ранее [1, 3, 5, 6, 8].

Вышеуказанные структуры, являясь очередными воздыманиями на соответствующих тектонических линиях, включают в себя почти одинаковый стратиграфический комплекс отложений; на Челекене от современных до миоцена и палеогена [8], на структурах Апшеронского архипелага — от современных до миоцен-эоцене [5, 6].

Основным газонефтесодержащим объектом в рассматриваемых структурах являются продуктивная толща — в зоне Апшеронского архипелага и синхроничная ей по возрасту красноцветная толща — на Челекене.

Как на структурах Апшеронского архипелага, так и на Челекене отсутствуют чисто газовые горизонты промышленного значения. Газ либо растворен в нефти, либо образует небольшие самостоятельные скопления в повышенных частях нефтеносных пластов.

Небольшие скопления газа приурочены на Челекене и к верхам красноцвета ныне обводненным, причем эти скопления газа, в проти-

* Карта этой области приведена в статье С. П. Вартанова и др. [2].

воположность низам красноцвета, отличаются разнообразием своего состава — от азотных до углеводородных.

Проанализируем газоносность рассматриваемой зоны в направлении с запада на восток.

На структуре о. Жилой свободные газовые скопления установлены в виде газовой шапки в свите КаС северо-восточного крыла вблизи свода. В ряде скважин отмечены газовые фонтаны из Ка₃ [6]. Выше лежащий нефтеносный объект ПК этого крыла лишен свободных газовых скоплений и содержит газ, растворенный в нефти.

О газоносности структуры Грязевая Сопка пока судят по материалам опробования ПК и Ка₃. В скважинах, пробуренных в сводовой части складки выявлены в вышеуказанных объектах небольшие газовые шапки [6].

На Нефтяных Камнях скопления газа сопровождают те же нефте-газоносные объекты, что и на предыдущих структурах, при этом горизонт Ка₃ юго-западного крыла содержит только газ, а в Ка₂ вблизи свода установлена газовая шапка в контакте с нефтью. Для Нефтяных Камней, в отличие от соседних западных структур, выявлена смена нефтяной газовой залежью в объекте Ка₂ на далеком юго-восточном погружении складки [6].

На Западном Челекене* свободные скопления газа в форме газовой шапки стратиграфически несколько перемещаются вверх, сопровождая преимущественно VII пачку красноцвета. Небольшие скопления свободного газа известны и в нижележащих пачках, но они, как правило, локально ограничены.

Намечается закономерное увеличение газонасыщенности структур в направлении с запада на восток, сопровождаемое ростом газовых факторов и пластовых давлений. Столь направленный рост газонасыщенности не случаен и обусловлен влиянием ряда факторов — глубиной залегания газоносных пластов в разрезе, литофаunalным составом пород, заключающим газовые скопления, температурой и т. д., что видно из нижеследующего.

На о. Жилом газовые скопления КаС приурочены к интервалам глубин 600—1000 м, для которых температура составляет 38—60° С. Газовый фактор достигает 90 м³/м³.

На Нефтяных Камнях газовые скопления в КаС расположены глубже, а именно в интервалах глубин 700—1100 м. Температура пород 45—75° С, а газовый фактор достигает 200 м³/м³. Пластовые давления превышают нередко гидростатические, отвечающие глубинам пласта на 15—20 атм.

На Челекене скопления газа в VII пачке красноцвета расположены еще глубже, чем на Нефтяных Камнях, а именно в интервалах глубин 1900—2350 м, температура пород этой части разреза в некоторых скважинах превосходит 100° С, а пластовые давления нередко превышают гидростатические в 1,5—1,6 раз. Газовый фактор достигает 500—650 м³/м³.

Как отмечалось выше, газовые скопления приурочены повсеместно к нижней части продуктивной толщи — красноцвета. Последнее не случайно и обусловлено литофаunalным составом пород, содержащих газовые скопления. Анализ литофаunalного состава пород газоносных пачек и свит в разрезе сопоставляемых структур показывает, что свиты, содержащие газовые скопления, содержат больше глинистых прослоев, чем свиты лишенные газовых скоплений. Проиллюстрируем сказанное нижеследующими данными. Нижняя газоносная часть красноцвета

*Данные по Западному Челекену взяты по состоянию на 1960 г.

Челекена более глинистая (% глин достигает 70) по сравнению с верхней газоносной, в которой содержание глин падает до 30%. Аналогичная картина отмечается и на Нефтяных Камнях, где газоносный объект Ка₂ более глинистый в сравнении с негазоносной свитой ПК. Значительное влияние на газонасыщенность разреза оказывает и интенсивность разрывных дислокаций, особенно рельефно выступающая на Челекене. Сильная нарушенность структуры влечет за собой образование изолированных блоков с сохранившейся начальной газонасыщенностью.

Данные о компонентном составе газа сопоставляемых структур приводятся в таблице. Состав газа за вычетом CO₂ пересчитан на 100%

Площадь	К-во анализов	Горизонт ПТ пачка красноцвета	Интервал исследования газа	Состав газа, об. %			
				CH ₄	CO ₂	C ₂ H ₆ —C ₅ H ₁₂	от до
о. Жилой	4	ПК—КаС	573—1000	96,04	96,93	3,07	3,96
Нефтян. Камни	12	ПК	492—1082	94,5	94,6	5,4	5,5
	9		684—1006	93,6	95,5	4,5	6,4
Западный Челекен	2	VII—VIII	1946—2395	78,2	90,0	10,0	21,8

Сопоставление компонентного состава газа о. Жилой, Нефтяные Камни и Западный Челекен показывает, что газы последнего более обогащены гомологами метана, чем первые. В компонентном составе газа особо следует отметить большие пределы колебания CO₂ в газах о. Жилого и Нефтяных Камней. Максимальное содержание CO₂ достигает здесь 16%, уменьшаясь с глубиной; на Челекене содержание CO₂ в газах VII—VIII пачки красноцвета едва достигает 0,2%. Столь значительное увеличение CO₂ в газах структур Апшеронского архипелага, по-видимому, объясняется влиянием сопутствующих вод.

Характерной особенностью газоносности Челекена в отличие от структур Апшеронского архипелага является то, что азотные газы в повышенных концентрациях местами сопутствуют водам верхнего красноцвета.

Таким образом, сопоставляя рассматриваемые структуры под углом зрения их газоносности, констатируем сходство и различия в характере распределения газа и в компонентном составе его.

В свете произведенного сопоставления газонасыщенности структур Апшеронского архипелага и Челекена представляется возможным высказать некоторые соображения о газоносности Апшеронского порога.

Скопления газа в зоне порога будут заключены в песчано-глинистых осадках нижней части продуктивной толщи-красноцвета и, как надо полагать, эти скопления будут промышленного значения.

ЛИТЕРАТУРА

- Алиханов Э. Н. Подкирмакинская свита восточной части Апшеронской области и ее нефтеносность, 1957.
- Вартанов С. П., Кориев В. А., Юров Ю. Г., Результаты сейсморазведочных работ по профилю Челекен-Нефтяные Камни. „Геология нефти и газа“, 1959, № 3.
- Геодекян А. А., Денисенко В. В. и др. Геологическое строение и нефтегазоносность Прибалханской зоны поднятий, 1960.
- Кравчинский З. Я. Сопоставление нефтеносности продуктивной толщи красноцвета Апшеронского архипелага и Челекен. „Геология нефти и газа“ 1962, № 7.
- Мелик-Пашаев В. С. Геология морских нефтяных месторождений

Апшеронского архипелага, Гостоптехиздат, 1959. 6. Самедов Ф. И., Буряковский Л. А. Газоносность продуктивной толщи юго-восточной части Апшеронского архипелага. "Геология нефти и газа" 1961, № 4. 7. Самедов Ф. И., Кравчинский З. Я. К сопоставлению условий залегания свойств нефти в нижних частях продуктивной и красноцветной толщ. Вопросы геохимии нефтегазоносных областей ГОСИНТИ, 1962. 8. Семенович В. В. Геологическое строение и нефтегазоность Челекена. Труды комплексной южной геологической экспедиции, 1960.

Институт геологии

Поступило 4. X 1962

З. І. Кравчински

Абшерон архипелагы вә Чәләкән структурлу Мәһсүлдар гат—гырызы гат чөкүнтуләринин газлылығы вә газын карбоидрокен тәркибинин мұғајисәсінә даир

ХУЛАСӘ

Абшерон архипелагы вә Чәләкән структурлу Мәһсүлдар гат—гырызы гат чөкүнтуләринин газлылығының мұғајисәси көстәрир ки, гәрбәдән шәргә дөргө структурларын газлылығы ганунауғун шәкилдә артыр вә бу да газ факторунун вә лај тәзҗигинин артмасы илә мүшајиәт олунур. Структурларын газлылығының белә артмасына бир сырға амилләр тә'сир едир. Бунлардан лајын жатма дәренилијини, сұхурларын литофасиал тәркибини, лајын температуруну вә с. көстәрмәк олар.

Газын карбоидрокен тәркибини мұғајисә едәркән Чәләкән структурларында Абшерон архипелагына иисбәтән газларын метаның номологлары илә зәнкүнләшмәсі мүшаһидә олунур. Абшерон архипелагының структурларында CO_2 -нин мигдары артыгды.

Абшерон архипелагы илә Чәләкән арасындакы сұалты саһәдә Мәһсүлдар гатын—гырызы гатын алт һиссәсіндә гумлу-килли чөкүнтуләрдә сәнаје әһәмијәтли газ ығындарының олмасы еңтимал олунур.

ГЕРІ-ҰЗВИ КИМЈА

А. А. ВЕРДИЗАДӘ, Т. Д. ӘЛИЗАДӘ

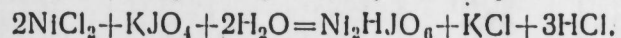
НИКЕЛИН ПЕРЈОДАТ ҰСУЛУ ИЛӘ ТӘ'ЈИНИ

(Азәрбајчан ССР ЕА академики М. Ә. Гашгај тәздиғи етмишидир)

Никел иону аммониум-хлорид вә аммониум әсасы иштирак етдиқдә, калиум-перјодат илә суда һәлл олмајан յашыл рәңкли аморф чөкүнту әмәлә кәтирир. Һәмми чөкүнтуның характеристи кәтирир. Һәмми чөкүнтуның характеристи вә тәркиби нағында әдәбијатда мә'лumat жохдур. Она көрә дә бу мәгаләдә никелин перјодат иону илә мигдары чөкдүрүлмәсі шәраити арашдырылыш вә анализин сонуну һәчми-јодометрик үсул илә гурттармагла никели тә'јин етмәк мәгсәди гарышыја ғојулмушдур. Бунун үчүн никел-хлориддән тәхминән 0,1 н мәһлүл һазырланыр вә Чугаев-Бурник үсулу илә онун титри тә'јин едилир.

Никел иону илә калиум-перјодатын гарышылыгы тә'сир иәтичәсіндә алынаң чөкүнту анализ едиләркән мүәјжән олмушдур ки, онун тәркиби 34,96% никел вә 65,00% параперјодат ионундан ибәрәтдир. Бурадан да айдын олур ки, никел илә перјодат ионлары 2:1 иисбәти кимидир вә һәмми иисбәти өдәјен ән сада дүстүр Ni_2HJO_6 ола биләр. Гејд етмәк лазымдыр ки, чөкүнтулә һидрокенин мигдары галыға көрә несабланышдыр.

Сонракалар апарылан тәчрүбәләр чөкүнтуның никел-һидропараперјодатдан ибәрәт олмасыны тәсдиғ етмишидир. Никел-һидропараперјодатын алымасыны ашағыдақы реаксија тәннизи илә инфадә етмәк олар:



Әввәлләрдә белә күман едирдик ки, алынаң чөкүнтуның тәркибинә никел аммоңакат комплекси шәклиндә дахил олур. Бундан өтүр чөкүнтулән бир гәдәр көтүрүб газапаран бору кечирилән резин тыхач илә бәркидилмиш кичик сынағ шүшәсінә дахил едилир вә йүксәк дәрәчә температурда гыздырылышы. Бу заман чөкүнту парчаланыр ки, ону да pH-ы 7-дән артыг олан индикатор мәһлүлү ол Несслер реактиви илә жохладыгда, орада аммоңакын олмамасы мүәјжән едилир. Бурадан да айдын олур ки, чөкүнтуның тәркибинә дахил олан никел аммоңакат комплекси әмәлә кәтиримир.

Никелин мигдары чөкдүрүлмәсінә калиум-перјодатын тә'сир өјрәниләркән мүәјжән едилмишидир ки, никелин вайид еквивалент мигдарына дүшән калиум-перјодатын мигдары минимум 5 дәфә артыг олмалышы. Никелә иисбәтән калиум-перјодатын 100 вә даһа артыг мигдары көтүрүлдүкдә анализин иәтичәсінә мәнифи тә'сир көстәрилмир.

Сонракы тәчрүбәләрдә јујучуңун тә'сири арашдырыларкән мүәյҗән едилмишdir ки, никел-һидропараперјодат суда әһәмијәтли дәрәчәдә һәлл олур. Лакин етил спиртинде вә ефиридә һәлл олмур. Јујучу олмаг е'тибары илә мұхтәлиф електролит мәһілуллары тәтбиғ едилмиш вә нәтичәдә мүәйҗән олмушидур ки, натриум-асетатын 3%-ли исти вә ја сојуг мәһілуу вә 5%-ли карбамидин гајнадылыб сојудулмуш мәһілуу мусбәт нәтичә верир. Лакин 3%-ли натриум-асетатын 60—70° гыздырылыш мәһілуу илә јума әмәлијаты тез гуртарыр.

Јума тамамлығынын сүр'ети һәм чөкүнтүнүн, һәм дә чөкдүрүчүнүн мигдарындан асылыдыр. Белә ки, чөкүнтүнүн вә чөкдүрүчүнүн мигдары артыг олдугда јума тамамлығы кеч гуртарыр. Бунун сәбәби алынан аморф чөкүнту тәрәфиндән перјодат ионунун адсорбсија олунмасыдыр.

Перјодат ионунун чөкүнту тәрәфиндән адсорбсија олунмасыны аждынлашдырмаг үчүн мүәйҗән мигдар никел иону калиум-перјодатын ән аз вә даһа чох мигдары илә чөкдүрүлүр. Чөкүнту сузүлүр вә натриум-асетатын 3%-ли исти мәһілуу илә нечә дәфә јујулмасы һесабланыр. Јума тамамлығы гуртарлыгдан сонра чөкүнту һәлл едилir вә анализин сону јодометрик үсул илә гуртарыр.

1-чи чәдвәлин 1—2-чи тәчрүбәләриндә никелин анализ үчүн көтүрүлән ени мигдарына иисбәтән калиум-перјодатын аз вә ја чох олмасындан асылы олараг, јума әмәлијаты мұхтәлиф вахтларда гуртарыр. Никелин мигдары чохалдыгча (алынан чөкүнтүнүн һәчми бөյүк олдугча) калиум-перјодатын аз вә ја чох олмасындан асылы олараг, јума әмәлијаты мұхтәлиф вахтларда, лакин чох кеч гуртарыр. Бунуила әлагәдар олараг, практикада мүәйҗән едилмишdir ки, никелин тәхминнән 17 мг-дан артыг мигдарыны перјодат үсүлу илә тә'јин етмәк, јума тамамлығынын кеч гуртармасына көрә әлверишил дејилдири (1-чи чәдвәлин 9—11—13-чу тәчрүбәләрине бах).

1-чи чәдвәл

Чөкдүрүчүнүн тә'сири

Сыра №-си	Никел көтүрүлмүш-дүр, мг-ла	Калиум-перјодат никела иисбәтән нечә дәфә артыг әлавә едилмишdir	Чөкүнту нечә дәфә јујулмушштур	Натриум-тиосулфатын мигдары, мг-ла $T=0,0254512$ $\text{Na}_2\text{S}_2\text{O}_3 \cdot 5\text{H}_2\text{O}$	Никел тапылмышдыр, мг-ла	Фәрг, мг-ла
1	0,1721	6	6	0,114	0,1711	-0,0010
2	0,1721	100	10	0,115	0,1726	+0,0005
3	1,7210	6	9	0,146	1,7200	-0,0010
4	1,7210	100	16	1,150	1,7260	+0,0050
5	8,6050	6	14	5,730	8,6010	-0,0050
6	8,6050	100	24	5,740	8,6150	+0,0100
7	17,2100	6	16	11,480	17,2310	+0,0210
8	17,2100	100	20	11,460	17,2010	-0,0010
9	34,4200	6	25	22,940	34,4320	+0,0120
10	34,4200	100	35	22,930	34,4180	-0,0020
11	68,8400	6	40	45,860	68,8300	-0,0100
12	68,8400	100	65	45,900	68,8900	+0,0500
13	86,0500	6	70	57,360	86,0900	+0,0400
14	86,0500	100	120	57,360	86,0900	+0,0400

Сонракы тәдгигат заманы һава оксикенинин тә'сири өјрәнүлмүш вә мүәйҗән едилмишdir ки, 1 мг вә даһа аз никели һәчми перјодат үсүлу илә тә'јин едәркән һава оксикенинин оксидләшдиричи тә'сири әһәмијәтли дәрәчәдә бөйүк олур. Буна көрә дә һавапы кәнар етмәк зәрүидир. Һәмни мәгсәд үчүн мәһілуу үзәрнә Кип чиңазындан карбон газы бурахмагла вә ја натриум-һидрокарбонат дахил етмәклә һаваны кәнар етмәк ени дәрәчәдә мусбәт тә'сири көстәрир.

Анализ едилән мәһілуу 10 мл-дә никелин мигдары 1 мг-дан артыг олдугда, һава оксикенинин оксидләшдиричи тә'сири о гәдәр аздыр ки, ону нәзәрә алмамаг олар.

Никели һидропараперјодат шәклиндә чөкдүрдүкдән сонра чөкүнтүнү әф золаглы қағыздан вә ја 2—3 нөмрәли шүшә сүзкәч илә сүзмәк ени дәрәчәдә мүсбәт нәтичә верир.

Никел-һидропараперјодаты 2 н сулфат туршусунда һәлл етдицдән сонра бүтүн мәһілуун һәчминин јарысы гәдәр тиофендән тәмилзәнмиш бензол вә 1 мл 1 н калиум-јодид мәһілуу әлавә етмәк јахши нәтичә верир.

Жухарыда көстәрилән амилләр арашдырылыб мүәйҗән едилдицдән сонра, никелин макро-вә микромигдары бу гајда илә тә'јин едилмишdir: макро методла ишләдикдә тәркибиндә 2,5—17,2 мг никел олан 10 мл мәһілуу үзәрнә 10 мл 5%-ли аммониум-хлорид, 5 мл 2,5%-ли аммониум-әсаси мәһілуу төкүлүр. Гарышыбын үзәрнә һәчми 50 мл олунчаја гәдәр дистиллә едилмиш су төкүлүр вә 80—90° гыздырылыр.

Микро методла ишләдикдә исә тәркибиндә 0,034—2,5 мг никел олан 1 мл мәһілуу үзәрнә 0,5 мл 5%-ли аммониум-хлорид, 0,5 мл-дә 2,5%-ли аммониум-әсаси мәһілуу төкүлүр вә 80—90° гыздырылыр.

Макроанализ үчүн көтүрүлмүш мәһілуун үзәрнә 50 мл, микроанализ үчүн исә гарышыбын һәчми 10 мл олунчаја гәдәр калиум-перјодатын 0,022 молјар гајнар мәһілуу төкүлүр вә 2—3 дәгигәдән сонра сузүлүр. Чөкүнту исти 3%-ли натриум-асетат мәһілуу илә (јума тамамлығы јодометрик үсул илә јохланылыр) јујулур. Алынан чөкүнту сүзкәчин үстүндә макроанализдә 30 мл, микроанализдә исә 20 мл 2 н сулфат туршусунда һәлл едилir.

1 мг-дан аз никел олдугда һава кәнар едилir; сонра да бензол, макроанализ үчүн 1 мл 1 н вә микроанализ үчүн 0,5 мл 1 н калиум-јодид мәһілуу төкүлүр. 10—15 санијә чалхаладыгдан сонра айран јод һәлл-едици лајы рәнкисизләшінчәје гәдәр мұнасиб гатылыглы натриум-тиосулфат мәһілуу илә титрләнір.

2-чи чәдвәл

Никелин макроперјодат үсүлу илә тә'јини

Сыра №-си	Никел көтүрүлмүш-дүр, мг-ла	Титрләнмәјэ сәрф олунмуш натриум-тиосулфатын мигдары, мг-ла $T=0,0228614$ $\text{Na}_2\text{S}_2\text{O}_3 \cdot 5\text{H}_2\text{O}$	Никел тапылмышдыр		Хәта	
			мг-ла	%-лә	мг-ла	%-лә
1	17,210	12,75	17,225	100,10	+0,005	+0,10
2	15,489	11,45	15,469	99,90	-0,020	-0,10
3	13,768	10,20	13,780	100,30	+0,012	+0,30
4	12,047	8,90	12,025	99,69	-0,022	-0,16
5	10,326	7,65	10,335	100,04	+0,009	+0,04
6	8,605	6,36	8,592	99,75	-0,026	-0,25
7	6,884	5,10	6,890	100,06	+0,006	+0,06
8	5,163	3,82	5,161	99,96	-0,038	-0,04
9	3,442	2,54	3,431	99,97	-0,064	-0,03

2-чи чәдвәлин 1-чи тәчрүбәсийдә никелин 17,21 мг-ы тәдгиг едилмиш вә алынан нәтичә дә әсасен дүзкүн олмушшур. Лакин тәэссүфлә гејд етмәк лазымдыр ки, 1-чи тәчрүбәни апараркән чөкүнтүнү 17—20 дәфә јумаг лазым кәлмишdir. Никелин мигдары артыг олдугда чөкүнтуни даһа чох јумаг лазым кәлир. Јалныз јума тамамлығынын кеч гуртармасы илә әлагәдар олараг 17,21 мг-дан артыг никел көтүрүлмәнишdir.

Гејд етмәк лазымдыр ки, никелин тәхминән 0,8 мг вә даңа аз мигдары үзәринә лазым гәдәр калиум-перјодатын 0,022 молјар гајнар мәһлүлүну әлавә етдицдән соңа гарышығы минимум 10—15 дәғигә гыздырычы үстүндө сахламаг вә вахташыры гыздырмаг лазымдыр.

Беләликлә, бүтүн мәһлүлүн һәчми 10 мл олмагла никелин минимум 0,034 мг-ны кифајет гәдәр дүзкүнлүклә тә'јин етмәк мүмкүндүр.

3-ЧУ ЧӘДВӘЛ

Никелин микроперјодат үсүлү илә тә'јини

Сыра №-сі	Никел көтүрүлмүш-дүр, мг-ла	Титрләймәж сәрф олунмуш натриум-тиосулфатын мигдары, мл-лә $T=0,00412304$ $\text{Na}_2\text{S}_2\text{O}_3 \cdot 5\text{H}_2\text{O}$	Никел тапылышы		Хәта	
			мг-ла	%-лә	мг-ла	%-лә
1	3,44200	14,125	3,442260	100,01	+0,000260	+0,01
2	1,72100	7,050	1,718000	99,83	-0,003000	-0,17
3	1,37680	5,645	1,375690	99,92	-0,001110	-0,08
4	1,03260	4,235	1,032060	99,93	-0,000540	-0,07
5	0,68840	2,825	0,688450	100,06	+0,000050	+0,06
6	0,34420	1,410	0,343620	99,83	-0,000580	-0,17
7	0,17120	0,705	0,171810	100,18	+0,000290	+0,18
8	0,13768	0,565	0,137690	100,01	+0,000010	+0,01
9	0,10326	0,425	0,103500	100,21	+0,000240	+0,21
10	0,06884	0,285	0,069350	100,70	+0,000560	+0,07
11	0,05163	0,210	0,051177	99,11	-0,000453	-0,89
12	0,03442	0,130	0,033630	97,71	-0,007900	-2,29

Методун тәсвири

10 мл-э гәдәр мәһлүлда 2,5 мг-дан 17,2 мг-а гәдәр никел олдугда, анализ едилән мәһлүлүн үстүнә 10 мл 5%-ли аммониум-хлорид, 5 мл 2,5%-ли аммониум-әсаси мәһлүлү тәкүб 50 мл-э гәдәр дистиллә едилмиш су әlavә едилүр вә 80—90° гыздырылып. Гарышығын үзәринә 50 мл гајнар 0,022 молјар калиум-перјодат мәһлүлү тәкүлүр, гарышдырылып вә сүзүлүр. 1 мл-э гәдәр мәһлүлда 0,034 мг-дан 2,5 мг-а гәдәр никел олдугда исә анализ едилән мәһлүлүн үстүнә 0,5 мл 5%-ли аммониум-хлорид, 0,5 мл 2,5%-ли аммониум-әсаси мәһлүлү тәкүлүр вә 80—90° гыздырылып. Гарышығын һәчми 10 мл олунчаја гәдәр үзәринә гајнар 0,022 молјар калиум-перјодат мәһлүлү тәкүлүр, гарышдырылып вә сүзүлүр. Чөкүнү 3%-ли натриум-асетат мәһлүлү илә јујулур (јума тамамалығы јодометрик үсүл илә јохланып). Чөкүнү 2 н сүлфат туршусунда һәлл едиләрәк үзәринә бензол вә калиум-јодид мәһлүлү әlavә едилүр вә натриум-тиосулфат илә титрләнир.

Нәтичә

1. Никел ионуну перјодат иону илә мигдары чөкдүрмәк мүмкүндүр. Алынан чөкүнү сабит тәркибә малик олуб никел-һидропараперјодата (Ni_2HJO_6) уйғын кәлир.

2. Мүәјјән едилмишдири ки, 1 мг-дан аз никел иону тәдгиг едилән заман һава оксикенинин оксидләшдиричи тә'сири чохдур. Буна көрә дә мәһлүлүн үзәринә карбон газы бурахмагла вә яңа натриум-һидрокарбонат әlavә етмәклә һаваны кәнар етмәк лазымдыр. Лакин 1 мг-дан артыг никел ионуну тә'јин едәркән һава оксикенинин оксидләшдиричи тә'сири о гәдәр аздыр ки, ону нәзәрә алмамаг олар.

3. Јујучу олмаг е'тибары илә 3%-ли натриум-асетатын исти мәһлүлүндөн истифадә етмәк олар.

4. Мүәјјән едилән үсүл илә 10 мл-дә $5,1 \cdot 10^{-5}$ г никели $\pm 0,9\%$ хәта илә тә'јин етмәк мүмкүндүр.

А. А. Вердизаде, Т. Д. Ализаде

Определение никеля периодатным методом

РЕЗЮМЕ

1. Нами выявлена возможность количественного осаждения иона никеля периодатом калия. Полученный осадок имеет постоянный состав гидропарапериодат никеля — Ni_2HJO_6 .

2. Так как при определении никеля меньше чем 1 мг влияние кислорода воздуха велико, необходимо удалить его пропусканием в раствор углекислого газа или прибавлением бикарбоната натрия. Однако при определении больше чем 1 мг никеля, влияние кислорода воздуха незначительно, почему им можно пренебречь.

3. В качестве промывной жидкости следует использовать 3%-ный раствор ацетата натрия.

4. По разработанному способу можно определить $5,1 \cdot 10^{-5}$ г никеля в 10 мл раствора с $\pm 0,9\%$ ошибки.

ИНЖЕНЕРНАЯ ГЕОЛОГИЯ

Ф. С. АЛИЕВ, А. А. ГУСЕЙНОВА

ИНЖЕНЕРНО-ГЕОЛОГИЧЕСКИЕ ОСОБЕННОСТИ
ХВАЛЫНСКИХ ГЛИН ДНА КАСПИЯ РАЙОНА ОБЛИВНОЙ-МОРЕ
В СВЯЗИ С УСЛОВИЯМИ ИХ ФОРМИРОВАНИЯ

(Представлено академиком АН Азербайджанской ССР Ш. Ф. Мехтиевым)

Бакинский архипелаг таит в своих недрах незаурядные богатства нефти и газа. Поиски и разведка последних в пределах акватории обусловливают инженерно-геологическое изучение грунтов дна. В связи с этим Институтом „Гипроморнефть“ в районе о. Обливной-море были пробурены 2 скважины с глубиной забоя 30 м каждая. Отобранный при этом керновый материал* был изучен в Институте геологии им. И. М. Губкина Академии наук Азербайджанской ССР и в Институте „Гипроморнефть“ СНХ Азербайджанской ССР.

Исследованию подверглись вскрытые бурением глины средней части хвалынского яруса. Макроскопически это серые и белесовато-серые глины, реагирующие при воздействии на них раствором HCl. Они содержат раковины *Didacna trigonoides* Pall., *Didacna praetrigonoides* Na1. aff. *parallela* Bog. и др.

В соответствии с классификацией В. В. Охотина, все изученные образцы выражены глинами, глинистая фракция в них изменяется от 33 до 52% с тенденцией к возрастанию по мере увеличения глубины залегания пород (табл. 1). Все они содержат карбонат кальция, среднее содержание которого равно 18,6%. Главными породообразующими минералами в них являются полевые шпаты (плагиоклаз, ортоклаз и микроклин), реже встречаются кварц и обломки пород. В тяжелой фракции в значительном количестве отмечены мусковит, биотит и минералы группы эпидота. В аутигенном комплексе встречены пирит, ангидрид и глауконит.

Глинистая фракция пород изучалась методом окрашивания органическими красителями и термическими исследованиями. Из термограмм (рис. 1) видно, что эндотермические остановки 120—140° и 540—550° говорят о наличии гидрослюд, остановки 800—810° характерны монтмориллониту. Экзотермический эффект 900—905° указывает перекристаллизацию аморфных новообразований. Результаты окрашивания глинистых суспензий подтверждают данные термических

* При извлечении из скважин керны парафинировались для сохранения их естественной влажности и структуры.

исследований. Таким образом, основным породообразующим глинистым минералом хвалынских глин служит гидрослюдя, характерная диагенетическая осадкам Среднего и Южного Каспия [1, 7].

Таблица 1

№ скв. и обр.	Глубина взятия образца, м	Гранулометрический состав, м.м/%				
		0,25—0,05	0,05—0,01	0,01—0,005	0,005—0,001	<0,001
172—1	10—13	5,20	38,54	12,86	31,54	11,86
172—2	13—16	8,61	46,22	13,27	24,01	7,89
172—3	18—21	0,55	28,02	15,07	33,84	22,52
172—4	22—25	1,49	23,45	17,02	37,03	21,01
172—5	27—30	2,62	27,24	15,39	36,75	18,00
173—1	10—12	28,61	14,80	6,51	24,57	25,51
173—2	14—17	2,60	19,15	13,76	34,81	29,68
173—3	23—26	2,28	29,85	13,44	30,34	24,09
173—4	28—30	2,50	22,89	17,25	37,83	19,53

Изучение C_{org} , по И. В. Тюрину, показало, что его содержание вниз по разрезам скважин уменьшается от 1,34 до 0,34%. Выражение C/N , показывающее степень разложения органического вещества, с увеличением глубины залегания пород также уменьшается, чего нельзя отметить в отношении распределения азота по разрезам скважин (табл. 2). Такие условия, по-видимому, затрудняют развитие битумообразовательных процессов в хвалынских глинах [2].

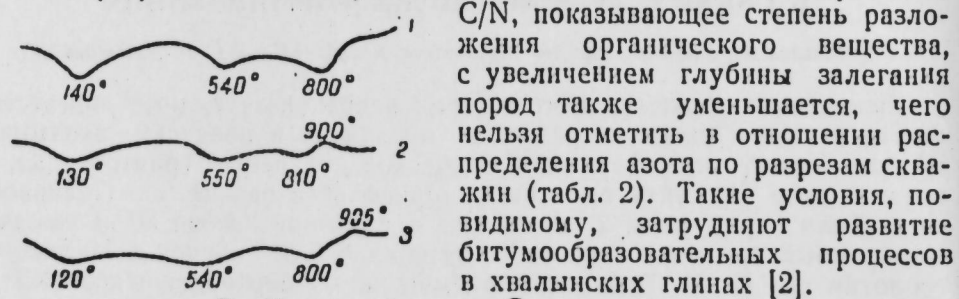


Рис. 1
Кривые нагревания образцов из скв. 172:
1—обр. 2; 2—обр. 3; 3—обр. 4.

Содержание карбоната кальция, определенного объемным способом по И. А. Преображенскому, изменяется в незначительных пределах с тенденцией количественного уменьшения по мере увеличения глубины залегания пород (табл. 2). Физико-химические показатели pH и Eh наряду с содержанием пород карбоната кальция указывают щелочные и слабощелочные условия среды их залегания.

Таблица 2

№ скв. и обр.	$CaCO_3$, %	$C_{org}.$, %	N, %	C/N	pH	Eh , mv
172—1	20,4	1,22	0,04	30,5	7,8	+45
172—2	16,5	0,96	0,07	13,6	7,6	+95
172—3	14,1	0,56	0,09	6,2	7,8	+64
172—4	17,2	0,74	0,10	7,4	7,9	+76
172—5	18,0	0,35	0,04	8,7	7,2	+60
173—1	19,3	0,34	0,09	11,0	8,1	+42
173—2	15,8	0,66	0,06	14,3	7,6	+39
173—3	16,4	0,50	0,09	5,6	7,4	+15
173—4	11,2	0,34	0,05	6,8	7,5	+28

Хвалынские глины представляют комбинацию из твердой, жидкой и газовой фаз, объединенных системой подвижных равновесий. Наличие этих фаз хорошо прослеживается по характеристике физических свойств и состоянию пород.

Объемный вес глинистых пород в среднем равен $1,96 \pm 0,09$ г/см³. С увеличением глубины залегания пород значения объемного веса уменьшаются. Удельный вес глини почти одинаков, колебания его происходят в небольших пределах $-2,75 \pm 0,01$, что указывает единственный источник питания. Естественная влажность пород изменяется от 21,0 до 33,4%. Сопоставление значений пределов пластичности и естественной влажности пород (табл. 3) показывает, что последняя меньше влажности на пределе текучести и больше влажности на пределе

Таблица 3

№ скв. II обр.	Влажность, %	Объемный вес, г/см ³	Удельный вес, г/см ³	Пористость, %	Коэффициент пористости	Коэффициент уплотненности	Степень сжатия, %	Коэффициент водонасыщен.	Пластичность		
									Верхний предел	Нижний предел	Число пластичности
172—1	25,1	2,02	2,76	41,7	0,715	0,88	20,2	0,97	0,07	41,6	23,8
172—2	25,2	2,00	2,75	41,8	0,718	0,79	16,2	0,96	0,12	37,5	23,1
172—3	30,8	1,02	2,76	46,7	0,876	0,54	11,9	0,95	0,41	40,9	14,4
172—4	33,7	1,89	2,76	48,9	0,957	0,36	8,5	0,98	0,58	41,4	17,2
172—5	32,7	1,91	2,75	47,6	0,908	0,51	12,0	1,00	0,47	42,6	18,7
173—1	21,0	2,05	2,74	36,5	0,575	0,84	20,0	1,00	0,16	35,4	17,3
173—2	29,2	1,96	2,75	44,7	0,808	0,50	10,0	0,96	0,38	40,6	22,2
173—3	28,3	1,68	2,76	44,2	0,792	0,55	13,0	0,97	0,44	38,3	20,5
173—4	33,4	1,89	2,76	48,5	0,942	0,51	12,9	0,98	0,45	44,7	20,5

пластичности (рис. 2). Из этого следует, что при сушке хвалынских глин протекают необратимые процессы коагуляции и старения коллоидов, в значительной степени изменяющие свойства последних. В естественно-влажном состоянии грунты находятся в пластичном состоянии, о чем свидетельствуют их показатели консистенции. Это подтверждается и значениями коэффициента уплотненности, по В. А. Приклонскому, который изменяется в пределах 0,36—0,88. В то же время показатель сжатия, по В. А. Приклонскому [4], изменяется от 8 до 22%, что наряду с коэффициентом K_a характеризует среднеуплотненное состояние хвалынских глин. Как показывают коэффициенты водонасыщенности, при извлечении образцов из скважин происходит газо- и паровыделение, несколько снижающее первоначальное значение естественной влажности.

Определение сопротивления грунтов сдвигу показало, что углы внутреннего трения пород с увеличением глубины их залегания уменьшаются, а силы сцепления изменяются в пределах 0,2—0,75 (табл. 4).

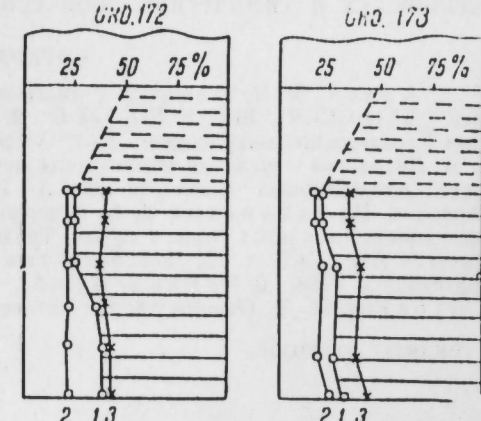


Рис. 2
Сопоставление естественной влажности с влажностью на пределах текучести и пластичности:
1—естественная влажность; 2—влажность на пределе пластичности; 3—влажность на пределе текучести.

Результаты испытаний на сдвиг хвалынских глин с учетом их условий залегания в естественно-влажном состоянии позволяют рекомендовать их в виде среды для крепления морских оснований сваями.

Изученные хвалынские глины характеризуют диагенетические процессы первой стадии, первоначальный этап, который выражен современными илами текучей консистенции (0–10 м). Следующий этап диагенетических изменений представляют залегающие в интервале

10–30 м хвалынские глины.

Таблица 4

№ скв. и обр.	Коэффи- циент сдвига	Угол сдвига	Сцепление, кг/см ²
172–1	0,37	20°19'	0,4
172–2	0,36	19°48'	0,2
172–3	0,31	17°13'	0,3
172–4	0,18	10°12'	0,4
172–5	0,18	10°12'	0,5
173–1	0,25	14°02'	0,5
173–2	0,20	11°19'	0,75
173–3	0,27	15°00'	0,45
173–4	0,20	11°19'	0,5

Они отличаются пластичной консистенцией, влажность их возрастает с глубиной в связи с увеличением пористости. Точно также изменяется содержание органического углерода. Физико-химическая обстановка создает условия для сохранения и формирования глинистых минералов групп гидрослюд и монтмориллонита. Главным фактором, обусловившим развитие процесса диагенеза глинистых пород, служит их дегидратация, в результате которой они освободились от рыхлосвязанной и частично от иммобилизованной воды. Это, в свою очередь, создает условия для формирования и укрепления структурных связей, определяемых по показателям пластичности, консистенции, прочности и упругости. Хвалынские глины в отличие от вышележащих илов уже характеризуются определенными связями, названными структурно-механическими [6]. Дальнейшее развитие диагенеза обусловлено изменением всех трех фаз под влиянием взаимодействия физико-химических, биологических физических и химических процессов.

ЛИТЕРАТУРА

- Алиев Ф. С. К вопросу о диагенезе глинистых пород Бакинского архипелага. «ДАН СССР», 1959, т. 127, № 6.
- Алиев Ф. С. О свойствах хвалынских глин Карадагского мелководья. «ДАН Азерб. ССР», 1961, т. 17, № 12.
- Пашалы Н. В. Литология и условия образования четвертичных отложений нефтеносных областей Азербайджана (докторск. дисс.) 1960. Фонд Азисуниверситета им. С. М. Кирова.
- Приклонский В. А. Комплексные показатели инженерно-геологических свойств глинистых горных пород. Труды Лаб. гидрогеологии им. Ф. П. Саваренского АН СССР, т. 15, 1957.
- Путкарадзе А. Л. Бакинский архипелаг. Азнефтениздат, 1958.
- Ребиндер П. А. Физико-химическая механика, М., 1958.
- Страхов Н. М. Основы теории литогенеза, т. II, Изд-во АН ССР, 1960.

Институт геологии

Поступило 26 I. 1963

Ф. С. Элиев, А. А. Ыусеинова

Хәзәр дәниси Обливијадасы рајонунда Хвалын килләринин мүһәндис-кеологи хүсусијәтләри вә онларын әмәләкәлмә шәранти илә әлагәси

ХУЛАС

Тәдгиг олуумуш Хвалын килләринде <0,005 мм фраксијасы 33–52% һүдудуна дәјишир. Онларын тәркибинде чөл шпатлары үстүн јер тутур. Әсас сүхурәмәләкәтиричи кил минераллар һидромикалар-

дан вә яз дәрәчәдә монтмориллонитдән ибарәтдир. Килләрдә С_{узв} дәринлик артдыгча азалыр, CaCO₃ да бу гајда илә дәјишир.

Хвалын килләри сәрт, дуру вә газ фазаларынан комбинасија тәшкүл едир. Бу фазаларын килләрдә олдуғуну онларын физики һал вә хассәләри йаҳшы сүбут едир. Дәринлик артдыгча килләрин дахили сүртүмә бучагы азалыр.

Әյрәнилмиш Хвалын килләри диакенез мәріләсінин икничи этапыны характеризә едир. Кил сүхурларын диакенез просесинин икнишафында әсас амилләриндән бири онларын деңидратлашмасыдыр. Бу да структур әлагәләрин ярамасына вә сахланмасына шәрант ярадыр. Диакенезин сөиракы икнишафы физики-кимјәви, биологи, физики вә кимјәви просесләри тә'сир иәтичәсінде бу үч фазаның дәнишмәсі илә әлагәләрдир.

ЛИТОЛОГИЯ

Д. Д. МАЗАНОВ, А. Г. СЕИДОВ

**ЛИТОЛОГО-МИНЕРАЛОГИЧЕСКАЯ ХАРАКТЕРИСТИКА
ГЛИНИСТЫХ СЛАНЦЕВ ЮРЫ ЮЖНОГО СКЛОНА БОЛЬШОГО
КАВКАЗА (БЕЛАКАНЧАЙ И ЕЛИСУ)**

(Представлено академиком АН Азербайджанской ССР А. Д. Султановым)

В геологическом строении района принимают участие отложения различного возраста. Среди них выделяются породы юрского, мелового, третичного и четвертичного возрастов. Породы юрской системы указанной области мощностью до 6 км и выше в большинстве случаев интенсивно метаморфизованы (различные типы слюдистых, кварцево-полевошпатовых, серицито-хлоритовых сланцев) и только на юго-восточном погружении Большого Кавказа и восточнее от меридиана, проходящего через г. Дибран, эти породы постепенно переходят в неметаморфизованные или слабометаморфизованные глины (аргиллиты).

В зоне южного склона, расположенной в верховьях р. Белаканчай, Мазымчай и Курмухчай, т. е. в пределах Водораздельного гребня, отложения нижней юры (таор), известные под названием ховской свиты, сложены глубоко-метаморфизованными терригенными глинистыми и песчаными породами.

Они пронизаны пластовыми и секущими телами диабазов, габбро-диабазов, диоритов и под влиянием диабазовой магмы нередко превращены в экзоконтакте в адинолы и спилозиты. Указанный комплекс вверху нормального разреза сменяется менее метаморфизованными глинистыми породами средней юры (аален, байос), чередующимися с известковистыми, кремнисто-известковистыми и известковисто-кремнисто-хлорито-серицитовыми кварцево-полевошпатовыми песчаниками. Они смяты в складки юго-восточного или почти субширотного простирания [1].

Глинистые сланцы юрских отложений отмеченных районов до настоящего времени почти не были исследованы [2]. Ввиду сильной степени метаморфизации и обогащенности органическими компонентами и пиритом, юрские отложения Азербайджана трудно подаются исследованию. При этом следует отметить, что существующий метод отмучивания не дает возможности выделить из этих пород тонкодисперсные глинистые частицы, <0,001 мм. С целью выяснения минералогического состава глинистых сланцев юрских отложений, образ-

цы из разреза Белаканчай и Елису подвергались комплексному изучению: минералогическому (в шлифах и в иммерсии) термическому, химическому, электронномикроскопическому, спектрофотометрированию.

Микроскопические исследования

Под микроскопом структура глинистых сланцев алевропелитовая, текстура полосчатая или слоистая, они сложены из тонко-измельченного кварц-полевошпатового агрегата и глинисто-силикатной массы на фоне которой видны листочки и лейсты серицита, реже хлорита. Листочки серицита оптически ориентированы одинаково и при вращении столика микроскопа погасают и просветляются одновременно. На плоскостях наслойния рудные минералы—пирит, лейкоксен. Участками имеются тонко-зернистые агрегаты грано-blastических зернышек кварца.

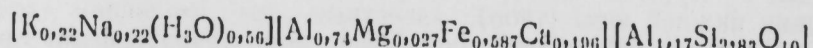
Размеры зерен кварца и полевых шпатов от $0,0185 \times 0,0185$ до $0,0025 \times 1110$ м.м.

Встречаются окатанные зерна кварца, углистые вещества, одиночные кристаллики циркона, апатита, сфена, эпидота, цоизита, есть выделения анкерита и пирита.

Химические исследования

Результаты химических исследований показали, что весовой состав этих глин (в количестве 6 образцов) характеризуется следующими компонентами: SiO_2 от 50,05 до 65,00%; Al_2O_3 от 16,3 до 24,81%; Fe_2O_3 от 6,5 до 11,6; CaO от 1,0 до 2,6; MgO от 1,2 до 2,00; MnO от 0,02 до 0,2; Na_2O до 1,55, K_2O от 2,35 до 3,55, SO_3 от 0,4 до 2,40, H_2O до 4,5. ППП от 3,6 до 6,5%. Пересчеты химических данных на кристаллохимические формулы дают возможность отнести их к минералам группы гидрослюд. При этом соотношение $\text{SiO}_2 \cdot \text{R}_2\text{O}_3$ в этих глинах обычно не превышает 3. Ниже приведены результаты пересчета химического состава.

Образец № 13.



Термические исследования. Проведенные термические анализы (рис. 1) показали, что необработанные HCl глинистые сланцы характеризуются наличием на кривых нагревания трех резко выраженных экзотермических эффектов при 250, 500°C, которые связаны с наличием органических веществ и пирита. На термокривой отмечено слабо выраженная эндотермическая остановка при 580 и 900°C.

Следует отметить, что наличие эндотермических эффектов здесь сильно затушевывается экзотермическими остановками.

Термограммы образцов, обработанных HCl и H_2O_2 глинистых сланцев характеризуются следующими эффектами: в интервале 100–120°C отмечается первая низко-температурная эндотермическая остановка, связанная с наличием адсорбционной воды. При температуре 400°C наблюдается экзотермический пик, связанный с горением органических веществ. Характерно также присутствие эндотермического эффекта при 550–600°C, обусловленного освобождением OH воды решетки (воды конституционного типа), что свойственно глинистым минералам гидрослюдистого типа. Наконец, в температурном интервале

850–900°C отмечается эндотермическая остановка, связанная разрушением глинистых минералов.

Окрашивание. Для окрашивания применялись следующие красители: метиленовый голубой (МГ) и МГ+KCl. Суспензия глинистых сланцев приобретала синий, сине-голубой цвета. Характер осадка изменяется от плотного до гелевидного. А в случае добавления KCl обычно цвет суспензии и характер осадка почти не изменяется.

Приведенные на (рис. 2) кривые спектрального поглощения суспензии показали, что все кривые образцов окрашенные МГ

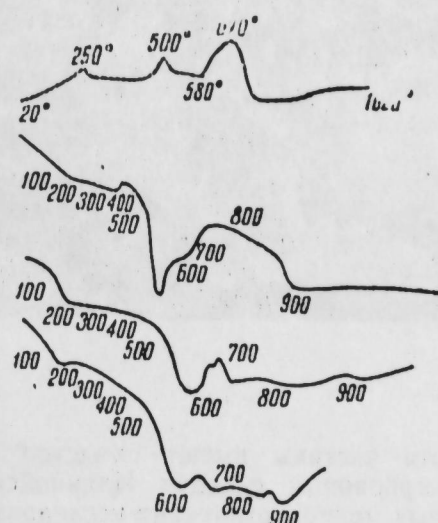


Рис. 1
Термограммы глинистых сланцев юрских отложений р-ра р. Белаканчай и Елису.

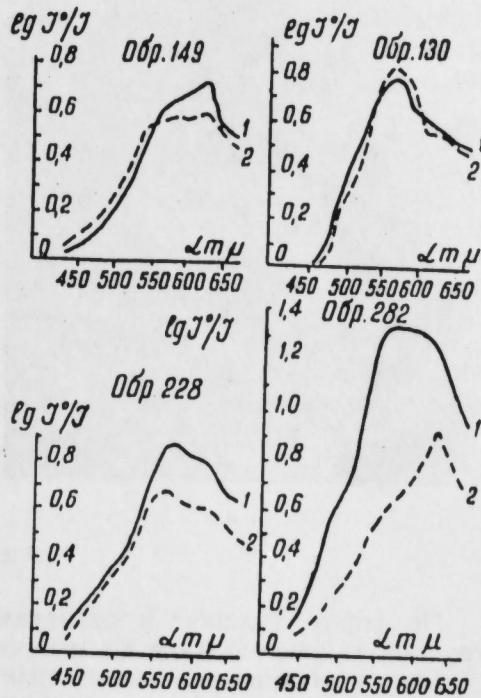


Рис. 2
Кривые спектрального поглощения глинистых сланцев юрских отложений:
1—кривые окрашивания метиленовым голубым (МГ); 2—кривые окрашивания МГ+KCl.

характеризуются коротковолновым максимумом в интервале 560–570 μ , указывающим на "дублетную" связь катиона МГ с поверхностью минерала.

Кривые МГ+KCl мало отличаются от кривых МГ и имеют еще ионные максимумы небольшой величины в пределах 610–630 μ у обр. 282 дублетный максимум переместился вправо и превратился в длинноволновый максимум в интервале 632 μ . Таким образом, по данным окрашивания исследованные образцы можно отнести к группе гидрослюд.

Электронно-микроскопические исследования

Как показали электронно-микроскопические исследования юрские глинистые сланцы состоят из довольно крупных удлиненных агрегатных форм с резкими очертаниями (рис. 3а) не характерных для минералов группы слюд.

С целью диспергирования, исследованные образцы были подвергнуты 35-минутному ультразвуковому облучению, в результате чего

была получена суспензия, которую исследовали под электронным микроскопом (рис. 3б).

Полученные снимки показывают, что частицы глинистых минералов, слагающие изученные породы состоят из угловатых пластинок изометрического или немного удлиненного габитуса с резкими очертаниями.

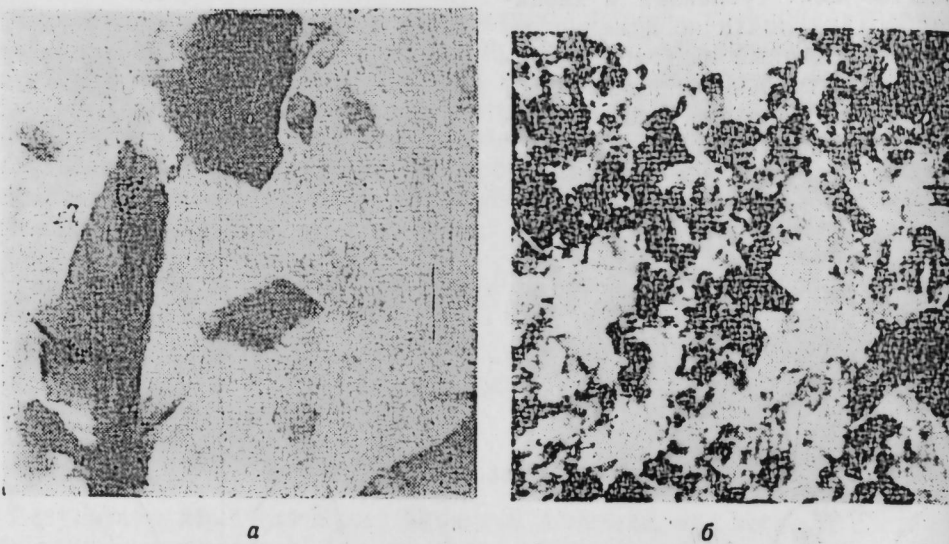


Рис. 3

По форме, толщине и размерам эти частицы имеют сходство с группой гидрослюд типа иллита из карбоновых сланцев Иллинойса.

Результаты проведенных комплексных минералогических исследований юрских глинистых сланцев дают основание считать, что образование глинистых минералов здесь происходило различными путями—принесом глинистых частиц в бассейн как в виде терригенных частиц, так и в коллоидном состоянии, в результате изменения на дне бассейна при диагенезе осадков и начальной метаморфизации пород, также изменением принесенных в бассейн глинистых и других минералов в минералы группы гидрослюд.

В глинистых сланцах юры минералы группы гидрослюд являются самыми распространенными и основными пордообразующими минералами.

Образование гидрослюд происходило также на дне бассейна, в результате изменения различных силикатных минералов (полевых шпатов, биотита, мусcovита и других железисто-магнезиальных силикатов пироксенов, амфиболов и др.). Это также подтверждается довольно скучной ассоциацией минералогического состава тяжелых фракций изученных глинистых сланцев, почти лишенных менее устойчивых представителей цветных компонентов.

В целом минералогический состав юрских отложений показывает, что они представлены ассоциацией терригенных и глинистых минералов геосинклинального типа.

ЛИТЕРАТУРА

1. Мазанов Д. Д. "Изв. АН Азерб. ССР", 1954, № 7.
2. Султанов А. Д., Сейдов А. Г. "Изв. АН Азерб. ССР", 1962, № 2.

Институт геологии

Ч. Ч. Мазанов, А. Г. Сейдов

Бөјүк Гафгазын чәнуб этәкләринин Жура килли шистләринин литологи-минераложи характеристикасы

ХУЛАСӘ

Көстәрилән раionун Жура јашлы килли шистләри хејли дәрәчәдә метаморфизм һадисәләrinә мә'ruz галдығындан, үзви компонентләр вә пирит илә зәнкүн олдуғуна көрә мөвчуд петрографик үсуllарла чох чәтииликлә өjrәнилир.

Һәмин сұхурларын минераложи тәркибини аждылаштырмаг үчүн микроскоп, термик вә кимjәви анализ, електрон микроскопу, спектрофотометр үсуllарындан истифадә едилемишdir.

Апарылан тәдгигатлар һәмин сұхурларын әсасән һидрослуда груп минералларынан тәшкил олундуғуны көстәрир. Террикен минераллардан исә кварс, чөл шпатлары, сиркон, апатит, сферен, епидот, сонзит вә с. тапылмыштыр.

Һидрослуда груп минераллары мұхтәлиф ѡолла, јә'ни минераллары дәнiz һөвзәсинә террикен һиссәчикләр вә һаллоид һалда кәлмәси, диакенезис вә метаморфизм һадисәси нәтижесинде әмәлә кәлмишиdir.

СТРАТИГРАФИЯ

Р. Н. МАМЕДЗАДЕ

СТРАТИГРАФИЧЕСКОЕ ПОДРАЗДЕЛЕНИЕ ВЕРХНЕСЕНОНСКИХ
ОТЛОЖЕНИЙ СЕВЕРО-ВОСТОЧНОЙ ЧАСТИ МАЛОГО КАВКАЗА
(МЕЖДУРЕЧЬЕ КОШКАРЧАЙ И ДЕБЕТЧАЙ)

(Представлено академиком АН Азербайджанской ССР К. А. Ализаде)

Верхнесенонские отложения имеют широкое распространение в изученной области.

Карбонатные отложения кампанского яруса выступают в самой предгорной полосе северо-восточной части Малого Кавказа, протягиваясь прерывистой полосой от р. Кошкарчай до р. Дебетчай, лишь в долине р. Акстафа отложения кампана уходят далеко на юг. Однородная карбонатная толща, развитая здесь, долгое время считалась целиком сенонаской и даже увязывалась воедино с верхним туроном. Лишь специальные стратиграфические исследования М. М. Алиева [1], В. П. Ренгартина [7] и др. позволили расчленить ее на отдельные ярусы.

При палеонтолого-стратиграфических исследованиях, проведенных в течение 1957—1961 гг. в междуречье Кошкарчай и Дебетчай нами собрана большая коллекция головоногих, иноцерамов, морских ежей и т. д.

Детальная обработка и изучение палеонтологического материала дала нам возможность подразделить отложения кампанского и маастрихтского ярусов на подъярусы, а в отдельных случаях даже на палеонтологические зоны.

Нижний кампан представлен белыми, светло-серыми плотными известняками с подчиненными прослойками мергелей и песчаников. В основании их часто наблюдается горизонт так называемых красных известняков, содержащих нижнекампанские иноцерамы и ежи. Переход от сантона к кампану во всех изученных пунктах можно считать вполне согласным и постепенным.

В отложениях нижнего кампана собраны *Inoceramus agdjakenensis* Aliev, *In. azerbaijanensis* Aliev., *In. balticus* Böhm, *In. convexus* H. et M., *In. pronus* Renng, *In. sarumensis* Woods, *Rhynchonella plicatilis* Sow., *Rh. octoplicata* Orb., *Terebratula carnea* Sow., *T. mobergi* Lundg., *Pseudofaster caucasicus* L. Drv., *Galeola senonensis* Orb., *G. papillosa* Klein, *Echinocorys ovatus* Leske, *Misraster schroederi* Stoll. и др.

Для определения возраста отложений, содержащих указанную фауну решающее значение имеют представители иглокожих, причем почти все они являются широко распространенными нижнекампанийскими формами. На нижний кампан указывают также находки *Inoceramus azerbaijanensis* Aliev, *In. sarumensis* Woods и *In. pronus* Renng.

Встреченные другие иноцерамы и все брахиоподы не противоречат нижнекампанию возрасту вмещающих отложений.

Отложения верхнего кампана представлены белыми, серовато-белыми пелитоморфными известняками с прослойми мергелей и заключают обычные для сантонса *Inoceramus balticus* Böhm., *In. inconstans* Woods, *In. regularis* Orb.

На г. Агад (Шамхорский район) они характеризуются наличием *Hoplitoplacenticeras coesfeldense* Schilt и соответствуют одноименной зоне верхнего кампана, выделенной К. Шлютером в Вестфалии [5] и хорошо представленной в Западной Европе, Скандинавии, Европейской части СССР и т. д.

Обнаруженный здесь же *Pachydiscus levyi* Gross. также является типичной верхнекампанийской формой Америки, Западной Европы, юга Европейской части СССР. В. П. Ренгарденом приводится как руководящий зональный вид верхнего кампана Малого Кавказа (7).

В Казахском районе, на г. Цингал верхний кампан содержит руководящий *Hoplitoplacenticeras* varl Schilt.

Маастрихтские отложения представлены белыми массивными сильно песчанистыми известняками трансгрессивно залегающими на кампанийских. Наличие в них разнообразной фауны позволяет легко расчленять маастрихт на нижний и верхний подъяруссы.

Нижний маастрихт содержит *Belemnitella langei* Schatsk., *In. caucasicus* Dobr., *In. pertenius* Meek, *In. salisburgensis* Fugg. et Kasth., *In. tegulatus* Hag., *Rhynchonella clensis* Popch., *Rh. octoplicata* Orb., *Rh. plicatilis* Sow., *Teredratula obesa* Sow., *Catopygus conformis* Desor, *C. irregularis* Smiser и др.

Для выделения отложений нижнего маастрихта изученной области важное значение имеет присутствие *Belemnitella langei* Schatsk. Этот вид в Поволжье, Донбассе, Крыму, на юго-востоке Европейской части Советского Союза характеризует отложения относящиеся к нижнему маастрихту. До последнего времени в западноевропейской литературе данный вид обычно не отличался от кампансской *Belemnitella micronata* Schloth. Такое же широкое понимание объема последнего вида давалось ранее при соответствующем определении белемнителл, собранных М. М. Алиевым, В. Е. Ханиным, Ш. А. Азизбековым в различных пунктах изученной территории.

Богатый фактический материал позволил нам отнести эти белемниты к *Belemnitella langei* Schatsk., как это было сделано несколько ранее В. П. Ренгарденом, выделившим здесь одноименную зону.

Отложения верхнего маастрихта отчетливо выделяются в 2 пунктах. На г. Агад в верхнем маастрихте удается установить 2 зоны. Зона *Belemnitella lanceolata* (Sinzow) принадлежит к нижней части верхнего маастрихта и палеонтологически хорошо охарактеризована. Здесь совместно с *Belemnitella lanceolata* (Sinzow) встречаются типично верхнемаастрихтские аммониты *Diplomoceras cylindraceum* Desr. var. *Ivovensis* Mich. и *Pseudokossmaticeras brandti* Redtenb.

Верхняя часть маастрихта характеризуется присутствием *Pachydiscus neubergicus* Haierg. соответствующим зоне *Belemnitella americana* Ark. (non Mort.) [6].

В бассейне р. Акстафа верхнемаастрихтские отложения сохранились на вершинах Донакриччал, Какиль и Джюльяллы.

В первых двух пунктах они выделяются благодаря наличию *Pachydiscus gollevilensis* Orb., характерной формы маастрихта Франции, Бельгии и СССР. На вершине Джюльяллы в них обнаружены *Pachydiscus gollevilensis* Binkh., широко известный из верхнего маастрихта Франции, Бельгии, Восточных Альп, Польши и юга Европейской части СССР.

Анализ обнаруженной фауны позволил составить приложенную к статье стратиграфическую схему верхнесенонских отложений изученной области.

Стратиграфическая схема верхнесенонских отложений междуречья⁸
Кошкарчай и Дебетчай

Ярусы	Отделы ярусов	Руководящие зональные виды	Сопровождающие виды
маастрихт	верхний	<i>Pachydiscus neubergicus</i> Haierg. <i>Belemnitella lanceolata</i> (Sinzow.)	<i>Diplomoceras cylindraceum</i> Desr. var. <i>Ivovensis</i> Mich., <i>Pachydiscus colligatus</i> Binkh., <i>P. gollevilensis</i> Orb., <i>Pseudokossmaticeras brandti</i> Redtenb.
	нижний	<i>Belemnitella langei</i> Schatsk.	<i>Inoceramus caucasicus</i> Dobr., <i>In. pertenius</i> Meek, <i>In. salisburgensis</i> Fugg. et Kasth., <i>In. tegulatus</i> Hag., <i>Rhynchonella clensis</i> Popch., <i>Rh. octoplicata</i> Orb., <i>Rh. plicatilis</i> Sow., <i>Catopygus conformis</i> Desor и др.
кампан	верхний	<i>Pachydiscus levyi</i> Gross, <i>Hoplitoplacenticeras coesfeldense</i> Schilt.	<i>Hoplitoplacenticeras</i> varl Schilt t., <i>Inoceramus balticus</i> Böhm., <i>In. inconstans</i> Woods и др.
	нижний	<i>Inoceramus azerbaijanensis</i> Aliev., <i>Micraster Schroederi</i> Stoll.	<i>Inoceramus agdjakendensts</i> Aliev., <i>In. azerbaijanensis</i> Aliev., <i>In. balticus</i> Böhm., <i>In. pronus</i> Renng., <i>In. sarumensis</i> Woods, <i>Rhynchonella plicatilis</i> Sow., <i>Rh. octoplicata</i> Orb., <i>Terebratula carnea</i> Sow., <i>T. obesa</i> Sow., <i>Pseudofaster caucasicus</i> L. Drue, <i>Galeola senonensis</i> Orb., <i>Echinocorys ovatus</i> Leske, <i>Micraster Schroederi</i> Stoll.

ЛИТЕРАТУРА

1. Алиев М. М. Иноцерамы меловых отложений северо-восточной части Малого Кавказа. Труды Геол. ин-та им. И. М. Губкина АзФАН СССР, № 12/63, 1939.
2. Алиев М. М., Халилов А. Г. Стратиграфия мезозойских отложений Азербайджана. Труды Ин-та геологии, т. XIX, 1958.
3. Аскеров Р. Б. О некоторых верхнесенонских морских ежах азербайджанской части Малого Кавказа. «ДАИ Азерб. ССР», 1962, т. XVIII, № 6.
4. Мамедзаде Р. Н. Fauna и стратиграфия верхнемеловых отложений северо-восточной части Малого Кавказа (междуречье Кошкарчай-Дебетчай). Автореф. канд. дис. Изд. АГУ, 1961.
5. Михайлов И. П. Верхнемеловые аммониты юга Европейской части СССР и их значение для зональной стратиграфии. Труды Ин-та геол., вып. 129, геол. сер., № 50, 1951.
6. Найдин Д. П. Верхнемеловые белемниты Западной Украины. Труды Моск. геол.-разв. ин-та им. Орджоникидзе, т. XXVII, 1952.
7. Ренгарден В. П. Стратиграфия меловых отложений Малого Кавказа. Регион. страт. СССР, т. VI, № 1, 1959.

Кичик Гафгазын шимал-шәрг һиссәсинин (Гошгар вә Дебет чајлаараасы саһә) Уст Сенон чөкүнтуләринин стратиграфик бөлүнмәси

ХҮЛАСӘ

Тәдгиг едилән саһәдә Уст Сенон чөкүнтуләри кениш јајылараг мұхтәлиф башыајгылар, иносерамлар, дәнис кирпиләри вә башга фауна галыгларына маликдир. Онларын өјрәнилмәси бу чөкүнтуләрин Кампан, Маастрихт мәртәбәләриниң ярыммәртәбәләре вә бә'зән палеонтологи зоналара бөлмәјә имкан верир.

Алт Кампан чөкүнтуләри сәчијәви дәнис кирпиләри вә иносерам фаунасына малик олуб, бүтүн саһәдә айрылып.

Уст Кампан чөкүнтуләри рәһбәр башыајгылар формалары—*Hoplitoplacenticeras coesfeldiense* Schlü t., *Pachydiscus levyi* Gross. вә башгалары илә сәчијәләнир.

Алт Маастрихт чөкүнтуләри *Belemnitella langei* Schatsk., Уст Маастрихт исә *Belemnitella lanceolata* (Sinzow), *Pachydiscus nebergicus* Нацег, *P. colligatus* Binkh. вә башгаларының олмасы илә сәчијәләнир.

СИСТЕМАТИКА РАСТЕНИЙ

Л. И. ПРИЛИПКО, А. Н. ЩЕРБАКОВ

**АДВЕНТИВНОЕ РАСТЕНИЕ АФРИКАНСКОГО ПРОИСХОЖДЕНИЯ
НА АПШЕРОНЕ—ГОМФОКАРПУС КУСТАРНИКОВЫЙ**

(Представлено академиком АН Азербайджанской ССР В. Р. Волобуевым)

Изучение адвентивных видов растений, чуждых по своему происхождению флоре Азербайджана и занесенных сюда человеком или другими путями из отдаленных или близких стран представляет большой интерес.

Наблюдения за проникновением и расселением заносных видов растений, изучение их происхождения, поведения в наших условиях имеет помимо научного интереса, также и большое практическое значение. Например, занос растений субтропического происхождения определяет и уточняет районы, пригодные для возделывания субтропических растений, указывает на потенциальные возможности культивирования субтропических растений с различными экологическими требованиями. Изучение адвентиков имеет большое служебное значение, особенно при выявлении новых пришельцев из состава сорной растительности, в целях принятия своевременных мер, предупреждающих расселение сорняков на территории республики. Среди адвентивных растений встречаются и полезные растения, заслуживающие внимания и использования, а возможно и введения в культуру.

В настоящее время количество адвентивных видов во флоре Азербайджана довольно значительно и она может быстрыми темпами увеличиваться за счет новых пришельцев, в интенсивно осваиваемых под сельское хозяйство районах.

В Азербайджане проникновение адвентивных элементов наиболее часто происходит в районах, интенсивно осваиваемых под сельскохозяйственные культуры, с развитой и развивающейся оросительной системой, в районах новостроек. В частности, Ленкоранская и Кура-Аракинская низменность являются территориями, благоприятствующими проникновению адвентивных растений.

Ярким примером инвазии субтропического пришельца в Азербайджане, происходящей в последние десятилетия, буквально на наших глазах, является расселение по низменным районам паспалюма пальчатого (*Paspalum digitaria* Poig.).

Из рода *Paspalum* в Азербайджане найдены еще два других заносных вида—*P. dilatatum* Poig. и *P. Thunbergii* Benth., которые в силу свойственных им биологических и экологических особенностей

не расселяются столь быстро как *P. digitaria* и их местонахождения ограничиваются пока сравнительно небольшими по площади островами. Все три вида *Paspalum*, по-видимому, занесены в Талыш из Черноморского побережья, куда они проникли раньше. В Талыше их появление связано с освоением Ленкоранской низменности и предгорий под культуру чая, и другие субтропические растения.

Давно вошли в состав флоры республики занесенные из Америки лаконос—*Phytolacca americana*, эригерон канадский—*Erigeron canadensis*. На Кура-Араксинской низменности изредка встречается на сорных местах и залежах мартиния—*Martynia Louisiana Mill.* с интересными крючковидно-рогатыми крупными плодами; это растение тоже занесено из Сев. Америки.

С другой стороны, встречаемость целого ряда обнаруженных недавно на чайных плантациях в Талыше адвентивных растений снижается и, эти виды, по-видимому, имеют тенденцию к исчезновению. Например, *Commelinia communis* (родом из Китая и Японии), индийское растение физалис—*Physalis angulata*.

В настоящей статье, нам представляется не безинтересным сообщить о нахождении на Апшероне одного африканского происхождения растения — гомфокарпуса кустарникового *Gomphocarpus fruticosus* (L.) R. Br., первоначально описанного из Эфиопии.

В настоящее время это растение распространено в Зап. и Вост. Средиземье, на Балканах и в Малой Азии; там же гомфокарпус встречается в культуре и легко дичает. Всего на земном шаре (главным образом в Африке) известно свыше 100 видов рода *Gomphocarpus*. В СССР известен в качестве заносного одичавшего растения на Кавказе и в Средней Азии (Ферганская область), один вид.

На Кавказе гомфокарпус кустарниковый широко распространялся в поймах многочисленных протоков Риона, в окрестностях г. Поти. Указание на нахождение его в Талыше ботаническими экспедициями последних лет не подтверждается. На Апшероне это растение было обнаружено впервые А. Н. Щербаковым в 1961 г. в гор. Сумгаите на участке с зелеными насаждениями. В 1962 г. хорошо перезимовавшие растения стали расти и развиваться. К осени 1962 г., выделяясь яркой зеленью своих побегов, достигли 1 м высоты; цветение обильное, плодоношение хорошее, вокруг кустов появился самосев. По свидетельству А. Н. Щербакова семена гомфокарпуса кустарникового случайно занесены в гор. Сумгаит вместе с торфом, привезенным из г. Поти в качестве удобрения для участков, предназначенных под зеленые насаждения. На этих участках гомфокарпус вырос из семян и обнаруживает хороший рост и развитие, несмотря на засоленность почвы участка и наличие в воздухе вредного газа с близкайших производственных предприятий.

Представляет интерес наблюдать дальнейшее поведение африканского адвентика в условиях сухих субтропиков Апшерона.

Стебли гомфокарпуса богаты волокном, а длинные белые шелковистые хохолки, развивающиеся на семенах, используются в качестве набивочного материала. Это растение имеет также медицинское значение.

Гербарный образец гомфокарпуса кустарникового из Сумгаита хранится в Гербарии Института ботаники АН Азербайджанской ССР.

ЛИТЕРАТУРА

1. Абдуев Н. Р. Мил дүзү шәрәнтиндә шорлашмыш саһәләрин динамикасы. Изв. АН Азерб. ССР, 1962, № 1, 2, Абдулрагимов Т. И., Нурапаров М. С. Некоторые результаты промывки засоленных земель в Кура-Араксинской низменности

Журнал гидротехники и мелиорации, 1958, № 12. 3. Бибарсова А. Ш. Опреснение мелиорированных земель северной Мугани. Соц. с.-х. Азербайджана, 1961, № 9. 4. Бибарсова А. Ш. Динамика засоления в условиях пролювиально-делювиальной равнины Южной Мугани. Изд. АН Азерб. ССР. 1962. 5. Волобуев В. Р. Засоление почв в Азербайджане в естественно-историческом и мелиоративном освещении. Баку, 1948. 6. Султанов Ю. Г. Динамика засоления и сельскохозяйственное использование земель Кюркаракашлинского участка Сальянской степи. Соц. с.-х. Азербайджана, 1960, № 8. 7. Султанов Ю. Г. Некоторые данные об опреснении мелиорированных земель в Сальянской степи. ДАН Азерб. ССР, 1960, т. XVI, № 8. 8. Тюремков С. И. Почвенно-грунтовые условия южного участка Джадарханской опытной станции и его засоления. Краснодар, 1928.

Поступило 26 XI. 1962

Институт почвоведения и агрохимии
Институт ботаники

Л. И. Прилипко, А. Н. Щербаков

Абшеронда Африка мәншәли харичи битки—колвари гомфокарпус

ХУЛАСӘ

Өз мәншәли е'тибары илә Абшерон флорасына јад олан кәлмә битки нөвләринин өјрәнилмәсинин бөјүк әһәмијәти вардыр. Кәлмә елементләр әсас е'тибары илә кәнд тәсәррүфаты биткиләри бечәрилән раionlарда вә јени тикинти раionларында баш верир. Идијәдәк республика әразисиндә хејли мигдарда кәлмә битки нөвләринин олмасы мүәյҗән едилмишdir.

Мәгаләдә даňа бир кәлмәнин—*Gomphocarpus fruticosus* (L.) R. Br. Абшеронда тапылмасы наггында мә'лумат верилир. Һәмин битки мәншәли е'тибары илә Африкаја ишләр. ССРИ-дә јабаны һалда Гафгазда вә Орта Асијада мә'лум иди. Гафгазда гомфокарпус Рион чајы саһилиндә вә Поти әтрафында кениш јајылмышдыр. Абшеронда бу биткини Сумгајыт шәһәринин јашыл ағачлыгларында илк дәфә А. Н. Щербаков тапмышдыр. Күман едилир ки, тохум Потидән Сумгајыты күбрә кими истифадә едилмәк учун кәтирилән торфла бирликдә кәлмишdir. Битки 1962-чи илин гышыны јаҳшы кечирмиш, боју 1 м-э гәдәр галхмыш, чичәк ачмыш вә бол мејвә вермишdir. Гомфокарпус лиф верән вә дәрман биткисидир. Тохумундан түкләри (учаглары) долдурма кими истифадә олуңур.

БИТКИЛӘРИН АНАТОМИЈАСЫ

В. Х. ТУТАУГ, Ч. С. АБДУЛЛАЕВ

**ДАҒЛЫГ ГАРАБАҒ МЕШӘ ЗОНАСЫНДА КҮРЧҮ ПАЛЫДЫНЫН
(*QUERCUS IBERICA STEV.*) ЖАРПАГ МҮХТӘЛИФЛИИНӘ КӨРӘ
ФОРМАЛАРЫ ВӘ ЖАРПАГЛАРЫН АНАТОМИК ГУРУЛУШУ**

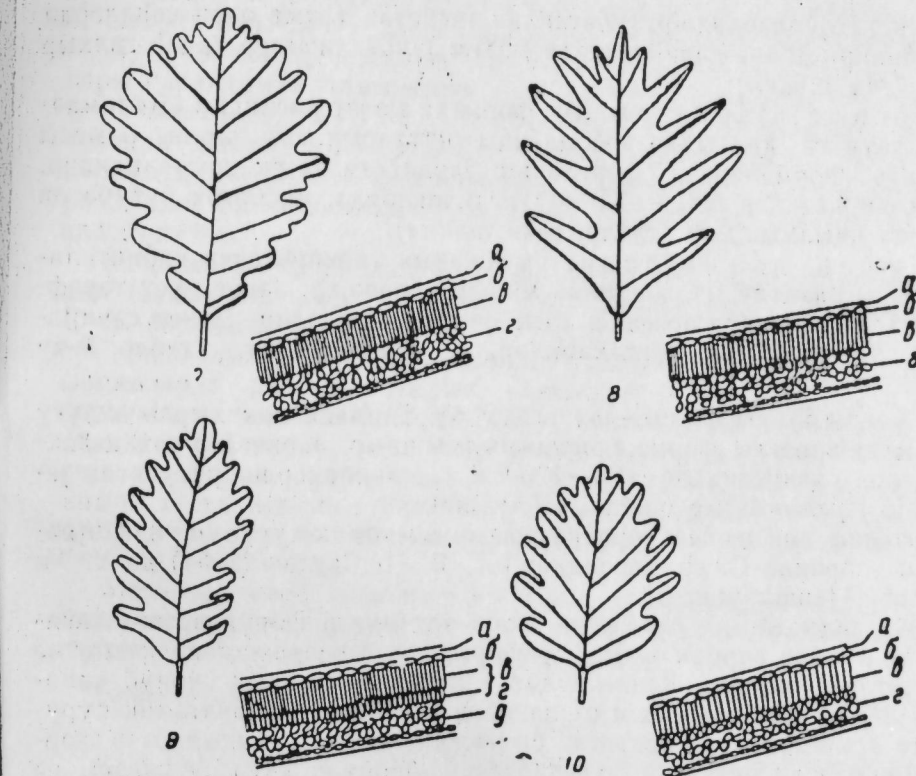
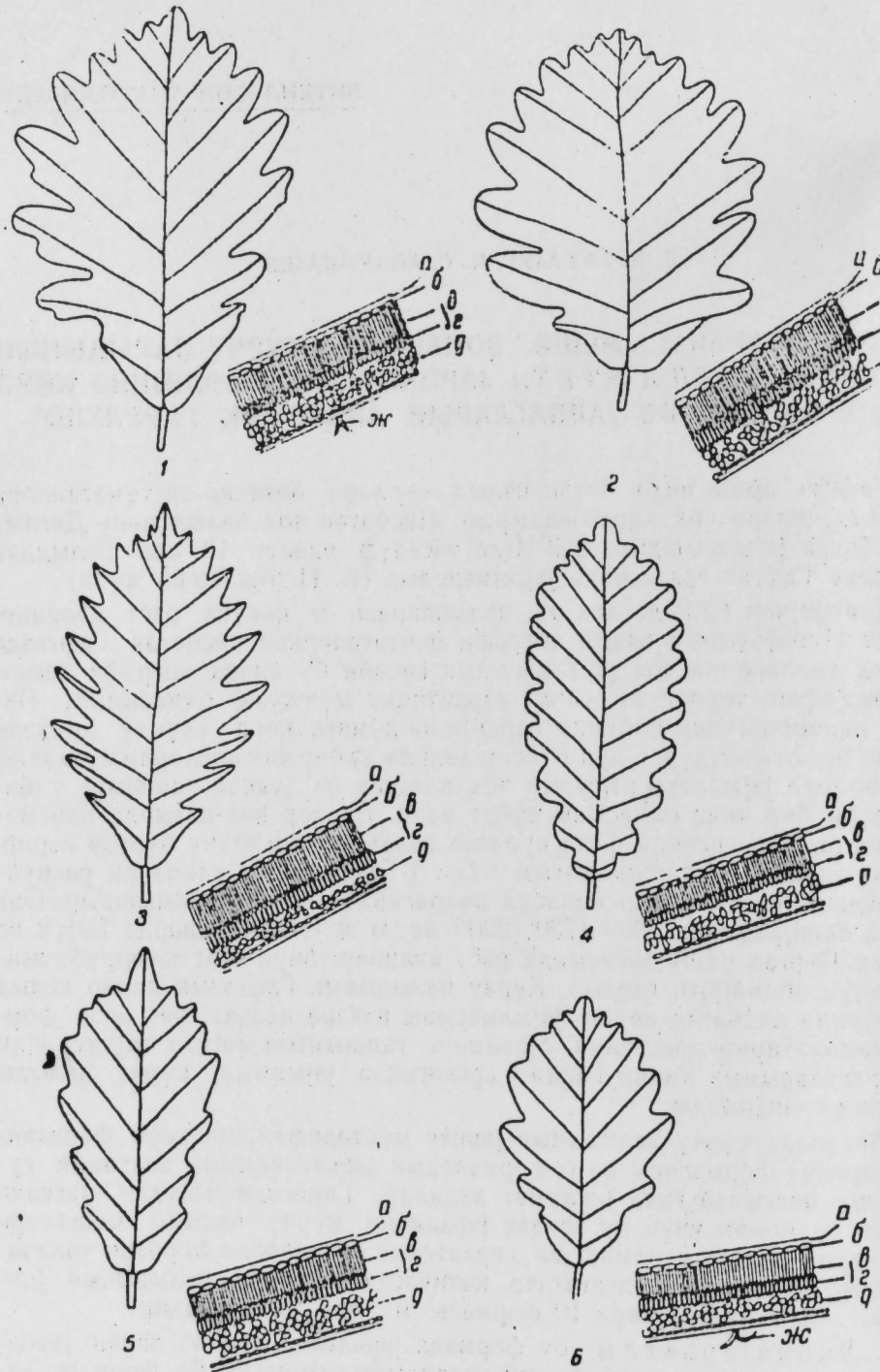
Гафгаз әразисинде битән палыд нөргөләри ботаник-систематикләри вә мешәчиләри чох марагландырыр. Нисбәтән чох палыд нөвү Дағлыг Гарабағда яјылмышдыр. ССРИ-дә тәсадүф едилән 19 нөв палыдан 16 нөвү Гафгаз әразисинде яјылмышдыр (В. П. Малејева көрә).

Азәрбајчан ССР-дә исә бу палылардан 9 нөвүнә раст кәлинир. Совет Иттифагынын башга чоғрафи мәнтәгәләринә нисбәтән Гафгазда палыд нөвләринин чох яјылмасынын сәбәби бу кичик чоғрафи әразидә релјефин, торпаг вә иглим шәрәнтинин мүхтәлиф олмасыдыр. Палыд палеоботаника елминин вердији мә'лумата көрә үчүнчү дөврдән галма битки нөвүдүр. Онуң мүасир дөврдә дә бир чох нөвләрлә мүхтәлиф әразиләрдә яјылмасы палыдын чох пластик вә јүксәк яшајыш габи-лийјәтли бир чинс олмасыны сүбүт едир. Бунлар һал-հазырда нөвәмәләкәтирмә просесинин фәал сурәтдә давамы кими өзүнү бүрүзә верир. Күрчү палыды (*Quercus iberica Stev.*) Гафгазда вә еләчә дә республикамызда бүтүн палыд нөвләри ичәрисинде ән чох яјылмышдыр. Она дәнис сәвијјәсендән 300—1700 (2000 метр) м јүксәкликләрдә Бөյүк вә Кичик Гафгаз мешә зонасында раст кәлинир; онун халг тәсәррүфатында бөյүк әһәмијјәти вардыр. Күрчү палыдынын Гафгазын дикәр палыд нөвләринә нисбәтән кениш яјылмасыны нәзәрә алараг, биз онда формамәмәләкәтирмә просесини өјрәнмәji гаршымыза мәгсәд гојдуг. Илк тәдгигатларымыз Кичик Гафгаз әразисинде яјылмыш күрчү палыды үзәриндә апарылды.

Мәгаләдә күрчү палыдынын жарпаг мүхтәлифлиинә көрә фәргләндирдијимиз формалары вә о формаларын жарпагларынын анатомик гурулушу нағында гыса мә'лumat верилир. Гарышда гојулан мәгсәди һәјата кечирмәк үчүн бу зонада яјылмыш күрчү палыды мешәләри кәзиләрәк тәдгигатларымыз күрчү палыдынын жарпаг мүхтәлифлиинә көрә 10 формасы мүэjjән едилмишdir:

1. Лапан жарпаглы—бу формада жарпаглар ири вә лапан жарпагына көрә лапанжарпаглы форма адландырылымышдыр. Бу формаја дәнис сәвијјәсендән 600—1500 м јүксәкликләрдә мешәнин сејрәк јерләрindә, нисбәтән гуру жамачларда раст кәлинир (табло, 1-чи шәкил).

2. Е и ли ј ариаглы—бу формада јарпаг ајалары чох енлиди. Ајанын тәпесинә јахын олан дилимләр гыса вә күтдүр. Ајанын јанладындакы дилимләр бә'зән јарымдаир формада олур. Бу форма да дәнииз сәвијјәсендән 1300—1600 м јүксәкликләрдә касыб торпагларда раст кәлинир (табло, 2-чи шәкил).



Табло

Күрчү палыдынын јарпаг морфолөкијасына көрә айрылмыш формаларынын типик јарпаглары.

1—лапанјарпаглы, 2—еилијарпаглы, 3—сивридилим јарпаглы, 4—шабалыд јарпагы, 5—сивритепә јарпаглы, 6—сыхјарпаглы, 7—тәрсјумуртавары јарпаглы, 8—кәсикаја јарпаглы, 9—дилиидилим јарпаглы, 10—хырдајарпаглы. а—кутикула гаты; б—епидермис; в, г—сүтунвары паренхим; д—сүнкәрвары паренхим; жк—түкчүкдүр.

3. Сивридилим јарпаглы—бу форманын дилимләри сиври олмагла ајанын орта һиссәсендә даһа узундур. Јарпаг гыса сивридилимә гуртарыр. Бу форма дәнииз сәвијјәсендән 800—1300 м јүксәкликләрдә јајылмышдыр (табло, 3-чу шәкил).

4. Шабалыд јарпаглы—бу форманын јарпаглары шабалыдын јарпагына чох охшајыр. Јарпаглар узунсов овал шәкилләди. Аја гыса күт дилимлә гуртарыр. Ајанын јанларындакы дилийләр јарымдаирәвидир. Бу форма да дәнииз сәвијјәсендән 1100 м јүксәкликләрдә раст кәлинир (табло, 4-чу шәкил).

5. Сивритепә јарпаглы—бу форманын јарпаглары сивридилимә гуртарыр. Јарпаглары нәзәрә чарпаачаг ләрәчәдә дикәр формаларын јарпагларындан фәргләнир. Јарпаглар узунсов овалшәкилләди. Јарпагын саплагла јахын һиссәси азча үрәкшәкилләди. Бу форманын јарпагынын саплаглары нисбәтән узундур. Дәнииз сәвијјәсендән 800—1400 м јүксәкликләрдә раст кәлир (табло, 5-чи шәкил).

6. Сыхјарпаглы—јарпаглар чох сых дүзүлмүшдүр. Јарпаг тәрс јумуртавары формададыр. Мешәнин галын јерләриндә јајылмышдыр. Дәнииз сәвијјәсендән 1600 м јүксәкликләрә гәдәр галхыр (табло, 6-чи шәкил).

7. Тәрсјумуртавары јарпаглы—јарпаглар тәрс јумуртавары формада олуб, назик дәрилләди. Аја гыса күт дилимлә тамамланајыр.

Мешәнин сых јөрләриндә рүтубәтлилек нисбәтән артыг олан саһәләрдә раст кәлинир. Дәнис сәвијәсендән 1200 м јүксәкликләрә гәдәр галхыр (табло, 7-чи шәкил).

8. Кәсик ајајарпаглы—бу формада ајалар кәсикдир. Дилемләри чох узун вә дилемләр арасындақы ојугларын чох дәрин олмасы илә башга формалардан фәргләнир. Јарпаглар назик дәричиләрдә. Дәнис сәвијәсендән 500—1400 м јүксәкликләрдә, нисбәтән рүтубәтли саһәләрдә јајылмышдыр (табло, 8-чи шәкил).

9. Дишли дилимјарпаглы—ајанын кәнары азча кириитиличыхынтылы олмагла, гысадиши мишара бәнзәјир. Јарпаг үст тәрәфдән түнд јашыл, алт тәрәфдән ачыг јашыл рәнкдәдир. Дәнис сәвијәсендән 300—1400 м јүксәкликләрдә јајылмышдыр (табло, 9-чу шәкил).

10. Хырдајарпаглы—јарпаглар бу формада чох хырда олдуғу үчүн хырдајарпаглы форма адландырылыштыр. Јарпаглар чох назикдир. Дәнис сәвијәсендән 600—1200 м јүксәкликләрдә, рүтубәтли йамачларда јајылмышдыр (табло, 10-чу шәкил).

Мұхтәлиф нәв палыд јарпагларынын анатомик гуруулушунун өјрәнилмәсі үзәриндә С. Н. Карапина [6], В. И. Саутин (1954) вә У. М. Ағамиров [1] ишләмишләр.

Күрчү палыдынын јариғына көрә айрылмыш формаларынын анатомик тәдгигини вермәк үчүн һәр формадан 10 јарпаг топланыш вә 70° спиртдә фиксасија едилмишdir. Јарпаглар ағачын чәнуб чәнегидән 3—4 м һүндүрлүкдән топланыштыр. Јарпағын анатомик гуруулушуну өјрәнмәк үчүн тәдгигат ен кәсикдә апарылыштыр. Һәр форманын ишыға вә рүтубәтә мұнасибәтини өјрәнмәк үчүн сүтунвары вә сүнкәрвары паренхимин гурулушу, алт вә үст епидермис, онун үзәрини өртән кутикула гаты, түкчүкләр вә с. нәзәрдән кечирилмишdir. Шүбәсиз ки, һәр бир айрылмыш форманын анатомик гуруулушун тәдгиги нәтижәсендә әлдә едилмиш көстәричиләр онун еколохи хүсусијәтини даһа айдан нұмајиши етдирир.

Күрчү палыдынын јарпаг мұхтәлифијинә көрә айрылмыш формаларын анатомик гуруулушунун көстәричиләри таблода верилир.

Таблода формалар ксерофиттән мезофиттә доғру дүзүлмүшдүр. Шәкилләрдә исә јарпаг аясынын ирилии нәзәрдә тутулараг бөյүкдән кичијә доғру јерләширилмишdir.

Таблодан көрүндүјү кими, енлијарпаглы формада (2-чи шәкил) јарпаглар даһа галындыр—213,6 μ, сүтунвары паренхим ики гатдыры, галындыр—117,8 μ, сүнкәрвары паренхим дә галын олуб 58 μ-дур. Анатомик гуруулушуна көрә бу јарпаг дикәр тәдгиг едилмиш формалара көрә ксерофитdir, ишыгсевәндир.

Хырдајарпаглы формада јарпаглар назикдир—129,8 μ, сүтунвары паренхим 58,1 μ олмагла бир гатдыры, сүнкәрвары паренхим (51,9 μ) назикдир (10-чу шәкил). Бу форма дикәр тәдгиг едилмиш формалара көрә мезоксероморф гурууша маликдир. Бу формада сүтунвары паренхимин бир гатдан ибарәт олмасы вә башга формалара көрә һәмин паренхим һүчејрәләринин узуннун енина нисбәтинин ашағы олмасы (7,92) онун көлкәжә давамлылығыны да сүбүт едир. Еләчә дә сүтунвары паренхимин башга формалара нисбәтән бу формада еңсиз олмасы (53,1 μ), кутикула гатынын назикили (2,0—2,1 μ) онун нисбәтән мезоморф бир палыд формасы олмасыны көстәрир. Йухарыда гејд едилди кими, бу форма рүтубәтли йамачларда раст кәлинир. Айрылмыш тәдгигатлар өјрәндіјимиз формалары еколохи хүсусијәтинә көрә ксероморфлар вә мезоксероморфлара айырмаға имкан верир.

I. Ксероморф груп. Бу група: 1) енлијарпаглы, 2) лапанјарпаглы,

3) сивридилим јарпаглы, 4) сивритәпә јарпаглы, 5) шабалыдјарпаглы, 6) сыхјарпаглы вә 7) дишлидилим јарпаглы формалар дахилдир.

Бу формаларда јарпағын үмуми галынлығы 151,3—213,6 μ, сүтунвары паренхимин галынлығы 70,7—117,8 μ, кутикуланын галынлығы үст епидермисдә 3—5,1 μ, үст епидермисин галынлығы 15—18,3 μ, сүтунвары паренхимин узуннун енина нисбәти 12,6—15,37, сүтунвары паренхимин јарпағын галынлығына нисбәти 0,47—0,55, сүтунвары паренхимин галынлығынын сүнкәрвары паренхимә нисбәти 1,35—2,03 арасынадыр.

Ксероморф формаларда јарпаг даһа галындыры, сүтунвары паренхим дахшы инишаф етмишdir, сых дүзүлмүшдүр, ики гатдыры вә с.

II. Мезоксероморф груп: Бу група: 1) хырдајарпаглы, 2) кәсик-ајајарпаглы, 3) тәрәсумуртавары јарпаглы формалар дахилдир. Бу формаларда јарпағын үмуми галынлығы 129,8—141,4 μ, сүтунвары паренхимин галынлығы 58,1—64,3 μ, кутикуланын галынлығы үст епидермисдә 2,1—2,8 μ, үст епидермисин галынлығы 13,9—14,2 μ, сүтунвары паренхимин галынлығынын јарпағын үмуми галынлығына нисбәти 0,41—0,45, сүтунвары паренхимин галынлығынын сүтунвары паренхимә нисбәти 1,02—1,27-дир.

Мезоксероморф формаларда јарпаг назикдир, сүтунвары паренхим бир гатдыры, гысадыр, сејрәк дүзүлмүшдүр вә с. Үмумијәтлә, күрчү палыды ксерофит палыд несаб едилә биләр.

Ботаника Институту

Алымышдыр 3. XII 1962

ЭДӘБИЈАТ

1. У. М. Ағамиров. Рано и поздно распускающиеся формы низменного (длинноножкового) дуба *Q. langipes* Stev в Карабахской степи. Труды Азерб. СХИ, IV, 1957.
2. У. М. Ағамиров. Формовое разнообразие низменного (длинноножкового) дуба (*Q. longipes* Stev) в Азербайджане и его значение для облесения и озеленения. Автореферат. Баку, 1961.
3. В. Н. Андреев. Гемологические ряды форм некоторых дубов. Труды по прикладной бот. генетике и селекции, т. VIII, вып. 2, 1927—1928.
4. А. Ц. Бандиин. Дубравы Азербайджанской ССР. Баку, 1954.
5. А. А. Гросгейм. Флора Кавказа, т. III, Баку, 1954.
6. С. Н. Карапина. Некоторые экологобиологические различия ранней и поздней расы дуба (*Q. robur* var. *praeceps* и var. *tardiflora*). Уч. зап. ЛГУ, 1951, № 143, серия биол. наук, вып. 30.
7. В. П. Малеев. Обзор дубов Кавказа в их систематических и географических отношениях и в связи с эволюцией группы—*Robur*. Сов. бот., 1935, т. 20, № 2—3.
8. Я. С. Медведев. Дубы Кавказа, Тифлис, 1908.
9. Д. Д. И. Сосновский. Критические заметки по дубам Кавказа. "Заметки по систематике и географии растений," 1940, вып. 9.

В. Х. Тутаюк, Ч. С. Абдуллаев

Формовое разнообразие и анатомическое строение листвьев грузинского дуба (*Quercus iberica* Stev.), произрастающего в горной Карабахской зоне

РЕЗЮМЕ

В результате исследования формового разнообразия грузинского дуба (*Q. iberica* Stev.), по различным микроклиматическим условиям в горной Карабахской зоне выявлено 10 форм, отличающихся внешней морфологией и гистологической структурой листвьев. Указанные формы разбиты на две экологические группы.

I группа—ксероморфы: широколистная, лопастнолистная, остролопастнолистная, остролистная, каштанолистная, густолистная и мелколистная.

II группа—мезоморфы: обратнояйцевиднолистная, рассеченнолистная и мелколистная.

Собранный и выявленный материал по формовому разнообразию грузинского дуба можно использовать для установления закономерностей формо-и видообразования дубов Закавказья.

РАСТЕНИЕВОДСТВО

М. А. МИКАИЛОВ

ВЕГЕТАТИВНОЕ РАЗМНОЖЕНИЕ СОЛОДКИ ГОЛОЙ

(*GLYCYRRHIZA GLABRA L.*)

(Представлено академиком АН Азербайджанской ССР И. К. Абдуллаевым)

Солодка, произрастающая в естественных условиях (зарослях) во многих низменных и предгорных районах Азербайджана имеет важное народнохозяйственное значение [6].

Корни солодки, дающие дубильное и пенообразующее вещество, являются ценным сырьем для ряда отраслей промышленности [1]. Перед исследователями стоят вопросы улучшения зарослей солодки, выявления ее новых мест произрастания, изучение вопросов размножения и др. [2].

Вопросы вегетативного размножения солодки корневыми и стеблевыми черенками в условиях Азербайджана пока что не изучены. У других видов технических растений—каучуконосов вопросы вегетативного размножения корневыми и стеблевыми черенками всесторонне разработаны [3, 4, 5].

Прежде чем изложить результаты заложенных нами опытов в 1961—1962 гг., по вегетативному размножению солодки, остановимся вкратце на материале исследования.

Зимой 1961 г. (декабрь) и весной 1962 г. (март) были выкопаны корни растения солодки голой, произраставшей в течение ряда лет на территории Бакинского ботанического сада Института ботаники АН Азербайджанской ССР. Очищенные и промытые от остатков земли корни солодки, при помощи острого секатора, срезались на черенки длиной 7—10 см. Заготовленные таким образом черенки солодки для укоренения высаживались на стеллажах в теплице в субстрате морского песка и апшеронской почвы тремя способами (вариантами). Число черенков 1 и 2 способов было—20, а 3—42—48. В первом способе черенки 2/3 своей длины высаживались вертикально, т. е. апикальная часть вверх, базальная вниз, а во втором—наоборот. В третьем способе черенки по 1 штуке горизонтально заделывались на глубину 2 см в обоих субстратах на стеллажах теплицы, а в почвах открытого грунта по 6 черенков в лунках при глубине заделки 2, 3, 4, 5 и 6 см. В условиях закрытого и открытого грунтов за черенками осуществлялся соответствующий агротехнический уход. В те-

чение 6 месяцев (с 14 марта по 6 сентября 1962 г.) вели учет и наблюдения за растениями солодки голой, выращенной из корневых черенков.

Теперь остановимся на результатах этих опытов.

Таблица 1
Влияние способов выращивания на укореняемость черенков солодки голой

№	Способы выращивания черенков	В теплице				В почве открытого грунта		
		В морском песке		В пищеваренной почве		Число черенков	Из них укоренились	
		Число всходов	Колич-	Число	Колич-			
1	Вертикальная посадка, т. е. апикальная часть черенка вверх, базальная—вниз	20	10	50,0	20	7	35,0	—
2	Вертикальная посадка, т. е. базальная часть черенка вверх, апикальная—вниз	20	7	35,0	20	4	20,0	—
3	Горизонтально-луночный посев черенков	20	10	80,0	20	17	85,0	228 188 82,8%

Из табл. 1 видно, что корневые черенки солодки способны рости нормально разраставшись при обоих способах посадки. Однако при нормальной посадке (апикальная часть черенков вверх, базальная—вниз) в обоих субстратах черенки дают на 15% больше укоренения, нежели черенки в этих же условиях, посаженные наборот (апикальная часть черенков вниз, базальная—вверх).

Из таблицы видно, что свойство полярности у корневых черенков солодки заметно нарушается. Растения, выращенные из черенка с нарушенной полярностью, в своем росте и развитии отстают от растений, выращенных из черенков при нормальной посадке.

Черенки, выращенные горизонтально-луночным способом посева (посадка) при глубине заделки 2—6 см, дают значительно больший процент укоренения (в морском песке 80%, в пищеваренной почве—83—85%), чем в этих же условиях при вертикальном способе посадки (20—50%).

Теперь остановимся на вопросе влияния глубины заделки черенков на получение их всходов, росте и развитии в почве открытого грунта.

Из табл. 2 видно, что черенки солодки голой, нормально укоренясь, выходят при различной глубине заделки (2, 3, 4, 5 и 6 см). При этом черенки начинают выходить на 30-й день со дня посева при глубине заделки 2—4 см, и на 40-й день—при 6—8 см. На 6-й месяц со дня посева число всходов (растения), выращенных из корневых черенков, при глубине заделки в 2—4 см были от 78,5 до 83,5%, в при глубине 6—8 см—75,0—80,5%. Причем, черенки в глубине наи-

большей заделки дают растения на 10—15 см меньшего роста надземных частей, чем растения, выращенные из черенков при сравнительно меньшей глубине заделки (2—4 см).

Растения, выращенные из черенков при 5—6 см заделки, в своем развитии на 60-й день не могли приступить к плодоношению. В то время растение из черенка при 2—4 см заделки за этот же срок уже бутонизировали и цветли. Следовательно, глубина заделки черенков

Таблица 2
Влияние глубины заделки черенков солодки голой на развитие растения

Прорастаемость че- ренков, рост и развитие растения	Число дней от по- сева до появления всходов	Число дней со дне- я появления 6 К. 1962	Из них всходили			Рост и разви- тие растения		
			Число всходов	Число черенков	Коли- чество	%	Максим. высота	Бутона- зация
Глубина заделки че- ренков, см								
2	30	142	42	35	83,3	50	10/VI	6/VII
3	•	•	42	33	78,5	53	10/VI	10/VII
4	•	•	48	40	83,5	45	25/VI	18/VII
5	40	132	48	36	75,0	38	—	—
6	•	•	48	43	80,5	35	—	—

на рост и развитие растения оказывает заметное влияние. Так, растения солодки, выращенные из черенка при 2 см заделки, приступают к бутонизации и цветению раньше, чем при 3 см на 4—6 день и при 4 см на 12—15 день. Таким образом, наилучшей глубиной заделки корневых черенков солодки голой следует считать глубину в пределах 2—4 см. В этом направлении необходимо продолжить исследования.

Выводы

1. Вегетативное размножение солодки голой корневыми черенками при зимнем и весеннем сроках, при различных способах выращивания, вполне возможно.

2. Черенки с нарушенной полярностью дают почти в 1—2 раза меньшее укоренение (20—35%), чем черенки при вертикальном (нормальном) и горизонтальном способах выращивания (35—89).

3. Наилучшим способом выращивания 7—10 см корневых черенков солодки голой следует считать горизонтально луночный, дающий 80—89% укоренения при 5—6 см черенках в лунке.

4. Черенки при глубине заделки в 2—4 см в почве открытого грунта выходят хорошо и растения при этом приступают к бутонизации и цветению раньше, растут быстрее, чем растения, выращенные из черенков при 6—8 см заделки.

5. В дальнейшем необходимо всесторонне разработать вопросы вегетативного размножения солодки голой и других ее видов корневыми и стеблевыми черенками.

ЛИТЕРАТУРА

1. Абдуллаев А. С. Исследование состава закавказских солодковых корней. Труды химических и ботанических институтов, т. II, вып. 5, 1947. 2. Михайлова М. А. Повышение исхождости семян солодки голой. ДАН Азерб. ССР, 1962, т. XVIII

№ 8. З. Микаилов М. А. Биология размножения камеденоносных астрагалов и их окультуривания в условиях Азербайджана. Изд. АН Азерб. ССР, 1957. 4. Микаилов М. А. Размножение гвяюл весенними черенками. „ДАН Азерб. ССР, 1948, т. IV, № 9. 5. Микаилов М. А. Способы вегетативного размножения Крымсагыза. „ДАН Азерб. ССР“, 1948, т. IV, № 10. 6. Сосновский Д. И. Материалы к ботаническому изучению солодки (*Glycyrrhiza glabra* в Азерб. ССР. Труды химических институтов, т. II, вып. V, 1947.

Институт ботаники

Поступило 23. XI 1962

М. Э. Микаильов

Түксүз бијанын векетатив чохалмасына даир

ХУЛАСЭ

Түксүз бијан Азәрбајҹанын бә’зи рајонларынын тәбии шәраитинде битән вә бејүк әһәмијәтә малик олан јени техники биткидир. Бијан биткисини мәдәни шәраитә мүвәффәгијәтлә көчүрмәк үчүн онун векетатив јолла чохалма мәсәләләрини өјрәнмәк лазымдыр.

1961—1962-чи илләрдән башлајараг, Азәрбајҹан ССР ЕА Нәбатат бағы ҹәһесинде чохдан инкишаф едән түксүз бијан колунун көкләри несабына мүхтәлиф үсулла векетатив чохалмасына торпаг дәринлигинин, гапалы вә ачыг торпаг, гум шәраитинин тә’сири өјрәнилмишdir.

Апарылан тәдгигатлардан ашағыдақы нәтичәни чыхармаг олар:

1. Мүәјјән едилмишdir ки, түксүз бијанын мүхтәлиф үсулларла көк гәләмләри (тинкләри) несабына векетатив чохалмасы гыш вә јаз вахтларында мүмкүндүр.

2. Гүтбијјәти позулмуш гәләмләр дикинә вә бејру үстә үсулларла бечәриләнләрдән демәк олар ки, 1—2 дәфә аз көк бағлајыр.

3. Эн јаҳши үсулла, јә’ни түксүз бијанын бејру үстә 7—10 см узунлугдакы көк гәләмләри һәр јувада 5—6 әдәд олмагла бечәрилдикдә 80—89%-ә гәдәр көк бағлајыр.

4. 2—4 см дәринликдә ачыг торпаг шәраитиндәки гәләмләрин несабына бечәрилмиш биткиләр 5—6 см дәринликдән алымыш биткиләрдән тез бој атыр, гөңчәләјир вә чичәкләјир.

5. Кәләчәкдә түксүз вә башга бијан нөвләринин көк гәләмләри несабына векетатив чохалма мәсәләләрини һәртәрәфли өјрәнмәк лазымдыр.

АЗӘРБАЙЧАН ССР ЕЛМЛӘР АКАДЕМИЈАСЫНЫН МӘРҮЗӘЛӘРИ
ДОКЛАДЫ АКАДЕМИИ НАУК АЗЕРБАЙДЖАНСКОЙ ССР

ТОМ XIX

№ 3.

1963

ВЕТЕРИНАРИЯ

М. И. ГАСАНОВ, М. А. ФЕЛЬДШТЕЙН, С. Н. МАРТЬЯНОВ

ПЕРВАЯ ПОМОЩЬ И ПРОФИЛАКТИКА ЗАБОЛЕВАНИЯ КОПЫТЕЦ У ПРОДУКТИВНЫХ ЖИВОТНЫХ В УСЛОВИЯХ ЖИВОТНОВОДЧЕСКИХ ХОЗЯИСТВ

(Представлено академиком АН Азербайджанской ССР Ф. А. Меликовым)

Значительное место среди заболеваний наружных органов у сельскохозяйственных животных занимают болезни конечностей. Это приводит к снижению продуктивности животных и нередко к их выбраковке, что наносит определенный экономический ущерб хозяйству.

Область пальца и копыт повреждается наиболее часто. У высокомолочных коров нередко в зимний период отмечается значительное отрастание и изменение нормальной формы копытец. Это приводит к возникновению различных гнойных заболеваний в самом копыте. Иногда также может иметь место повреждение сосков вымени отросшим рогом копытца при вставании животного.

Чрезмерное разрастание рога копытец вызывает появление трещин рогового башмака и заломов рога. Ограничиваются, подвижность животного, возникает хромота, уменьшается дача молока, животные худеют. Для предупреждения появления этих заболеваний у крупного рогатого скота необходимо производить регулярное обрезание отрастающих копытец не менее 2-х раз в год.

Для проведения правильного образования и расчистки отросшего или деформированного копытца необходимо иметь элементарные знания о его строении. Копытце заключает в себе копытцевидную кость, челночную, часть венечной, сухожилия сгибателя и разгибателя пальца и мягкие ткани, окруженные кожей, имеет сильно развитый роговой слой, являющийся защитным слоем кожи от повреждений. Его имеют роговым башмаком.

На нем различают подошву и мякиш. Под роговым башмаком располагается глубокий слой кожи, именуемый основой кожи, богатый сосудами и нервами. Следует помнить, что при расчистке копытца его повреждать нельзя во избежании занесения инфекции.

Обрезание копытец производится с помощью копытного ножа, копытных щипцов и рашпиля. При массовой обработке целесообразно использовать электрофрез. При обработке копытец животное необходимо фиксировать. Наиболее простой является фиксация конечностей веревкой, укрепленной в области путевого сустава. Фиксацию перед-

ней конечности производят веревкой, которая перекидывается через спину животного.

При обработке копытца задней конечности целесообразней одеть на область пута манжетку с кольцом и пропустить веревку через это кольцо.

У некоторых животных при запущенном копыте появляется многослойная подошва в результате чрезмерного возраста и напластования рога мякиша на подошву. Зацепная часть степени копытца становится пологой и удлиненной.

Производящий обрезание копытец должен сначала удалить рог мякиша, наплыvший на подошву, а затем удалить разросшийся рог подошвы и после этого обрезать подошвенный край роговой стенки.

Окончательная обработка копытца производится рашпилем. В случаях повреждения мягких частей копытца, необходимо смазать поврежденную часть настойкой йода, а затем наложить повязку, пропитанную дегтем.

Расчистка рога копытец свиней и овец проводится так же, как и овец и других животных. Однако следует помнить, что у свиней наружное копытце более развито. Поэтому нельзя подравнивать оба копытца так, чтобы после расчистки они имели одинаковую длину. Крупных свиней для обработки копыт фиксируют, одев петлю веревки за верхнюю челюсть. Веревку привязывают к столбу. Овец для обрезания копытца связывают.

Лучше проводить расчистку копытец свиней и овец перед выгоном их в лагеря и на пастбища, а затем при переводе животное на стойловое содержание. С точки зрения профилактики возможных заболеваний следует проводить каждые 3 месяца поголовный осмотр копытец и выделять животных с отросшим копытом для обработки. Проведя расчистку копытного рога следует помнить, что скорость роста его в среднем у крупного рогатого скота составляет 6–8 мм, у свиней и овец 5 мм, в месяц. Новый роговой башмак у всех животных полностью отрастает в течение года.

У сельскохозяйственных животных нередко появляются трещины стенки копытца. Возникновению их способствует в основном сухость рога.

Они появляются у результата ушибов и ранений в области венчика сдавливания копытца при наступлении на них другим животным.

В целях ликвидации и предупреждения трещин копытной стенки у свиней следует в теплое время года создать специальные бассейны для купания животных или же летний лагерь так, чтобы он привлекал к речке или какому-либо водоему с пологими берегами.

Наряду с трещинами и деформацией копытца, часто отмечается их ранение. Колотые раны вызываются внедрением гвоздей, проволоки и других предметов. В этих случаях животные внезапно начинают хромать. Установить место укола подчас бывает затруднительно, так как рана подошвы копыта бывает незначительной и загрязняется. Для обнаружения причины хромоты прежде всего необходимо тщательно обмыть копытце и копытным ножом снять небольшой тонкий слой загрязненного рога подошвы. После этого легче будет обнаружить рану. Затем следует обильно залить рану настойкой йода и наложить бинтовую повязку. В случае развития инфекции на 2–3 день хромота усиливается, копытце становится горячим, животное может отказываться от корма. В таких случаях производят расширение раневого канала путем вырывания копытным ножом рога по краям раны. Затем накладывают повязку, пропитанную касторовым маслом или

рыбьим жиром. При высокой общей температуре животного и угнетенном состоянии назначаются инъекции пенициллина.

Инородные тела довольно часто могут застревать в межкопытной щели у парнокопытных животных и повреждать ее. Повреждения межкопытной щели могут наноситься острыми пеньками вырубленного кустарника, а также высокими стеблями скошенных растений. При ранении межкопытной щели необходимо обмыть пальцем животного и смазать рану настойкой или 1%-ным раствором бриллиантовой зелени—зеленкой, что повторяется и в последующие 2–3 дня. При занесении инфекции в таких случаях возникает гнойное воспаление тканей копытца—панария, требующее длительного и хлопотливого лечения.

Предупреждая указанные заболевания у продуктивных животных необходимо помнить, что для нормальной функции и состояния копытца требуются регулярные выгулы животных как в стойловом так и при беспривязном их содержании.

Строгое соблюдение зоогигиенических правил содержания животных, своевременная профилактика заболеваний и осуществление первой помощи при них является одним из резервов увеличения продуктивности.

Институт ветеринарии

Поступило 25. IX 1962

М. И. Ыссанов, М. А. Фелдштеин, С. Н. Мартjanov

Малдарлыг тәсәррүфаты шәрантинде мәңсүлдар һөјвандарын дынаг хәстәлиji заманында ишләдилән профилактика вә илк јарым һагтында

ХУЛАСӘ

Шәррағи хәстәликләрин ичәрисинде иисбәтән тәсадүф едиән вә иттисади зијан верән хәстәликләрдән бири дә мәңсүлдар һөјвандарда тәсадүф едиән дынаг хәстәлијидир. Дынагын бујнуз тәбәгәсиини һәддиндән артыг узанмасы онун дынаг капсуласында чатлама әмәлә кәтиридији учун кет-кедә гопуб дүшмәсина сәбәб олур. Бу исә һөјванды ахсадыб суд мәңсүлдарлығыны ашағы дүшмәсина вә һөјванды арыгламасына сәбәб олур. Бунун гарышыны алмаг учун һәмин органын топографик анатомијасыны һәзәрә алмагла, ајры-ајры һөјван чинсләринин дынагларында профилактик тәдбири вә мүаличә апармаг лаъымдыр.

Бу мәгсәдлә дынагын тәмиәләнмәсиини бөյүк әһәмијәти варды. Дынагы тәмиәләјен заман әvvәлчә дынаг јумшаглығы тәбәгәсиини бујнуз һиссәси, соңра дынаг алтылығы бујнуз тәбәгәси, дынаг алтылығы бујнуз диварының кәнары тәмиәләнмәли вә ән ахырда рашил васитәсилә дынаг капсуласы һамарламалыдыр.

Дынаг хәстәликләринин олмамасындан өтү һөјвандар тиканлы, дашлы вә чынгыллы јерләрдә отарылмамалы вә вахтлы-вахтында онлар кәэдирилмәлидир.

Һөјвандарын зоокијена шәрантинин сахланылмасы, хәстәлијә гарышы олар профилактика вә мүаличә тәдбиrlәри вахтлы-вахтында вә чидди олараг һәјата кечириләрсә, онда дынаг хәстәлији ләғв-едиәләр вә һөјван да чох мәңсул верәр.

Р. А. АСКЕРОВ

ИННЕРВАЦИЯ ТРАХЕИ И БРОНХОВ У ҚОШКИ

Экспериментально-морфологическое исследование

(Представлено академиком АН Азербайджанской ССР М. А. Топчубашевым)

Проблема изучения иннервации дыхательных путей, в частности трахеи и бронхов, давно привлекала внимание многих исследователей—И. М. Якубович [8], А. К. Плошко [6], Эльфтман [9] и др. Однако только применение экспериментального метода способствовало успешному развитию учения об иннервации внутренних органов.

К экспериментальным исследованиям относятся работы В. М. Годинова [1], Г. И. Забусова [3], В. Ф. Лашкова [4], Ю. К. Елецкого [2] и др., изучавших источники иннервации и строение нервного аппарата легких.

Анализ литературы показывает недостаточную изученность иннервации различных гистологических структур стенки трахеи и бронхов. Наиболее слабо освещен вопрос об иннервации хрящевых пластинок.

Не менее важным для практики является вопрос о перекрестной иннервации внутренних органов. Знание проводников нервных импульсов позволяет учесть их для лучшего обезболивания и тем, чтобы прекратить доступ болезненным импульсам в центральную нервную систему.

Принимая во внимание недостаточность и разноречивость имеющихся данных о происхождении и функциональной принадлежности нервных проводников трахеи бронхов, равно как и отношении нервов к иннервируемому субстрату было предпринято настоящее исследование. Работа проводилась на кафедре нормальной анатомии (проф. К. А. Балакишиев) и кафедре патологической анатомии (проф. Д. Ю. Гусейнов).

Методика и результаты исследования

Эксперименты были проведены на 18 взрослых кошках. Под общим эфимерным наркозом была произведена перерезка блуждающих нервов (с одной и с двух сторон) у 6 животных; удаление звездчатых симпатических узлов (с одной и с двух сторон) у 5 животных и односторонняя и двусторонняя перерезка диафрагмальных нервов—б животных. У двух кошек производилась стеллэктомия с последую-

щей перерезкой и *vagus* с обеих сторон. В качестве контроля служили трахея и бронхи, взятые от двух неоперированных кошек. Жизненные забивались через 2—3 дня после операции. Полученный материал фиксировался в 15%-ном нейтральном формалине. Для исследования брались кусочки из средней трети, бифуркации трахеи а также из бронхов правого и левого легкого. После 3—6 недельной фиксации кусочки, взятые из указанных участков, серебрились по методу Бильшовского-Грос или Кампосу с последующей докрасной гематоксилином. Несколько кусочков были окрашены по способу Шпильмейра.

При изучении нервного аппарата трахеи и бронхов неоперированных животных мы получили данные, подтверждающие результаты исследований большинства авторов.

Нервные сплетения в стенке трахеи и бронхов образованы пучками мякотных и безмякотных волокон. Толстые нервные пучки, состоящие преимущественно из мякотных волокон, проходят из наружных слоев между хрящевыми кольцами к слизистой оболочке. Отдельные нервные пучки направляются к надхрящнице, покрывающей хрящевые кольца. От этих пучков отходят более тонкие нервные стволики, образующие в надхрящнице нервное сплетение. Тонкие нервные волокна проникают вглубь надхрящницы и заканчиваются древовидными разветвлениями. В некоторых случаях тонкие нервные волокна проходят вглубь хрящевой ткани. По ходу нервных пучков и в местах перекреста их располагаются нервные узелки и отдельные нейроны. Нервный узелок состоит из 3—8 нервных клеток, имеющих округлую или овальную форму. На некоторых ганглиозных клетках обнаруживается синаптический аппарат.

В подслизистом слое нервные пучки образуют густое сплетение. Пучки безмякотных нервных волокон, образующие компактные нервные пучки, характеризуются кабельным типом строения. Нервные стволики покрыты шванновской оболочкой. Шванновская оболочка отдельных нервных волокон анастомозирует между собой, образуя синцитий, содержащий тонкие осевые цилиндры. В шванновском синцитии, иногда вместе с тонкими безмякотными проходят и мякотные нервные волокна. Нервные волокна, отходящие от сплетения подходят к гладким мышцам и кровеносным сосудам, часть волокон сплетения направляется к железам. Тонкие нервные веточки прилегают к концевым отделам желез, в то время как другие нервные волокна заканчиваются в соединительнотканной прослойке между железами. В эпителии слизистой оболочки трахеи и бронхов встречаются многочисленные нервные волоконца. Часть из них идет от наружного сплетения, большая же часть берет начало из подслизистого нервного сплетения. Все эти волокна проникают в эпителий, где терминалные волоконца разветвляясь, охватывают большие территории и заканчиваются среди эпителиальных клеток свободно или небольшими утолщениями.

Опыты с перерезкой *n. vagus*

После перерезки блуждающих нервов во всех слоях стенки трахеи и бронхов обнаруживается значительное число перерожденных мякотных волокон крупного и среднего калибра. Осевые цилиндры большинства мякотных волокон фрагментированы, некоторые полностью распались; от них сохранились глыбки и зерна аргирофильного вещества. Местами, вследствие полного распада осевых цилиндров, видны лишь контуры шванновского синцития. Они имеют вид желтоватых тяжей, в которых обна-

руживаются единичные глыбки — следы распавшихся осевых цилиндров. При окраске, по Шильмейру, видны участки расплавления миелина.

Одновременно обнаруживались волокна в различных стадиях дегенерации. Наряду с фрагментированными встречаются и варикозно-утолщенные нервные волокна. Большое количество измененных нервных волокон отмечается на третий день после операции. Особенно глубоким структурным изменениям подвержен концевой аппарат.



Рис. 1
Бронх — справа. Перерождение мякотных нервных волокон, безмякотные — интактны. Через 48 ч после перерезки левого блуждающего нерва. Бильшовский-Грос. Микрофото. Об. 40, ок. 10.

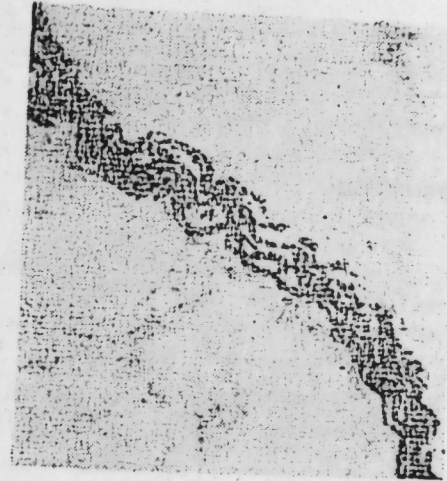


Рис. 2
Бронх — справа. Дегенерация нервных волокон в стволе, через 72 ч после удаления звездчатых узлов. Кампос. Микрофото. Об. 40, ок. 10.

Четкие картины перерождения обнаруживаются в области рецепторов с ограниченным характером ветвлений. Терминальные ветви становятся аргентофильными, сильно утолщаются и распадаются. В поздние сроки после операции они встречаются в виде скоплений аргентофильных глыбок. Синаптический аппарат на нервных клетках в большинстве случаев быстро разрушался, но наряду с этим обнаруживались неизмененные аппараты.

Большинство безмякотных нервных волокон после перерезки блуждающих нервов остается интактным.

Опыты с удалением звездчатых узлов.

Удаление звездчатых симпатических узлов ведет к деструкции тонких безмякотных и некоторого количества мякотных нервных волокон среднего калибра. Наряду с измененными нервными волокнами внутри протоплазматических тяжиков встречаются и неизмененные нервные волокна. Наиболее яркие картины дегенерации наблюдаются через двое суток после операции. В стенке трахеи и бронхов обнаруживаются многочисленные нервные волокна, осевые цилиндры которых сильно импрегнируются и имеют варикозности. На третий сутки после операции большинство нервных волокон фрагментировано. В некоторых случаях наблюдалось перерождение перицеллюлярного аппарата, выражющееся в огрубении, фрагментации и отрыве терминальных структур. Перерезка блуждающего нерва и удаление звездчатых узлов с одной стороны вела к массовому перерождению нерв-

ных волокон на своей стороне и перерождению части волокон на противоположной стороне.

При выключении блуждающих нервов с последующей стеллэктомией в трахее и бронхах наблюдались многочисленные дегенеративно измененные нервные волокна. Дегенерации подвергались мякотные, безмякотные нервные волокна, их окончания, а также синаптические аппараты интрамулярных ганглиев. Вместе с тем сохранялась незначительная часть неизмененных нервных волокон.

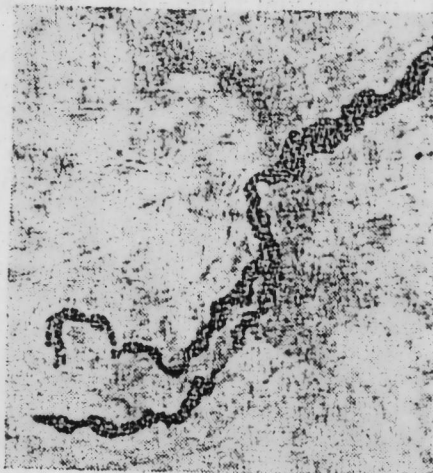


Рис. 3

Дегенерация афферентного окончания в стенке трахеи после двухсторонней перерезки блуждающего нерва. 48 ч после операции. Кампос.

Микрофото. Об. 90. ок. 10.

хов имеется развитый нервный аппарат. Последний представлен сплетениями из мякотных и безмякотных нервных волокон, нервными ганглиями и различного рода рецепторами. У ваготомированных животных наблюдалось массовое перерождение мякотных нервных волокон и компактных рецепторов. У этих же животных отмечается значительное число дегенерирующих нервных волокон в надхрящнице трахеи и бронхов. Однако перерезка блуждающих нервов никогда не вела к перерождению всех мякотных нервных волокон. Это следует объяснить тем фактом, что в иннервации принимают участие, по данным В. Ф. Лашкова [4], В. В. Куприянова [5], Ю. К. Елецкого [2]. спинальные проводники, идущие через симпатические узлы от шейных и грудных спинномозговых узлов.

Анатомически установлено (В. М. Романович, [7] и др.), что каждый из блуждающих нервов посылает нервные веточки к легкому противоположной стороны. Данные нашего исследования подтверждают анатомические исследования о перекрестной иннервации легких. При поперееменном выключении, блуждающих нервов, в легких кошки, отмечалась дегенерация нервных волокон на стороне, противоположной операции.

Удаление звездчатых узлов вызывало перерождение в основном безмякотных нервных волокон, лежащих на мышечных элементах и идущих вдоль кровеносных сосудов.

Перерезка диафрагмальных нервов ведет к дегенерации некоторого количества мякотных и части безмякотных нервных волокон.

Опыты с перерезкой диафрагмальных нервов

Изучение гистологических препаратов показало, что через 48—72 ч после операции в стенке трахеи и бронхов отмечаются дегенерирующие мякотные нервные волокна, проходящие в составе нервных пучков. Большинство нервных волокон как и перицеллюлярный аппарат на нервных клетках, оставался интактным. Измененные нервные волокна были четкообразно утолщены, а в отдельных случаях фрагментированы.

Полученные результаты показывают, что в стенке трахеи и бронхов имеется развитый нервный аппарат. Последний представлен сплетениями из мякотных и безмякотных нервных волокон, нервными ганглиями и различного рода рецепторами. У ваготомированных животных наблюдалось массовое перерождение мякотных нервных волокон и компактных рецепторов. У этих же животных отмечается значительное число дегенерирующих нервных волокон в надхрящнице трахеи и бронхов. Однако перерезка блуждающих нервов никогда не вела к перерождению всех мякотных нервных волокон. Это следует объяснить тем фактом, что в иннервации принимают участие, по данным В. Ф. Лашкова [4], В. В. Куприянова [5], Ю. К. Елецкого [2]. спинальные проводники, идущие через симпатические узлы от шейных и грудных спинномозговых узлов.

Анатомически установлено (В. М. Романович, [7] и др.), что каждый из блуждающих нервов посылает нервные веточки к легкому противоположной стороны. Данные нашего исследования подтверждают анатомические исследования о перекрестной иннервации легких. При поперееменном выключении, блуждающих нервов, в легких кошки, отмечалась дегенерация нервных волокон на стороне, противоположной операции.

Удаление звездчатых узлов вызывало перерождение в основном безмякотных нервных волокон, лежащих на мышечных элементах и идущих вдоль кровеносных сосудов.

Перерезка диафрагмальных нервов ведет к дегенерации некоторого количества мякотных и части безмякотных нервных волокон.

Выводы

1. В стенке трахеи и бронхов у кошки имеется развитый нервный аппарат, богатый чувствительными нервными волокнами и их концевыми ветвлениями.

2. Перерезка блуждающих нервов влечет за собой перерождение в основном чувствительных нервных волокон и их концевых аппаратов. Афферентная иннервация хрящевых пластинок осуществляется за счет блуждающего нерва.

3. Эфферентная иннервация осуществляется за счет периферических отростков нейронов звездчатых, а также отростками нейронов интрамуральных ганглиев.

4. Бронхи получают нервные волокна от диафрагмальных нервов, являющихся одним из источников иннервации легких.

5. Все нервы, принимающие участие в иннервации, посыпают нервные ветви как в одноименную, так и в противоположную сторону органа.

ЛИТЕРАТУРА

- Годинов В. М. К иннервации легких. Арх. анат. гистол. и эмбриол., 24, 254, 1940.
- Елецкий Ю. К. Об иннервационных отношениях в трахее. Арх. анат. гист. и эмбриол. вып. 9, т. 39, 1960.
- Забусов Г. И. Опыт экспериментально-морфологического анализа иннервации легких млекопитающих. Труды Казан. гос. мед. ин-та, вып. II, 1945.
- Лашков В. Ф. Афферентная цереброспинальная иннервация легких. Арх. анат., гистол. и эмбриол., вып. 5, 1952, 31—42.
- Иннервация слизистой оболочки трахеи; чувствительная иннервация легких. Сб. «Строение и реактивные свойства афферентных систем внутренних органов». Медгиз, 1960.
- Куприянов В. В. Нервный аппарат сосудов малого круга кровообращения. Медгиз. Л., 1959.
- Плошко А. К. О первых окончаниях в гортани и дыхательном горле млекопитающих. Казань, 1896.
- Романович В. М. Топографо-анатомическое исследование легочного отдела X нерва и бронхиальных сплетений, оперативные доступы к ним. Нов. хир. арх., т. 24, кн. 3, 1931, 358—364.
- Якубович Н. М. О периферических окончаниях нервов. Моск. мед. газ., 26, 1860, 208—211.
- Eifl A. G. Afferent and parasympathetic innervation of lungs and trachea of dog. Am. Anat., vol. 42, № 1, 1943.

АМИ им. Нариманова

Поступило 19. I 1968

Р. А. Эскеров

Пишиклэрдэ нэфэс борусу вэ бронхларын иннервасијасы

ХУЛАСЭ

Иннервасија мэнбэлэрини өјрэимэк, нэфэс борусу вэ бронхлары иннервасија едэн синирлэрин мүхтэлиф формаларыны айлынлашдырмаг мэгсэдилэ пишиклэр үзэриндэ тэчрүбэлэр апарылмышдыр. Тэдгиг единэлчэк материал Билшовски-Грос вэ Компос үсүүлүлэв илэ рэнклэнмишиди. Азан вэ диафрагмал синирлэрин кэсилмэсн, елэчэ дэ нејваларда улдузабэнзэр дүүнлэрийн тэмизлэнмэсн көстэрдн ки, пишиклэрдэ нэфэс борусу вэ бронхларын диварларында мүхтэлиф формалы инкишаф етмиш синир апараты вардыр. Азан синирлэрин кэсилмэсн үниси учларын эксэринин декенерасијасына сэбэб олур, бу да ахырынчыны нэфэс борусу вэ бронхларын гыгырдаг сегментлэриндэ декенерасијасы кими олур. Синир апаратынын декенерасијасы диафрагмал синирлэринин кэсилмэсн идэн сонра да мүшанидэ едилшидир. Ефферент иннервасија улдузабэнзэр дүүнлэрийн нејронлары, елэчэ дэ интрамурал ганглионларын нејрон чыхынтылары несабына баш верир. Нэфэс борусу вэ бронхларын иннервасијасында иштирак едэн синирлэр һэм өз тэрэфинэ, һэм дэ органын экс тэрэфинэ дэ өз шахэлэрии көндэрир.

ИСТОРИЯ

Р. А. ГУСЕЙНОВ

БАР ЭБРЕЙ И АЗЕРБАЙДЖАН

(Из истории сирийско-кавказских связей)

(Представлено академиком АН Азербайджанской ССР А. А. Ализаде)

Для истории сирийско-азербайджанских связей, имеющих много-
вековую и перманентную традицию, немалый интерес представляет
пребывание в Азербайджане одного из крупных ученых-энциклопедис-
тов XIII в. Бар Эбрея—классика сирийской литературы¹.

Абу-л-Фарадж Григорий Иоанн Бар Эбрей родился в 1226 г. в
Мелитене. Он по тому времени получил блестящее разностороннее
образование; в круг его занятий входили риторика, философия, меди-
цина и неизбежное богословие; знал, помимо родного сирийского,
ряд ближневосточных языков, в том числе арабский, персидский, тюрк-
ский; двадцать лет был посвящен в епископы, а в 1264 г.—в яко-
витские мафрианы Востока. С этого времени Бар Эбрей оказался
в гуще событий эпохи, много разъезжал по странам Ближнего Востока.
Начиная с 60-х годов XIII в., он почти постоянно находился в Азер-
байджане, главным образом в Мараге, где провел наиболее плодот-
ворный период своей жизни.

Марага в этот период являлась одним из привилегированных горо-
дов. Основатель династии Ильханов—Хулагу-хан, овладев обширной
территорией от Аму-Дары до Средиземного моря и от Дербента до
Персидского залива, обосновался в Азербайджане, сделав своей сто-
лицей Марагу.² При Ильханах определенное развитие получили неко-
торые отрасли науки. Они принимали на службу математиков (в финан-
совое ведомство и на строительные работы), медиков (в качестве
придворных врачей),³ астрономов (как придворных астрологов), исто-

¹ Относительно Бар Эбрея см.: В Райт. Краткий очерк истории сирийской ли-
тературы. Пер. с англ., с дополнениями и под ред. П. К. Коковцова. СПб., 1902, стр.
190—204; A. Baumstark. Geschichte der Syrischen Literatur. Bonn, 1922. S. 312—320;
J.-B. Chabot. Littérature Syriaque. Paris, 1935, p. 131—137; R. Duval. La Littéra-
ture Syriaque. Paris, 1907, p. 408—410; I. Ortiz de Urbina. Patrologia Syriae.
Romae, 1958, p. 207—209.

² А. А. Ализаде. Социально-экономическая и политическая история Азер-
байджана XIII—XIV вв. Баку, 1956, стр. 263—265.

³ Бар Эбрей, будучи известен как хороший медик, служил около года придворным
врачом у Хулагу-хана.

риографов (для восхваления царствующего дома).⁴ В 1259 г., не без содействия Хулагу-хана, в Мараге была построена астрономическая обсерватория, возведением которой руководил Насир ад-дин ат-Туси — государственный деятель и крупный ученый, автор многочисленных сочинений в области астрономии и дидактики, математики и поэзии, физики и историографии, философии, финансов и богословия.⁵ Под его началом обсерватория вскоре приобрела широкую известность на Востоке и Западе и стала притягательным центром для ученых многих стран.⁶ В ее стенах трудились азербайджанцы и арабы, монголы и сирийцы, персы и китайцы, испанцы и т. д. До нашего времени дошли имена Махмуда Кутб ад-дина аш-Ширази, Бар Эбрея, Фахр ад-дина ал-Ахлати, Мухи ад-дина (из Испании), Фахр ад-дина ал-Марагаи, Фао Мунчи (из Китая), Исы Монгола, Джамал ад-дина ал-Бухари, Наджи ад-дина Дабирани ал-Казвини.⁷

Будучи близко знаком с Насир ад-дином ат-Туси, Бар Эбрай дает высокую оценку его знаниям и умению: „Насир (ад-дин ат-Туси был)… философ, муж известный, знающий и превосходный во всех областях науки, ненасытный в математических учениях. Он создал инструменты для наблюдений, большие циркули из меди, которые необычно велики (в отличие от подобных инструментов) Птолемея. В Мараге, городе Азербайджана, около него находились многие ученые из различных стран…; он получал жалование для преподавателей и учеников, что имелись у него.“⁸

В Марагинской обсерватории Бар Эбрай составил астрономический календарь и таблицы (зидж) для начинающих, принимал участие в создании инструментария. Наиболее крупной его работой в области астрономии и космографии является обширный трактат „Восхождение ума“, в котором суммарно изложен „Альмагест“ Птолемея с дополнениями и пояснительными рисунками⁹. В школе при обсерватории он читал лекции о Эвклиде и Птолемее.

С Марагой же связан важный труд Бар Эбрея в области историографии. „Всеобщая история“, являющаяся одним из основных источников на сирийском языке по истории Кавказа, Ирана, Ирака, Сирии, Малой Азии и других стран в X—XIII вв., составлена им в этом городе. Она помогает в решении ряда вопросов истории Кавказа, в частности Азербайджана, социально-экономического, этногенетического и политического характера; в ней освещены народные движения, сирийско-кавказские связи, распространение хри-

⁴ Н. В. Пигулевская, А. Ю. Якубовский, И. П. Петрушевский, Л. В. Строева, Л. М. Беленицкий. История Ирана с древнейших времен до конца 18 в. Л., 1958, стр. 242.

⁵ Рашид ад-дин. Сборник летописей, т. Ш. Пер. с перс. А. К. Арендса. М.—Л. 1946, стр. 48—49. Относительно Насир ад-дина и Марагинской обсерватории см. специальное исследование І. Мэммэдбэйли. Насирэддин Туси. Бакы, 1957 (там же указана библиография о Насир ад-дине ат-Туси).

⁶ Ваг-Невраэл. Chronicon Syriacum. Ed. P. I. Bruns et G. G. Kirsh. Lipsiae, 1769, стр. 550.

⁷ Рашид ад-дин, III, 49; Г. Мамедбэйли, ук. соч., стр. 36.

Обсерватория прославилась как благодаря трудам Насир ад-дина ат-Туси (напр., составленными им знаменитыми „Зиджи-ильхани“ — астрономическими таблицами), так и тем, что при ней имелись школа и обширная библиотека; она обладала совершенным инструментарием для точных и точных наблюдений. Астрономическая школа Азербайджана XIII в. оказала большое влияние на развитие точных наук на Востоке.

⁸ Бар Эбрай. Светская история, 550; см. также Рашид ад-дин, III, 48—49.

⁹ Le Livre de l'Ascension de l'esprit sur la forme du ciel et de la terre. Course d'astronomie redigé en 1279 par Grégoire Aboulfarag dit Bar-Hebraeus. Publ. et trad. par F. Nau. Paris, 1899—1900, I et II parties.

стианства и других учений, вопросы тюркизации.¹⁰ При работе над этим сочинением Бар Эбрай воспользовался богатым собранием Марагинской библиотеки. „По причине благоприятной возможности, — пишет он, — в течение долгого времени мне была доступна библиотека Мараги, города Азербайджана, включающая большое количество томов на сирийском, арабском и также персидском языках“¹¹. Уже современники высоко оценили „Всеобщую историю“ и, по просьбе мусульман Мараги, Бар Эбрай составил арабскую редакцию ее первой части („Светская история“), под названием „Сокращенная история династий“¹². Этот перевод, благодаря обширным дополнениям и изменениям, сделанным на основании мусульманских источников, является самостоятельным историографическим сочинением.

Сколько большое значение имело творчество Бар Эбрея для своего времени можно заключить хотя бы из того факта, что еще при жизни некоторых его сочинений были переведены с сирийского языка на арабский, бывший языком тогдашней большой науки, младшим его современником Даниилом Бар Хаттабом.¹³

К концу жизни Бар Эбрай завершил в Мараге свое последнее крупное произведение на сирийском языке — „Книгу занимательных историй“, в которой собрал поучительные и юмористические рассказы, афоризмы, басни, поговорки, частью имеющие ярко выраженную социальную направленность.¹⁴ Для сборника использован фольклорный материал, подобные сочинения предшествующих авторов и, несомненно, личные наблюдения составителя в период его пребывания в Азербайджане. Поэтому можно сказать, что в этой книге зафиксирована до известной степени народная мудрость, отражены нравы и обычаи азербайджанского народа.¹⁵

С Азербайджаном же связана деятельность Бар Эбрея как крупного клирика. В свое первое посещение Мараги он был встречен горожанами с большим почетом, что явилось выражением признательности яковитскому мафриану, который защищал перед монгольскими ханами интересы местных христиан. Бар Эбрай был принят при дворе Хулагу-хана, Абага-хана и Ахмеда Токудар-хана. Последний, пытаясь

¹⁰ Укажем, например, в связи с историей Азербайджана, что „Всеобщая история“ сообщает об антифеодальном движении под руководством Бабека, о восстании в Тебризе при Кейхату-хане из-за введения бумажных денег „шоа“, о проникновении тюркоязычных масс на территорию Азербайджана, о проповеди христианства, осуществлявшейся сирийцами, относительно завоеваний и господства арабов, тюрок-сельджуков и монголов.

Некоторый материал „Сборника летописей“ автора XIV в. Рашид ад-дина созвучен сообщениям Бар Эбрея.

Во многих сочинениях сирийцев сохранились ценные материалы о Кавказе. См., Н. В. Пигулевская: „Византия и Иран на рубеже VI и VII вв.“ М.—Л., 1946; „Города Ирана в раннем средневековье.“ М.—Л., 1956; „Месопотамия на рубеже V—VI вв.“ М.—Л., 1940; „Сирийские источники по истории народов СССР“, М.—Л., 1941; „Сирийский источник VI в. о народах Кавказа“. „Вестник древней истории“, 1939, № 1 (6); и многие другие работы этого автора, а также: Р. А. Гусейнов: „Роль и значение сирийских источников для изучения истории Кавказа..“ ДАН Азерб. ССР, 1962, т. XVIII № 7; „Сирийские источники об Азербайджане.“ Баку, 1960.

¹¹ Бар Эбрай. Светская история, 2.

¹² Kitab multasar ad-duval. Ed. A. Salihani. Beyrouth, 1890.

¹³ В. Райт. Ук. соч., стр. 193.

¹⁴ The Laugable Stories collected by Mar Gregory John Wag-Hebraeus. Ed. and transl. by E. A. W. Budge. London, 1897; Абуль-Фарадж. Книга занимательных историй. Пер. с сирийского А. Белова и Л. Вильсекера. М., 1957.

¹⁵ О популярности этого сборника в Азербайджане вплоть до настоящего времени говорит недавний его выход в свет на азербайджанском языке: Эбул-Фэрзач. Мараглы энвалилтар китабы. Русчадан тәрчумә. Бакы, 1961.

Отметим, что некоторый материал сборника созвучен рассказам, связанным в устной азербайджанской народной традиции с именем популярного острослова моллы Насреддина.

Р. Э. Һүсейнов

Әбүл-Фәрәч вә Азәрбајҹан

(Сурија вә Гафгаз әлагәләри тарихиндән)

ХУЛАСӘ

Сурија-Азәрбајҹан әлагәләри чохәсрлик ән'әнәје маликдир. Бу әлагәләрин тарихи үчүн орта әсрләrin көркәмли алым-енциклопедисти XIII әсрдә Азәрбајҹанда йашамыш Әбүл-Фәрәч Григоријус Ибн-әл-Ибри әл-Мәлатинин (1226—1286) hәјат вә фәалијәти мүәјҗән мараг шүнаслыг Азәрбајҹанла сых әлагәдардыр. О, Марагада астрономик тәгвим вә чәдвәл, Птолемејин „Әл-Мачист“инә даир трактат, Сурија дилиндә Гафгаз вә о чүмләдән Азәрбајҹана иид олан әсас мәнбәләрдән бирини, „Үмумдуң тарихи“ни тәртиб етмишdir.

сблизиться с духовенством, чтобы укрепить свое положение,¹⁶ принял ислам¹⁷ и в то же время старался заручиться поддержкой христианского клира своего государства. С этой целью Токудар-хан издал специальный указ „относительно церквей Азербайджана, Месопотамии и Ассирии“.¹⁸ Он проявил о нас заботу,—сообщает Бар Эбреи,—о каждом и о всех народах, особенно о верующих из христиан; составил для них царственные грамоты об освобождении от налогов и податей всех церквей и монастырей, священников и монахов.¹⁹

В научной деятельности Бар Эбрея две стороны неразрывно связаны с Азербайджаном: астрономия и историография; ибо, как астроном, он не мог достичь больших успехов без занятий в Марагинской обсерватории, а как историограф—не воспользоваться ее библиотекой. Прекрасная лингвистическая подготовка, в сочетании с блестящим образованием, открыла ему доступ к культурной сокровищнице Ближнего Востока.²⁰ В этом немалую роль сыграла научная среда Мараги, где, по собственным словам Бар Эбрея, он имел „благоприятную возможность“ для научных занятий.²¹ Здесь полностью расцвели разносторонние дарования талантливого сына сирийского народа, отсюда распространилась его слава, а он своими трудами прославил этот город.

Скончался Бар Эбреи в Мараге 30 июля 1286 г.²² Несомненно, такая яркая личность, какой являлся Бар Эбреи, восприняв многое во время своего пребывания в Мараге, оказал определенное влияние на развитие науки и культуры Азербайджана XIII в.

Такова одна из наиболее ярких страниц в истории сирийско-азербайджанских связей, которые взаимно обогащали эти страны и благотворно влияли на их развитие, внося достойный вклад в общую сокровищницу культуры народов средневекового Востока.

Институт истории

Поступило 14. XI 1962

¹⁶ А. А. Али-заде, ук. соч., стр. 274—275.

¹⁷ Рашид ад-дин, III. 100; А. А. Али-заде, ук. соч. 275.

¹⁸ Gregorii Bar-Nevgeli. *Chronicon Ecclesiasticum*. Ed. I. B. Abbeloos et T. J. Lamy. Parisiis—Lovanii, 1874, t. II, 453—455.

¹⁹ Бар Эбреи. Церковная история, II, 567.

²⁰ Бар Эбреи предстает перед изором исследователя в равной степени как астроном и историограф, математик и поэт, грамматик и физик, медик и прозаик, философ и естествоиспытатель, переводчик и комментатор, богослов. Его перу принадлежит огромное количество сочинений, в которых подведены итоги развития ближневосточного средневекового знания. (Относительно многогранной научной и литературной деятельности Бар Эбрея и подробную библиографию его сочинений см. в названных исследованиях А. Баумштарка, И. Ортиц де Урбины и В. Райта.)

²¹ Брат Бар Эбрея—Бар Саума ас-Сафи, наследовавший ему в должности мафриана и продолживший „Всеобщую историю“, также провел часть своей жизни в Азербайджане. Он сообщает о себе, например, что ему приходилось искать убежища в Мараге и Тебризе от преследований своих врагов. (Бар-Эбреи. Церковная история, I, 783; добавление Бар Саумы ас-Сафи).

²² Популярность ученого сирийца была столь велика, что, по словам летописца, „все марагинцы“ проводили его в последний путь (Бар-Эбреи. Церковная история, I, 473—475; добавление Бар Саумы ас-Сафи).

АРХЕОЛОГИЯ

Н. П. КӘСӘМӘНЛИ, И. А. БАБАЕВ

**ӘЛИ БАЈРАМЛЫ РАЈОНУНДА АРХЕОЛОЖИ
ТАПЫНТЫЛАР**

(Азәрбајҹан ССР ЕА академики Ә. Ә. Әлизадә тәгдис иетмишди)

1959-чу илдә Әли Бајрамлы рајонунда Истилик Електрик Стансијасы тикинтиси саһәсинде торпаг ишләри заманы бир сыра мадди-мәденијјәт галыгларынын тапылмасы һаггында Азәрбајҹан, ССР ЕА Тарих Институтуна хәбәр верилмишdir. Бунула әлагәдар олараг һәмин саһәни тәдгиг етмәк, тапылмыш материаллары топламаг мәгсәди илә Азәрбајҹан ССР ЕА Тарих Институту елми әмәкдашларыны Әли Бајрамлы рајонуна е'зам етмишdir.

Торпаг ишләри заманы тапылмыш шејләрдән јалныз 17 әдәд кил габ топламаг мүмкүн олду¹. Бундан башга, тикинтидә ишләјән шәхсләрлә сөһбәт заманы бә'зи мәсәләләр һаггында мә'лумат алышы.

Габлар тапылан саһә рајон мәркәзи илә һачыгәһрәманның кәндиси, Күр чајынын сол саһилинде, чајдан 150—200 м мәсафәдә јерләшиш.

Екскаваторчулардан Д. Ткаченко вә П. Воронинин вердикләри мә'лумата әсасән кил габлар тикинти саһәсинин мүхтәлиф јерләриндән иисан сүмүкләри, метал предметләр вә бәзәк шејләри илә бирликтә 2,7—3 м дәрнәлијиндән чыхмышдыр. Габлар форма, рәнк вә назырлана техникасына көрә бир-бириндән фәргләнир.

Бу габлар формаларына көрә тајгулл, бир вә икигулагчыглы, бә'зи һалда исә тамамилә гулпсуз күпә шәкилләдидir. Бунларын ичәрисиндә тајгулл бардаглар даһа чохдур. Бунлар түнд боз рәнкли олуб, шар-шәкилли көвдәјә вә дүз отурачаға маликдир.

Гуллар ашағыдан габларын чијиниә, јухарыдан исә габын ағзынын гырағына бирләшдирилмишdir (I табло, 2-чи шәкил; III табло 1—5-чи шәкилләр).

Бу габлардан јалиныз биринин гулпу ағзынын гырағына дејил, ондан азачыг ашағыда бирләшдирилмишdir (III табло, 3-чү шәкил). Бу габларын һамысынын ағзынын гырағы бајыра гатлаништыр. Богазлары әсасән алчагдым. Бә'зиләрниң боғазы батыг хәтләрлә бәзәдилмишdir (I табло, 2-чи шәкил; III табло, 1-чи шәкил). Габларын һамысы дулус чархында назырлаништыр тәрәфдән шүjrәләнишdir.

¹ Кил габларын бир һиссәсини тикинтини комсомол тәşкиләтиниң катibi Р. Зеиналов топламышдыр.

Бүнларын ичәрисинде бир габ өз форма вә рәнкни көрә башга-
ларындан фәргләнир. Бу габ гара рәнкли олуб, үзәри чилаламыш
вә сох зәриф дүэлдилмишdir (III табло, 4-чү шәкил).

Тәкгулпulu бардаглар формаларында көрә бир-бириндән бogaзыны
еили вә дар олмасы вә һabelә бојларына көрә фәргләнир. Онларын
усту батыг хәтләр лә нөгтәләрлә бәзәдилмишdir. Бу габлардан бири
нин (I табло, 4-чү шәкил) көвдәси үзәринде үч јердә гоша шагули
хәтләр вардыр.

Тәкгулпulu боз рәнкли вә үзәри шүjрәли бардаглар Азәрбајчанда
туич дөврүүни ахыры вә дәмир дөврүүни әvvәllәri үчүн характерик
саýлан габ нөвләриндәнdir.

Белә габлар Хочалы гәбиристанлыгындан², Муган дүэүндәки Узун-
тәпәдән³, Варданлыдан⁴, Газах рајонундан⁵ вә башга јерләрдә тәдгиг
едилмиш абидаләрдән тапылмышдыр. Бүнлар тәдгигатчылар тәрәфин-
дән ер. әvvәl VIII—VI әсрләrә аид едилир.

Топламыш габлар ичәрисинде 4 әдәд гулагчыглы габ вардыр (II
табло, 1—3—5-чи шәкилләr). Бүнлар түнд боз рәнкли, үзәри шүjрә-
ли, еили көвдәli, гыса вә еили bogazly, ағзынын гыраглary јана
әjilәn, көвдәsi отурачага дөгрү даралан вә дүз отурачагы габлар-
дыr. Bә'zi габларын гулагчыларында дешик јухарыдан ашағыja (II
табло, 1—5-чи шәкилләr), bә'zisini иса јандан ачылмышдыr (II табло,
3—4-чү шәкилләr). Eñtimal ki, bu дешикләr габы исмаг учүн ачыл-
мышдыr. Габларын һамысынын чијин һиссәси 2 вә ja 3 батыг хәтлә бә-
зәдилмишdir. Өз формасына көрә бир габ башгаларындан фәрглә-
нир. Onun ири, еили көвдәsi вә бир гулагчыгы вардыr. Габда бир
гулагчыгы иә үчүн дүэлдижин сөjәmәk чәтиидir. Чүники кичик
бир дешижи олан бу гулагчыг ону асаркәи ағырлыгына дөзә билмәz.
Габын чијине үч дүз вә бир далгалы батыг хәтт чәкилмишdir (II
табло, 3-чү шәкил).

Белә габлар Азәрбајчанда Варданлыдан⁶ вә Минкәчевирдәn⁷ тапыл-
мышдыr. Бүнлар да ер. әvvәl VIII—III әсрләrә аид едилиr.

Әli Бајрамлыдан тапылан габларын ичәрисинде бир әдәд түнд боз
рәнкли, шаршәкилли көвдәsi олан, гыса вә еили bogazly kупә вар-
дыr. Onun ағзынын гырагы јана әjilmin вә чијин ики паралел ба-
тыг хәтлә әhатә едилишишdir. Габ дулус чархында дүэлдилмиш вә
үзәри шүjрәләнишишdir (II табло, 2-чи шәкиl).

Јухарыда тәсвирләри верилмиш габлары аналоги материаллара
көрә ер. әvvәl VIII—III әсрләrә аид етмәk мүмкүндүr.

Топламыш кил габлардан ики әдәdi һәм формасына вә һәm дә
һазырлама техникасына көрә башгаларындан фәргләниr. Бүнлар гыр-
мызы рәнкли олуб, әл илә кобуд дүэлдилмишdir.

1-чи габ парч формалыдыr. Тајгулпulu олуб, отурачагдан баш-
лаjыб ағыза дөгрү кепишләni көвдәsi вардыr (III табло; 7-чи шә-
киl).

² K. X. Күшиарев. Археологические работы 1954 г. в сел. Ходжалы, ТР.
Азәрбајҹанской (Орнгалийской) археологической экспедиции, т. 1, МИА 67, М.—Л.
1959, сəh. 385.

³ И. М. Джәфарзаде. Элементы археологической культуры Древней Мугани.
Азәрбајҹан ССР ЕА Хәбәрләri, № 3, 1946, сəh. 50.

⁴ С. М. Газыев. Варданлы археологи газынтылары (1958-чи ил несабаты),
әлјазмасы, сəh. 28.

⁵ Ч. Э. Хәлилов. Газах рајонун Газахбәjli кәndi јахыныгындағы гәби-
ристанлыг һағында, Азәрбајҹан ССР ЕА Хәбәрләri, 1958, № 2.

⁶ С. М. Газыев. Варданлы археологи газынтыларынын несабаты (1956-чи
ил), Азәрбајҹан ССР ЕА Хәбәрләri, № 4, 1960.

⁷ Азәрбајҹан Тарихи Музейи, инв. № 338, 871.

2-чи габ шар формалы вә дүз отурачаглыдыr. Көвдәсииә үч јер-
дән дүjмәчик յапышдырылышдыr (III табло, 6-чи шәкиl). Һәр ики
вердиji мә'lумата әсасән саhәни һаңсы јериидән вә иә дәринликдән
тапылдыгыны мүәjжәнләширмәk мүмкүн олмады. Аңчаг алына мә'-
лумата көрә габлар гәбиәрдән тапылмышдыr. Бела габлар Минкәче-
вир газынтыларындан күлли мигдарда әлдә едилишишdir⁸.

Бу габлар һазырлама техникасына көрә ерамызыны III—VI әср
габларына сох охшајыр. Она көрә дә бу габлары илк орта әсрләrә
айд етмәk һәгигәтә даha уjgun олар.

Үмумијәтлә, јухарыдаqылардан белә бир иетичәjә кәлмәk олар
ки, Әli Бајрамлыда бу габлар тапылан саhә ерамыздан әvvәl 1-чи
миниlliјин VIII—III вә ерамызыны III—VI әсрләrinә аид гәбиристан-
лыг олмушdur. Бу саhәdә археологи тәдгигат ишләri апарыларса
абидәни әhатә етиди дөврә аид вә бир сыра тарихи мәсәләләri аj-
дышлашдыra биләn материал әлдә етмәk мүмкүндүr.

Тарих Институту

Алынышдыr 7. IV 1962

Г. П. Кесаманлы, И. А. Бабаев

Археологические находки из Али-Байрамлинского района

РЕЗЮМЕ

Летом 1959 г. в Институт истории АН Азербайджанской ССР пост-
ступили сведения о том, что во время земляных работ на территории
строительства Али-Байрамлинской ГРЭС были обнаружены глиняные
сосуды.

Местность, где были обнаружены сосуды, расположена на левом
берегу р. Куры на расстоянии 150—200 м, между сел. Гиджигахра-
малы и гор. Али-Байрамлы.

По словам работников строительства сосуды были найдены вмес-
те с человеческими костями и другими вещами. На месте было соб-
рано и доставлено в Баку 17 глиняных сосудов серого, черного и
красного обжига.

Большинство сосудов изготовлено на гончарном круге. Они име-
ют шарообразный корпус, плоское дно, широкое или узкое горло,
венчики немногого отогнуты наружу (см. табл. I, рис. 1—4, табл. II,
рис. 1—5, табл. III, рис. 1—5).

Сосуды орнаментированы врезными линиями, точечными углубле-
ниями и рельефными узорами. Поверхность их хорошо заглажена,
большинство из них имеют одну ручку, а некоторые вместо ручки
1—2 ушка с маленьким отверстием.

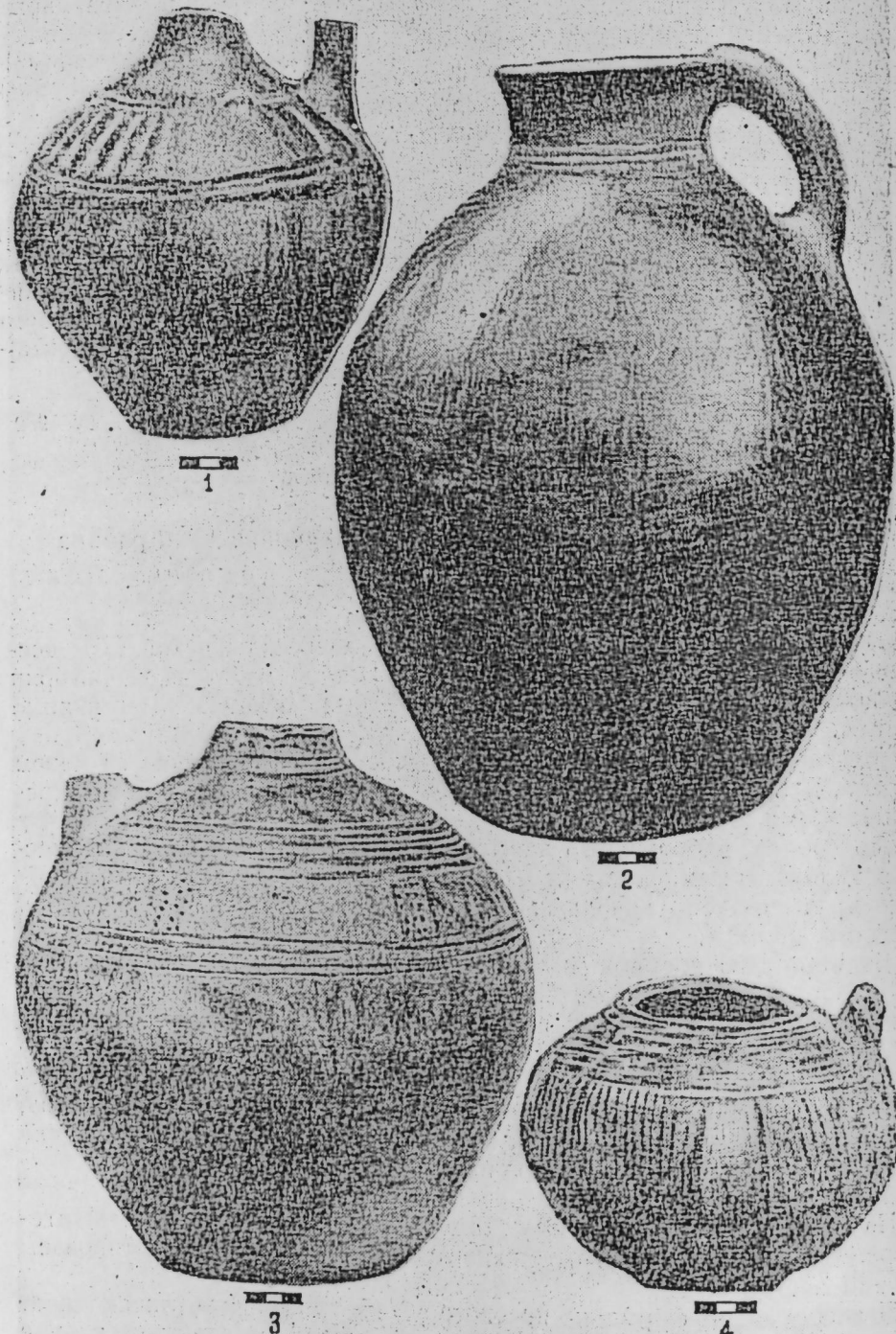
Только один сосуд совершенно не имеет ручки.

На основании аналогичных материалов, обнаруженных в Минге-
чауре, Варданлы, Ходжалы, данные сосуды могут быть датированы
VIII—III вв. до н. э.

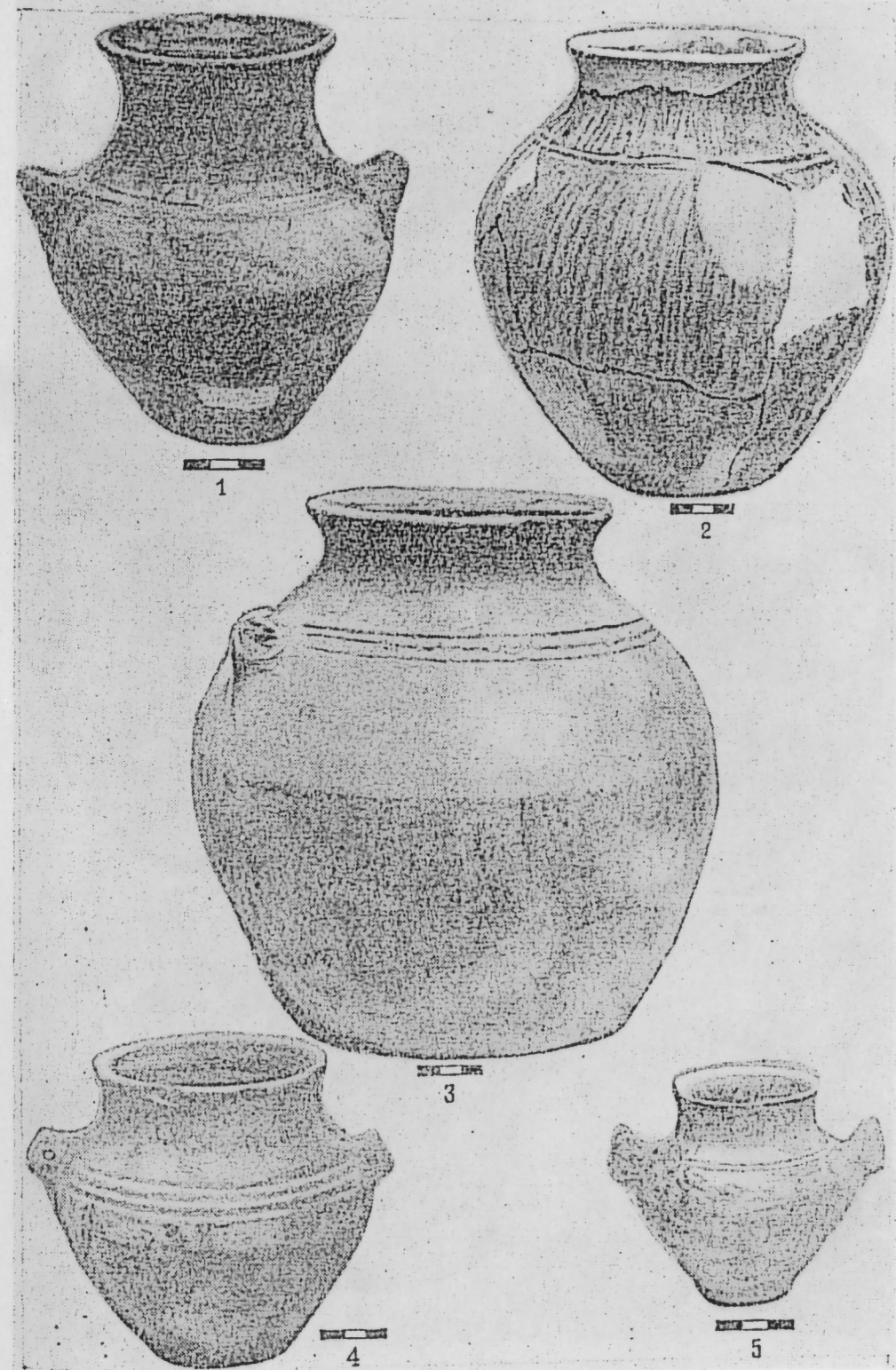
Два сосуда по форме и по способу изготовления отличаются от
предыдущих. Это—кувшин красного обжига, изготовленные от руки
(табл. III, рис. 6—7) По форме и характеру изготовления они могут
быть отнесены примерно к III—VI вв. н. э.

На основании изучения местности и обнаруженных материалов
предполагаем, что здесь был расположен могильник с разновремен-
ными погребениями, относящимися к VIII—III вв. до н. э. и III—VI
в. н. э.

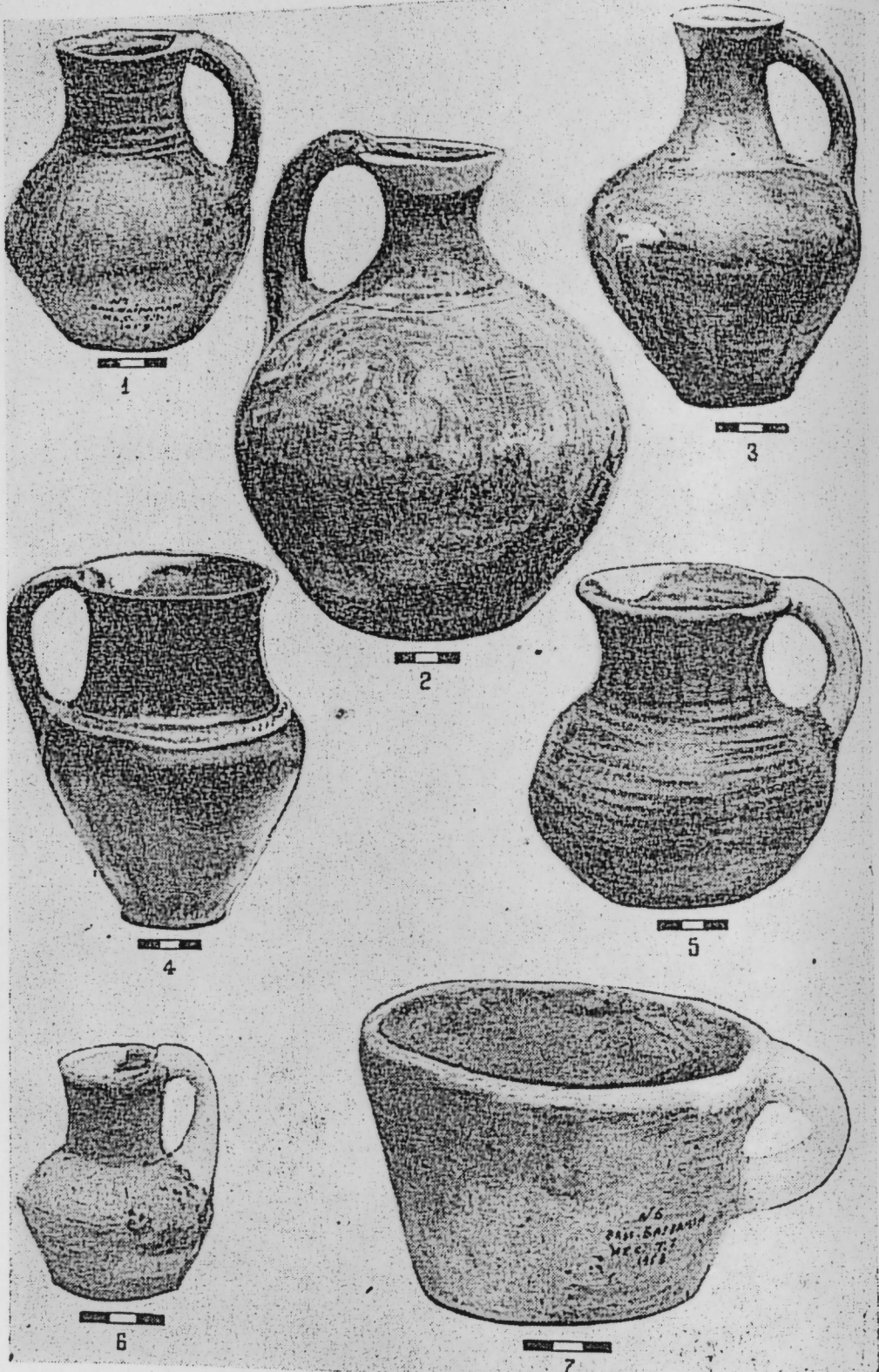
⁸ Азәрбајҹан Тарихи Музейи фонд, инв. № 970, 979 вә с.



I табло.



II табло.



III табло.

МУНДАРЫЧАТ

Ријазијјат

І. Э. Элијев. Бир күтләви хидмәт системиниң моделләшdirилмәсі	3
Т. А. Хәлилов. Бир изләјичи дәжишән параметрлар һидроскопик системиниң дајаныглығы несабланмасы	7

Газыма

С. М. Гулијев вә б. Дәринлијин газыманың механикү сур'етине тә'сирі нағында	13
---	----

Нефт вә газ јатагларының ишләнилмәси

М. Т. Абасов, О. Э. Мәммәдов. Газлы нефт һәрәкәтинин һидродинамик һиссабатына даир	19
--	----

Физики кимја

К. Э. Шәрифов. Ярымкечирчиликтерин гадаган олунмуш золагының ени илә онларының атомлашма енержисинин асылылығы	23
--	----

Кимја

И. Б. Шаhtахтийски вә б. Арсенат методу илә галлиумун јодометрик тә'јини	27
--	----

Нефт қеолокијасы

З. Џ. Қравчински. Абшерон архипелагы вә ҹәләкән структурлар мәһсулдар гат — гырмызы гат чөкүнтүләринин газлылығы вә газының карбонидрокен тәркибинин мүгајисесинә даир	31
--	----

Гејри-үзви кимја

А. А. Ведизаде, Т. Д. Элизадә. Никелий перјодат үсулу илә тә'јини	35
---	----

Мүһәндис қеолокијасы

Ф. С. Элијев, А. А. Һүсейнова. Ҳәзәр дәнизи Обливној адасы рајонында Хвалын күлләринин мүһәндиси — қеоложи ҳүсусијәтләре вә онларының әмәләкәлмә шәраити илә әлагәси	41
--	----

Литолокија

Ч. Ч. Мазаиров, А. Һ. Сеидов. Бөјүк Гафгазын чәнуб этәкләринин Жура килли шистләринин литологи-минераложи характеристикасы	47
--	----

Статиграфија

Р. Н. Мәммәдзадә. Қичик Гафгазын шимал-шәрг һиссәсинин (Гашгар вә Дебет чајларарасы саһә) Уст Сеноп чөкүнтүләринин стратиграфик бөлүммәсі	53
---	----

Биткиләрни систематикасы

Л. И. Прилипко, А. И. Шербаков. Абшеронда Африка мәншәли харичи битки — колвари гомфокарпус 57

Биткиләрни анатомијасы

В. Х. Тутајук, Ч. С. Абдуллаев. Даглыг Гарабаг мешә зонасында күрчү палызының жарнаг мұхтәлифијинең көрә формалары вә жарнагларын анатомик гурулушу 61

Биткичилик

М. Э. Микайлов. Түкөз бијанын чохалмасына даир 67

Бајтарлыг

М. Н. Насанов вә б. Малдарлыг тәсәррүфаты шәраитидә мәһсүлдар нејванларын дырынаг хәстәлиги заманы ишләдилән профилактика вә илк јардым һағтында 71

Тибб

Р. А. Эскәров. Пишикләрдә иәфәс борусу вә бронхларын ишнервасијасы 75

Тарих

Р. Э. Һүсәјнов. Эбүл-Фәрч вә Азәрбајҹан 81

Археология

Н. П. Қәсәмәили, И. А. Бабаев. Әли Бајрамлы рајонунда археологиж тапшылар 87

СОДЕРЖАНИЕ

Математика

Г. А. Алиев. Моделирование одной системы массового обслуживания 3
Т. А. Халилов. Расчет на устойчивость одной следящей гироскопической системы с переменными параметрами 7

Бурение

С. М. Қулиев и др. О влиянии глубины на механическую скорость проходки 13

Разработка нефтяных и газовых месторождений

М. Т. Аббасов, О. А. Мамедов. О расчетах фильтрации газированной нефти 19

Физическая химия

К. А. Шарифов. Взаимосвязь между шириной запрещенной зоны полупроводников и теплотой их атомизации. Вещества состава АВ. 23

Химия

Г. Б. Шахтахтинский и др. Арсенатный метод йодометрического определения галлия 27

Геология нефти

З. Я. Кравчинский. К сопоставлению газоносности и улеводородного состава газа продуктивной толщи — красноцвета структур ашшеронского архипелага и Челекена 31

Неорганическая химия

А. А. Вердизаде, Т. Д. Ализаде. Определение никеля периодатным методом 35

Инженерная геология

Ф. С. Алиев, А. А. Гусейнова. Инженерно-геологические особенности Хвальинских глин дна Каспийского моря в связи с условиями их формирования 41

Литология

Д. Д. Мазанов, А. Г. Сейдов. Литолого-минералогическая характеристика глинистых сланцев юры южного склона Большого Кавказа (Белаканчай и Елису) 47

Стратиграфия

Р. Н. Мамедзаде. Стратиграфическое подразделение верхнесеноновых отложений северо-восточной части Малого Кавказа (междуречье Кашкарчай и Дебетчай) 53

Систематика растений

Л. И. Прилипко, А. Н. Шербаков. Адвентивное растение Африканского происхождения на Апшероне — гомфокарпус кустарниковый 57

Анатомия растений

В. Х. Тутаюк, Г. С. Абдуллаев. Формовое разнообразие и анатомическое строение листьев грузинского дуба, произрастающего в горной Карабахской зоне 61

Растениеводство

М. А. Микаилов. Вегетативное размножение солодки голой 67

Ветеринария

М. И. Гасанов и др. Первая помощь и профилактика заболевания копыт у продуктивных животных в условиях животноводческих хозяйств 71

Медицина

Р. А. Аскеров. Иннервация трахеи и бронхов у кошки. 75

История

Р. А. Гусейнов. Бар Эбрей и Азербайджан 81

Археология

Г. П. Кесаманлы, И. А. Бабаев. Археологические находки из Али-Байрамлинского района 87



Чапа имзалаимыш 10/V 1963-чу ил. Кағыз форматы 70×108¹/16. Кағыз вәрәги 3.00.
Чап вәрәги 8,22. Нес.-нэшрийят вәрәги 6,54. ФГ 06508. Сифариш 430. Тиражы 840.
Гијмәти 40 гәп.

Азәрбајҹан ССР Елмләр Академијасы Мәтбәәси, Бакы, Фәілә проспекти, 96.

Индекс
76355

40 гэп.